

МИНИСТЕРСТВО ГЕОЛОГИИ СССР  
МИНИСТЕРСТВО ГЕОЛОГИИ РСФСР  
ЧИТИНСКОЕ ПРОИЗВОДСТВЕННОЕ ГЕОЛОГИЧЕСКОЕ ОБЪЕДИНЕНИЕ

Уч. № 032

Экз. № 147

ГЕОЛОГИЧЕСКАЯ  
КАРТА СССР

МАСШТАБА 1:200 000

СЕРИЯ ОЛЕКМО-ВИТИМСКАЯ

Лист №-50-XI

Объяснительная записка

Составители: Ю.П. Трекин, В.Г. Борисов,

А.Ф. Озерский

Редактор Е.М. Фалькин

Утверждено Научно-редакционным советом ВСЕГЕИ

19 ноября 1970 г., протокол № 26

## СОДЕРЖАНИЕ

Стр.

Введение . . . . .	5
Стратиграфия . . . . .	9
Интузивные образования . . . . .	23
Тектоника . . . . .	56
Геоморфология . . . . .	69
Полезные ископаемые . . . . .	74
Погодные волны . . . . .	94
Литература . . . . .	96
Приложения . . . . .	100

## ВВЕДЕНИЕ

Территория листа № 50-ХI расположена в пределах Каларского, Тунгокоченского и Тунтиро-Олекминского районов Читинской области и ограничена координатами  $54^{\circ}40'$  –  $55^{\circ}20'$ , с.ш. и  $118^{\circ}00'$  –  $119^{\circ}00'$ , в.д.

Рельеф района среднегорный. В северо-западной части его проходит новый хребет Яблоновый, центральную часть занимает Витимское плоскогорье и юго-восточную – горные сооружения Олекминского Становика. Абсолютные высоты колеблются в пределах 693–1523 м. Относительные превышения обычно составляют 200–400 м, реке достигают 600–700 м. Яблоновый хребет служит водоразделом бассейнов рек Олекма и Калакан. Наиболее крупным из остальных хребтов является Моклинский. Это самый северный хребет системы Олекминского Становика. Он ориентирован в северо-восточном направлении. Вдоль северо-западных подножий его протягивается Моклинско-Джекачинская впадина, а вдоль юго-восточных – Олекминско-Моклаканская, представляющие собой межгорные понижения. В юго-восточной части площади расположена Моклаканская впадина, к которой приурочена долина р.Верх.Мокла.

Речная сеть хорошо развита. Найболее крупные реки – Верх.Мокла и Средняя Мокла – принадлежат бассейну р.Олекма. Основные притоками р.Верх.Мокла являются Найденка, Калдакчи, Аулаката, а р.Средняя Мокла – Окта, Джеловун, Джекачи, Кавытакан. В северо-западной части района протекают притоки р.Калакан: Тундак, Олонно, Амууннакчи. Все реки непригодны для передвижения на лодках из-за малых глубин и каменистых русел.

Климат резко континентальный с суровой продолжительной зимой, коротким умеренно теплым летом, резкими колебаниями суточных и годовых температур. Среднегодовая температура воздуха –

минус 7,7°. Годовое количество осадков – 380–440 мм. Широко развита многолетняя мерзлота.

Растительность района определяется принадлежностью его к зоне Восточно-Сибирской горной тайги. Основной превесной породой является даурская лиственница, реже встречается сосна. В понижениях участках рельефа широко развиты кочковатые и полулучинные мари. С высоты 1000–1100 м начинается зона предгорьско-го редколесья. Почвы района горно-таежные, мерзлотные, оползо-ленные и торфянисто-перегнойные. Животный мир представлен обычными обитателями сибирской тайги.

Единственным населенным пунктом на площасти листа является пос. Моклакан, связанный автозимником с районным центром (с. Ту-пик). Передвижение летом возможно по тропам вьючным или гусеничным транспортом.

Начало геологического изучения района связано с поисками и старательской добychей золота и относится к доперемышленному времени.

В 1928–1930 гг. в районе и на сопредельных площадях П.А.Харитоновым и А.С.Зайцевым, П.И.Прокопьевым (1929ф), К.И.Постовским (1930ф) проведены редкие маршрутные пересечения для выяснения условий золотоносности.

С 1929 по 1941 г., а также в 1949–1950 гг. трестами Союззолото и Верхнемурзото были организованы поисково-разведочные работы на россыпное золото по рекам Верх.Мокла, Средняя Мокла и некоторым их притокам (Килеско, Малых, 1954ф).

В 1939 г. Л.И.Казик (1939ф) выполняла инженерно-геологические исследования в долине р.Сред.Мокла с целью изыскания тра-саи Амуро-Байкальской железнодорожной магистрали.

В 1942 г. А.П.Брицко (Килеско, Малых, 1954ф) провел шихово-вое опробование по рекам Верх.Мокла и Сред.Мокла. В верховьях последней он рекомендовал постановку поисково-разведочных работ на золото.

В 1946 г. в юго-восточной части площасти листа проведена геологическая съемка масштаба 1:50 000 под руководством П.А.Смолского (Смолский и др., 1947ф). Составленная карта

очень схематична.

В 1950 г. та же часть площасти заснята И.И.Вишневской и А.М.Лейтесом в масштабе 1:500 000 под руководством

В 1956–1957 гг. С.П.Смеловским (Смеловский и др., 1957ф).

На территории с целью составления Государственной геологической карты листа №-50 в масштабе 1:1 000 000. При этом на описываемой площасти выявлено юлоновое рудообразование молибдена. Мате-

риалы этих работ и всех предыдущих исследований были обобщены С.П.Смеловским (1963).

В 1957–1958 гг. на площасти листа проведена аэромагнитная съемка масштаба 1:200 000 (Суслеников и др., 1958ф, 1959ф). В 1957–1959 гг. И.Г.Шеломенцев (1959ф) оценил юлоновое рудообразование молибдена как бесперспективное.

Начиная с 1959 г. северо-восточная часть Читинской области планомерно покрывается геологической съемкой масштаба 1:200 000. В этих работах принимали участие геолги Читинского геологического управления (ЧГУ), Львовского государственного университе-та и Всесоюзного аэрогеологического треста (ВАГТ): Ш.Л.Абра-мович, Е.А.Зайков, Е.Н.Каланов, В.П.Кирилюк, А.Ф.Кругузкин, Е.М.Лейман, А.М.Лисак, А.Ф.Озерский, К.Е.Рокин, И.А.Томбасов, Н.В.Сачунов, Е.М.Фалькина, К.Ф.Хад-кеевич, В.И.Щепка, В.И.Шульцнер и др. Материалы этих исследо-ваний легли в основу легенды к геологическим картам СССР мас-штаба 1:200 000 Олекмо-Витимской серии листов, в соответствии с которой составлена геологическая карта листа №-50-ХI.

В 1962–1963 гг. З.Н.Киселевой и др. (1963ф, 1964ф) прово-дилась геоморфологическая съемка масштаба 1:200 000, сопрово-давшаяся оценкой перспектив россыпной золотоносности района. В 1963 г. в верхней части бассейна р.Сред.Мокла поиски масштаба 1:50 000 выполнены под руководством В.Д.Круглова (Круглов и др., 1967ф).

В 1963 г. выполнена гравиметровая съемка масштаба 1:1 000 000 (Иванов и др., 1964ф).

В 1965 г. коллективом геологов ЧГУ (Смеловский и др., 1965ф) составлены геологическая карта северной части Читинской области масштаба 1:500 000 и объяснительная записка к ней. Изложенные в работе взгляды существенно отличаются от представле-ний других исследователей и не подтверждаются имеющимися фактами.

В 1965–1966 гг. в долине р.Верх.Мокла проводились полиско-вые работы на россыпное золото (Кошелев и др., 1967ф).

В 1966 г. Е.М.Фалькин (1966ф) завершил работу по теме "Стратиграфия покемория Олекмо-Витимской горной страны", кото-рая является наиболее полной сводкой материалов по этому вопросу.

В 1968 г. в юго-восточной части листа произведена аэромагнитная и аэроспектральная магнитометрическая съемка масштаба 1:50 000 (Сауунов и др., 1969).

При составлении геологической карты, карты полезных иско-

ляемых листа №-50-У и объяснительной записи к нему были ис-  
пользованы материалы геологосъемочных и поисковых работ Моглин-

ской партии Комплексной геологосъемочной экспедиции ЧГУ, вы-  
полненных в 1966-1969 гг. А.М.Лысаком, В.Г.Борисовым, Ю.П.Тра-

ниным, А.Ф.Озерским, Б.Г.Едаковым (Тринин и др., 1969). При  
производстве работ использовались топографические планшеты мас-

штаба 1:100 000 (1948 г.) и аэрофотоснимки масштаба 1:45 000.

С геологической картой листа №-50-У (Шулника и др., 1969) при  
настоящая карта полностью согласуется по геологическим контурам.

Однако имеются расхождения в трактовке палеозиса некоторых обра-  
зований. Закартированные в меандре Бурунда - Чандукол тела

гнейсовидных пород среднего состава в данной работе выделяются  
в качестве раннепротерозойских диоритов, образовавшихся, как и  
часть других пород, путем метасоматического преобразования  
кристаллических сланцев. Авторы соседнего листа относят их к  
признают, что эти породы почти полностью метасоматически изме-  
нены, "диоритизированы".

С геологической картой листа №-50-У (Хайдевич и др., 1967) также имеется расхождение. Некоторые выходы граниторитов и гранитов соответственно второй и третьей фаз триасового (?) аманасского интрузивного комплекса на основании полученных новых сведений на настоящей карте отнесены к образованиям ранне-палеозойского комплекса.

В пределах Колбочинского массива триасовых (?) гранитоидов выделены образования второй и третьей фаз, а на соседней площа-  
ди (лист №-50-ХI, Озерский, Тринин, 1974) выходы этого массива, ввиду их разобщенности при сходстве петрографического состава и структурных особенностей, показаны как образования второй фа-  
зы.

В составлении текста настоящей объяснительной записи при-  
нимали участие Ю.П.Тринин (главы "Полезные ископаемые", "При-  
земные воды"), В.Г.Борисов (главы "Введение", "Стратиграфия",  
"Геоморфология"), А.Ф.Озерский (глава "Тектоника"). Глава "Ист-  
орические образования" написана В.Г.Борисовым и Ю.П.Трининым.

Все аналитические исследования проведены в Центральной  
лаборатории ЧГУ. Графические работы выполнены П.П.Низовцовым.  
8

## СТРАТИГРАФИЯ

Стратифицированные образования в районе распространены не-  
значительно. Среди них выделяются архейские, нижнепротерозой-  
ские, верхнеюрские-нижнемеловые и четвертичные отложения.

АРХЕЙ (A)

К архейским образованиям отнесены полиметаморфизованные  
породы, представленные разнообразными кристаллическими сланца-  
ми, амфиболитами, гнейсами, кварцитами. Они развиты только в  
восточной и юго-восточной частях листа, где образуют  
ряд небольших выходов среди разновозрастных гранитоидов. Изве-  
стны также многочисленные ксенолиты архейских пород, которые не  
могут быть показаны в масштабе карты.

Среди архейских образований по литолого-петрографическому  
составу и особенностям разреза выделяются три свиты: иминская,  
чадорская и шургинская, стратотипы которых описаны в архее  
Могочинского антиклиниория (Зайков и др., 1965; Шульдинер, 1969).

### Иминская свита (A i)

Разрез свиты определяется грубо переслаивающимися биогрит-  
амфибол-плагиоклазовыми кристаллическими сланцами, амфиболитами,  
амфиболовыми и амфибол-биотитовыми плагиогнейсами. Эти породы  
слагают небольшие (до 4 км<sup>2</sup>) выходы среди раннепротерозойских  
гранитоидов в узкой полосе северо-западного направления, протя-  
гивающейся от верховий р.Анжуанки через долину р.Каранкита до  
верховий р.Бушуки. Кроме того, ими сложены ксенолиты в архей-  
ских гранитоидах на левобережье р.Верх.Могла выше р.Сайдочи.  
Монотонность строения иминской свиты нарушается появлением в  
нижней части разреза прослоев биотитовых плагиогнейсов мощностью  
от первых десятков метров, а в верхней части разреза - прослоев  
каппидиров и диопсидовых бластолитов мощностью от 0,3 до пер-  
вых метров. Мощность свиты, определенная графически, составляет  
не менее 1500 м.

### Чадорская свита (A c d)

В строении чадорской свиты основная роль принадлежит бло-  
китовым гнейсам, почвенное значение имеет биотит-амфиболовые

платигнейсы, амфиболиты, биотит-амфибол-платигнейзовые и биотит-платигнейзовые кристаллические сланцы, кварциты и диопсидовые бластолиты. Наиболее крупный (около 50 км<sup>2</sup>) выход этих пород расположен на правобережье р.Сред.Мокла выше устья р.Карал-кита.

Основание разреза свиты сложено пачкой амфиболовых и амфи- бол-биотитовых платигнейсов мощностью около 100 м, согласно залегающей на горючих иминской свите. Выше залегает толща био- титовых платигнейсов и гнейсов, содержащих редкие прослои ам- фиболитов, биотит-амфибол-платигнейзов и биотит-платигнейзо- вых кристаллических сланцев. Мощность прослоев не превышает первых метров. В средней части толщи отмечаются слои амфиболи- тов мощностью от 40 до 200 м. Мощность свиты в пределах этого выхода, определенная гравиметрическими построениями, не превышает 1500 м.

Породы чадорской свиты слагают также ряд небольших выходов на юге района в бассейне р.Верх.Мокла. Они представлены такими же биотитовыми гнейсами и платигнейсами с редкими прослоями амфиболитов-платигнейзов кристаллических сланцев, редко амфиболитов. Лишь в верховых рек Катлакачи и Сайбочи среди био- титовых гнейсов встречаются горизонты кварцитов совместно с диопсидовыми и лиосид-платигнейзовыми бластолитами. Они сопо- ставляются с верхней частью чадорской свиты Могочинского анти- генейса и платигнейса, застягированные в верховых р.Катлакачи. Непосредственно на них залегают кристаллические сланцы шурутин- ской свиты. Мощные толщи и пачки пород, надежно относимые в од- них случаях к самим нижним, а в других – к верхним стратиграфи- ческим уровням разреза стратотипа, дают возможность предпола- гать общую мощность чадорской свиты в данном районе более 2000 м.

#### Шурутинская свита (А У)

К шурутинской свите отнесены кварциты, кристаллические сланцы и гнейсы с высокоглиноземистым минералами, а также встречающиеся в подчиненном количестве амфиболиты, диопсидовые лейкократические гранитоиды и обнажаются в узкой (0,2-1,8 км) поло- кве. Небольшой (около 4 км<sup>2</sup>) выход этих пород расположен в вер- ховье р.Катлакачи. Условно к шурутинской свите отнесен ксенолит

площадью в первые сотни квадратных метров интенсивно гранитизи- рованных гранатсодержащих пород в верховье р.Булуучи.

Основание свиты сложено кристаллическими сланцами с высо- котемпературными минералами, содержащими единичные прослои

кварцитов и амфиболитов. Мощность пачки в верховье р.Катлакачи – 200-250 м. В междууречье р.Закдакан-1 и р.Найденка, где разрез свиты представлен наименее полно, сохранившаяся мощность верхней части разреза нижней пачки составляет 120-150 м. Вверх она сменяется мощной (700-800 м) толщей мономинеральных, реже гра- фитовых и диопсидовых кварцитов. Верхняя часть свиты обнажена в верховье ручьев Закдакан-1 и Закдакан-2 и представлена тол- щей мощностью 600-650 м, образованной высокоглиноземистыми кристаллическими сланцами и гранат-биотитовыми гнейсами с ред- кими прослоями гранатовых амфиболитов, диопсидовых бластолитов и кальцифиров. В верхах толщи появляются частые прослои кварци- тов. Характер переслаивания пород большей части этой толщи мо- жет быть проиллюстрирован (снизу):

1. Гнейсы гранат-биотитовые . . . . .	более 27 м
2. Амфиболиты гранатовые, графитсодержащие . . . . .	15 "
3. Кристаллические сланцы с высокоглиноземи- стыми минералами . . . . .	120-125 "
4. Гнейсы гранат-биотитовые . . . . .	170-180 "
5. Платигнейсы амфиболовые с прослоями грана- товых амфиболитов . . . . .	38-42 "
6. Кальцифирн. . . . .	2-3 "
7. Кварциты мономинеральные . . . . .	70-75 "
8. Диабориты. Широка выхода . . . . .	18-20 "
9. Кварциты мономинеральные . . . . .	15 "
10. Амфиболиты и диопсидовые бластолиты . . . . .	5-8 "
II. Кварциты мономинеральные . . . . .	более 30"

Мощность разреза 510-540 м.

Наиболее верхняя часть рассматриваемой свиты может быть также охарактеризована схематическим разрезом, составленным на правобережье руч.Закдакан-2 (снизу):

I. Кварциты мономинеральные и диопсидсодержа- щие . . . . .	30-35 м
2. Кристаллические сланцы с высокоглиноземисты- ми минералами . . . . .	30-35 "
3. Диабориты. Широка выхода . . . . .	40-45 "
4. Кварциты мономинеральные . . . . .	20-25 "

Мощность отложений 120-140 м.

Венчает разрез архейская пачка мощностью около 200 м амфибол-биотитовых гнейсов и плагиогнейсов с прослойками мелкозернистых сланцеватых амфиболитов. Возможно, она относится к выделенной на сопредельной территории амазарской свите (Шульцнер, 1969). На геологической карте она обозначена с шургинской свитой ввиду крайне ограниченного распространения ее. Мощность шургинской свиты из-за разобщенности выходов и отсутствия на лежких маркирующих горизонтов не может быть определена достоверно. Исходя из сопоставления отдельных известных частей разреза, с учетом 200-метровой пачки амфиболоводержащих пород, мощность свиты определяется в 2200 м. Эта мощность на 1000 м превышает мощность стратотипа шургинской свиты Могочинского антиклинария, что свидетельствует, по-видимому, с возрастанием роли кварцитов в составе свиты.

Общая мощность архейских образований превышает 5700 м. По петрографическому составу среди архейских отложений выделяются следующие группы пород: амфиболиты, кристаллические сланцы, плагиогнейсы основного состава, гнейсы, кристаллические сланцы с высокотитановыми минералами, кварциты, мраморы и доломитовые дистониты.

Амфиболиты — среднезернистые сланцеватые или массивные темные с зеленоватым оттенком породы, состоящие из амфибола (55–70%), андезина X<sub>1</sub> (30–45%), иногда стигматита и кварца (от 2 до 5%). Аксессорные минералы: апатит, рудный минерал, зефир, ортит. Амфиболиты представлены несколькими разновидностями. В некоторых амфиболитах присутствует зеленовато-бурая роговая обманка, замещающая светло-зеленым или почти бесцветным амфиболом и сфе-ном. Агрегаты светло-зеленого амфибола развиваются и по плагиоклазу. Светло-зеленый амфибол в свою очередь замещается синевеленою роговой обманкой и возникает амфиболиты, трудно отличимые по структурным особенностям от пород, образованных в условиях прогрессивного метаморфизма. Лишь наличие переходных разностей с неполностью замещенными псевдоморфозами светло-зеленного и роговиками зеленовато-бурого амфибола, а также присутствие вторичного обмана позволяют установить принадлежность таких амфиболитов к группе высокотемпературных лиофилитов.

Амфибол-пластоклаевые и биотит-амфибол-пластоклаевые кристаллические сланцы обладают серой и темно-серой окраской,

<sup>X<sub>1</sub></sup> Здесь и далее состав плагиоклаза определен на плоском стомике методом Шиль-Леви. Для пород амазарского штургинского комплекса состав плагиоклаза определен на Федоровском стомике.

мелко- и среднезернистым сложением и нередко полосчатой текстурой. Их минеральный состав характеризуется наличием плагиоклаза – 55–75%, амфибола – 8–45%, биотита – до 15%, кварца – до 10% и аксессорных минералов: рудного, сфена, ортита, апатита. Структура гранобластовая и пластокатастическая. Сланцы с гранобластовой структурой состоят преимущественно из андезина № 38–40 и сине-зеленой роговой обманки. В последней нередко наблюдаются пойкилитовые вrostки кварца. Такие кварц-амфиболовые псевдоморфозы, по данным В.И.Шульцнера (1969) и В.П.Кирьяка (1966), развиваются по проксенным и бурой роговой обманке в архейских лиофилитороганных породах Амазаро-Гунтильского междуречья и свидетельствуют о лиофилитической природе характеризуемых образований.

В сланцах, подвергнутых процессам пластокатализа, характер изменений зависит от интенсивности дробления и метасоматического замещения. В слабо катаклизированных разностях плагиоклаз по краям зерен и вдоль маломощных зон гранулирован. При этом состав новых образованного плагиоклаза отвечает основному олигоклазу – кислому андезиту (№ 28–32). Сильно катаклизированные породы подвергнуты перекристаллизации, протекавшей одновременно с кальево-кремниевым метасоматозом. Бластокатализит состоят из мелкозернистого агрегата, в который погружены обломки андезина исходной породы. Мелкозернистый агрегат сложен кислым плагиоклазом, кальевым полевым шпатом, кварцем и гранато-зеленым биотитом, развивающимся по сине-зеленой роговой обманке с выделением сфена.

Амфиболовые, биотит-амфиболовые и биотитовые плагиогнейсы отличаются от вышеописанных кристаллических сланцев более светлой окраской и отчетливой полосчатостью. Содержание темноцветных минералов в них составляет от 5 до 20%. Структура гранобластовая с элементами пластокатастической. Темноцветные минералы представлены сине-зеленою роговой обманкой, бурым, реже красновато-бурым биотитом. Кроме того, часто отмечаются агрегаты псевдоморфоз, состоящие мелкочешуйчатым биотитом, и псевдоморфозы кварц-амфиболового и кварц-биотитового состава. Рудный минерал обычно окружен каемкой сфена. Перечисленные особенности состава и структуры гнейсов свидетельствуют о значительных дифторических преобразованиях в них.

Биотитовые гнейсы представляют собой серые и светло-серые средне- и мелкозернистые, большей частью отчетливо полосчатые породы. Текстура обусловлена чередованием полос мощностью от не-

около 1000 мильметров до 1-2 см, обогащенных биотитом (до 20%), и полос, близких по составу к лейкократовым гранитам. Реже встречаются разности с птичеством распределением темноцветного минерала. В таких породах наблюдаются неправильные по форме участки лейкократового состава, окруженные агрегатом мелкочешуйчатого биотита. При этом в отдельных случаях по распределению лейкократовых участков можно судить, что породы первоначально были полосчатыми. В целом их текстура приближается к карандашной.

Породы с высокоглиноzemистым минералами характеризуются серой и темно-серой, часто с зеленоватым оттенком окраской и полосчатой, линзовидно-полосчатой или птичестой текстурой. Они представлены кордиерит-биотит-гранат-силimanит-кварцевыми кристаллическими сланцами, в которых содержание отдельных минералов варьирует в широких пределах — от 25% до полного исчезновения. Ретрессивные преобразования этих пород выражаются в развитии по красно-буруму биотиту, кордиериту, гранату и силиманиту мелкочешуйчатого биотита и мусковита. По гранату, кроме того, развивается андалузит. Низкотемпературные преобразования выражались в значительной серидитизации андалузита и частичной хлоритизации биотита. При нарастании этого процесса породы превращаются в низкотемпературные серидит-хлорит-кварцевые сланцы.

Кварциты обладают серой и голубовато-серой окраской, среднекрупнозернистой гранобластовой структурой и массивной, наряду с которым в отдельных разновидностях в количествах до 20% присутствуют плагиоклаз, диопсид, биотит, амфибол, трацит. Мраморы и кальцифиды представляют собой светло-серые, белесые и желтоватые, мелко- и среднезернистые массивные породы, сложенные преимущественно кальцитом. В кальцифирах отмечаются агрегатные псевдоморфозы серпентина и эпидота (20-35%), образовавшиеся, по-видимому, по оливину и пироксену. В небольших количествах присутствует графит.

Лиосидовые бластолиты, имеющие массивное крупнозернистое строение, состоят из светло-зеленого диопсида и небольших количеств пластика.

Исходя из разреза архейских образований, можно предположить, что выделенная в его низах мощная толща кристаллических сланцев и шпатогнейзов представляет собой, по всей вероятности, продукты метаморфизма юркузов основного состава. Харак-

тер переслаивания и состав чадорской свиты обычен для метаморфизованных терригенных образований. Породы шургинской свиты сформировались, по-видимому, за счет метаморфизма кварцевых песчаников, содержащих прослои магнезиально-карбонатных и высокоглиноzemистых осадков. Не исключено и хемогенное происхождение части этих осадков (Страхов, 1963). Может быть, это метаморфизованная кора выветривания (Салоп, 1968).

Архейские породы претерпели неоднократные метаморфические преобразования. Болеею частью в них фиксируются минеральные ассоциации, соответствующие амфиболовой (сине-зеленая роговая обманка + биотит + кварц, сине-зеленая роговая обманка + шпато-клас + биотит + кварц, сине-зеленая роговая обманка + гранат + шпато-клас) или зеленосланцевой (хлорит + серпентит + кварц) фациям метаморфизма. Вместе с тем встречаются более ранние доломит, зеленовато-бурые роговые обманка, гранат, красновато-бурые биотиты. Эти минералы часто присутствуют в архейских образованиях Моготинского антиклинария в ассоциациях, типичных для гранулитовой фации метаморфизма (Кирилук, 1966Ф; Шульцнер, 1969).

Высокотемпературные парагенезисы кристаллических сланцев (кордиерит + биотит + гранат + силimanит + кварц), впоследствии замененные типичными для амфиболовой фации парагенезисами (биотит + андалузит + силimanит + кварц), являются также обычными для гранулитовой фации метаморфизма.

Количество минералов гранулитовой фации в породах невелико, но широкое развитие агрегатных и гомосовевых псевдоморфоз, сложенных минералами амфиболовой фации и содержащих реликты высокотемпературных минералов исходной породы, может свидетельствовать о широком бытом распространении минеральных ассоциаций гранулитовой фации. Таким образом, мы приходим к выводу, что первоначально стратифицированные образования архея были метаморфизованы в условиях гранулитовой фации, а минеральные ассоциации амфиболовой и зеленосланцевой фации возникли в процессе повторного ретрессивного метаморфизма.

Вопрос о геологическом возрасте комплекса решается на основе региональных сопоставлений. Метаморфические образования южного обрамления Алданского щита в последние годы почти всем исследователями разделяются на два разновозрастных комплекса. Для полиметаморфических образований, первоначально метаморфизованных в условиях гранулитовой фации метаморфизма, принят архейский, а некоторыми исследователями либо нижнеархейский (Судовников и др., 1965), либо верхнеархейский (Смеловский и др., 1965Ф)

возраст. Разрез и метаморфические преобразования рассмотренных выше пород обнаруживают много сходного с разрезом датируемых археем полиметаморфических образований Амазаро-Тунгирского междуречья (Озерский и др., 1969, Шульдинер, 1969) и хребта Зверева (Кад, 1962) и верховьев р. Тимптон (Ветчужских, 1966). Это позволяет нам считать описанные образования также архейскими.

#### НИЖНИЙ ПРОТЕРОЗОЙ (Рт<sub>1</sub>)

Нижнепротерозойские стратиграфированные образования известны лишь в самой северной части района (левобережье р. Кавыктакана, бассейн р. Олонно, истоки руч. Омогочи). Они слагают небольшие ксенолиты и складки (от первых сотен квадратных метров до 1,5 км<sup>2</sup>) в раннепротерозойских и раннепалеозойских гранитоидах и на геологической карте частично показаны внешнештабно. По этой причине составить разрез нижнепротерозойских отложений не представляется возможным. По петрографическому составу и структурно-текстурным особенностям среди них выделяются две группы пород: а) биотит-амфибол-платиоклазовые кристаллические сланцы, амфиболиты, амфиболовые и биотитовые гнейсы и б) кристаллические сланцы с высокотинземистыми минералами. Породы первой группы пользуются наиболее широким распространением. Они слагают ксенолиты в долине р. Олонно, в истоках руч. Омогочи, на зодораделе рек Кавыктакана и Амнунахаки и в истоках второго снизу левого притока р. Кавыктакан.

Биотит-амфибол-платиоклазовые кристаллические сланцы представляют собой мелкозернистые, редко облизкие к среднезернистым серые и темно-серые сплющевые породы однородного или неотчетливо полосчатого строения. Они сложены платиоклазом (№ 28–32) – 50–80%, роговой обманкой (2V = 56°; cNg – 14–16°) – 10–20% и биотитом – 5–15%. В виде неравномерно распределенных единичных мелких зерен часто присутствует кварц. В количестве до 5–6% встречается кальций полевой шпат, развивающийся по платиоклазу. Неотъемлемой составной частью пород является амфибол (2–3%). Он встречается в виде ильмоморфных равновесных с роговой обманкой и биотитом зерен или реже в виде бесформенных землистых агрегатов, развивающихся по платиоклазу. Аксессорные минералы представлены рутилом, апатитом, сфинтом, ортитом.

Амфиболиты отличаются от вышеописанных кристаллических сланцев повышенным содержанием роговой обманки (55–60%) и неизменительным количеством биотита (1–2%).

Структура пород лептогранобластовая или гранобластовая с элементами метасоматической. Равновесные минеральные ассоциации (роговая обманка + платиоклаз + амфибол, роговая обманка + платиоклаз + амфибол + кварц + биотит) свидетельствуют о метаморфизме пород в условиях фации эпилитовых амфиболитов.

Амфиболиты гнейсы отличаются от кристаллических сланцев лишь более высоким (12–15%) содержанием кварца и почти полным отсутствием биотита. Биотитовые гнейсы представляют собой желто-серые породы с неотчетливо выраженным полосчатым строением и редкими порфиробластами калиевого полевого шпата. Сложены они платиоклазом – 20–25%, кварцем – 25–30%, калиевым полевым шпатом – 35–40% и биотитом – 1–5%. Аксессорные минералы: сфинт, рутий, апатит.

Кристаллические сланцы с высокотинземистыми минералами слагают два небольших ксенолита (первые сотни квадратных метров) в верховьях первого снизу левого притока р. Кавыктакан. Это желто-серые до черных, иногда пятнистые породы массивного, полностью гранитизированы. Иногда они значительно гранат-силиманит-андезаутиз-биотит-кордиерит-силиманит-биотитовые кристаллические сланцы. Содержание породообразующих минералов следующее: гранат (единичные зерна – 3–5%), силиманит (от 3 до 15%), андезаутиз (от 3–4 до 30%), кордиерит (25–40%), биотит (10–35%). В слабо гранитизированных разностях в количестве от 5 до 10% присутствует кварц и в количестве от 7 до 25% – кальциевый полевой шпат. Аксессорные минералы представлены рутилом и цирконом. Соотношения между тинзоминералами следствуют о прогрессивном характере проявленного в породах метаморфизма.

Мощность нижнепротерозойских отложений, исходя из расположения их в широкой полосе и значительных мощностей подобных образований на смежных территориях (Халкевич и др., 1967; Шульдинер и др., 1967), условно принимается равной 1000 м.

Описаные образования по характеру метаморфических преобразований обнаруживают большое сходство с выделениями в южной части Читинской области отложениями нижнего протерозоя. Учитывая сказанное, а также их расположение между выходами нижнепротерозойского стратиграфированного комплекса, закартированными несколько севернее (Халкевич и др., 1967), западнее (Шульдинер и др., 1967) и восточнее (Озерский и др., 1966) мы относим их к нижнему протерозою.

ЮРСКАЯ СИСТЕМА, ВЕРХНИЙ ОТДЕЛ – МЕДОВАЯ СИСТЕМА,  
НИЖНИЙ ОТДЕЛ (J<sub>3</sub> – Cr<sub>1</sub>)

Верхнеурские–нижнемеловые отложения представлены осадочными брекчиями, конгломератами, дресвянниками и песчаниками. Эти образования слагают юго–западную часть Олекмо–Моклаканской впадины (Озерский и др., 1966) и распространены на правобережье руч. Веселый и водоразделе р. Сиватин – руч. Веселый на площади 5 км<sup>2</sup>. Границы отложений с более древними породами участками тектонических. Юго–восточная и юго–западная границы отложений не обнаруживают признаков тектонических осложнений и их поведение в современном рельфе свидетельствует о пологом, длином и горизонтальном залегании слоев. Данное обстоятельство позволяет использовать гипсометрическое положение тех или иных пород для суждения о разрезе терригенной толщи и ее мощности.

Базальная толща мезозойских отложений на правобережье руч. Веселый представлена осадочными брекчиями, которые на водоразделе руч. Веселый и р. Сиватин фациально замещаются галечно–валунными конгломератами. Мощность ее составляет 30–50 м. Выше залегает толща, сложенная дресвянниками песчаниками с маломощными прослойками средне–мелковернистых песчаников. Мощность этой части разреза оценивается в 30–40 м. У юго–восточного борта впадины на правобережье руч. Веселый на площади менее 1 км<sup>2</sup>, отделенной от основной части блока разломом субширотного простирания, залегают мелко–среднегалечные конгломераты с редкими прослойками гравелистых средне–мелковернистых песчаников, положение которых в разрезе неясно. По–видимому, эти отложения слагают верхнюю часть разреза, залегая на отложениях песчаниковой толщи. Не исключена также и возможность фашиального перехода между ними. Мощность толщи составляет 20–40 м. Таким образом, общая мощность верхнеурских – нижнемеловых отложений составляет 80–130 м.

Осадочные брекчи сложены на 60–70% щебнем и дресвой и иногда со слабыми следами окатанности, которые представлены средне–мелковернистыми лейкократовыми гранитами. Цемент их средне–кургузовернистый песчаниковый, буроватого цвета, кластичен и санным ниже дресвянникам песчаникам.

Галечно–валунные конгломераты состоят из хорошо окатанных валунов и гальки (70–80%) и средне–мелковернистого песчаникового заполнителя серого цвета.

Мелко–среднегалечные конгломераты состоят из гальки (60–70%) и средне–мелковернистого песчаникового цемента красно–бу-

рого цвета. Содержатся редкие валуны размером 10–15 см. Форма их обычно эллипсоидальная, редко уплощенная и угловатая. Галька и валуны хорошо окатаны. Они сложены разнообразными гранитами, пнейсами, дюритовыми порфиритами.

Гравелистые средне–мелковернистые песчаники содержат до 30% гравия и мелкой гальки, которые представлены теми же породами, что и в гальке конгломератов. Песчаниковый материал, имеющий светло–серую окраску, идентичен описанному ниже дресвянникам песчаникам.

Дресвянники и неравномернозернистые дресвянистые песчаники связаны между собой постепенными переходами. Цвет их изменяется от светло–серого до красно–бурового. Кластическая часть составляет от 50 до 90% породы, характеризуется плохою сортировкой и уловатой, очень редко полукатанной формой обломков. В обломках присутствуют кварц, платиоклаз, калиевый полевой шпат, редко биотит и рутильный минерал. В псефитовой части породы встречаются также мелковернистые лейкократовые траниты. Кварц составляет 25–35% кластического материала, остальные 65–75% приходятся на калиевый полевой шпат и платиоклаз. Калиевый полевой шпат интенсивно замещается каолином. В меньшей степени процессу каолинизации подвергнут платиоклаз. Цемент дресвянников и песчаников железисто–тигинистый, по типу цементации – соприкосновения и повторный, реже базальный.

Средне–мелковернистые песчаники отличаются от вышеописанных значительно лучшей сортировкой зерен. Цвет их буровато–красный, текстура массивная, реже горизонтальнослойчатая, обусловленная чередованием слоек мощностью 1–3 мм с различной крупностью зерен или с различной окраской. По составу неравномернозернистые и средне–мелковернистые песчаники соответствуют аркозовым. Они совместно с вмещающими породами каолинизированы и окварцеваны.

Формирование отложений происходило, по–видимому, при резкой смене условий осадконакопления в пространстве и во времени, о чем свидетельствует их фашиальная неиздержанность. Если образование галечно–валунных конгломератов происходило в проточном озерном бассейне, то образование осадочных брекчий, песчаников и частично мелко–среднегалечных конгломератов – в условиях замкнутого бассейна.

Возраст описанных отложений принимается позднеурским – раннемеловым на основании сопоставления их с терригенными толщами других мезозойских депрессий Олекмо–Витимской горной страны, окартизованных палинологическими данными. Спорово–пыль-

цевые спектры, соответствующие Верхней ире - нижнему мелу, выделены из сходных отложений расположенной на соседней территории Тунгирской лепрессии и в долине р.Прав.Бармакит (Озерский и др., 1969).

#### ЧЕТВЕРТИЧНАЯ СИСТЕМА

Четвертичные отложения покрывают маломощным чехлом всю площадь района. Они разделяются на верхнечетвертичные и современные.

#### Верхнечетвертичные отложения (Q<sub>III</sub>)

Среди верхнечетвертичных отложений выделяются аллювиальные, проливиальные, солифлюкционные и ледниковые типы осадков. Тесно ассоциируя между собой, они образуют сложно построенные группы отложений: проливиально-аллювиальные и проливиально-солифлюкционные, аллювиальные и проливиально-солифлюкционные, ледниковые.

Проливиально-аллювиальные и ледниково-аллювиальные отложения приурочены к впадине, расположенной у северо-западного подножия Моклинского хребта в пределах двух составляющих р.Верх.Караскит на протяжении 4 км<sup>2</sup>. Поверхность водораздела почти горизонтальная с небольшими уклонами к поймам ручьев. Она плавно соединяется с поймами долин и склоном Моклинского хребта. Проливиально-аллювиальные отложения преобладают в северной части участка, где они представлены валочно-лестично-глечно-травянистым материалом. В направлении к склонам Моклинского хребта уменьшается степень окатанности обломочного материала, а песчаный материал постепенно замещается плотными вязким се-рьми суглинками и глинями, появляются пресна и мелкий лебене, т.е. происходит замещение проливиально-аллювиальных образований промывально-солифлюкционными. Мощность отложений составляет 5-10 м.

Аллювиальные и проливиально-солифлюкционные отложения залегают в пределах аккумулятивных и эрозионно-аккумулятивных террас рек Сред.Моклы, Верх.Моклы и их некоторых притоков. Высота уступов террас над уровнем воды колеблется от 5 до 10 м, высота поймовых швов достигает 40-50 м. Аллювиальные образования представлены отложениями пойменной и руслоевой фаций. Отложения

пойменной фации слагают верхнюю часть разреза и выполнены песками, супесями, супликами. Мощность их обычно составляет 1-2 м, достигая в долине р.Верх.Моклы 7,5 м. Отложения руслоевой фации представлены валунами, галькой и гравием с глинисто-лессовым заполнителем. Мощность их колеблется от 1 до 12 м. Проливиально-солифлюкционные отложения пользуются значительным распространением только в левобережной части долины р.Верх.Моклы, где они в отдельных случаях перекрывают террасу на всю ее ширину, а вблизи тыльного шва пересекаются с аллювием. В более узких долинах с пологими склонами они перекрывают аллювий маломощным (до 1 м) чехлом только в прижлоновой части долины. Эти отложения представлены стукинисто-глинистым материалом, содержащим дресву, щебень, редко глыбы. Они содержат также песок, гравий, гальку и валуны, ранее входившие в состав аллювия. Мощность проливиально-солифлюкционных отложений достигает 1' м.

Ледниково-отложения выделены в долине левого притока р.Кавыктакан. Они слагают верхнюю часть не-большой сопки высотой около 20 м. Вершина ее изрезана глубокими промоинами (3-4 м), в бортах которых обнажаются щебнисто-дресвянистые отложения с уклончатой и слабо окатанной формой обломков различных по составу пород. Мощность отложений не более 10 м. Геоморфологические факторы позволяют рассматривать эти образования в качестве отложений доковой морены.

Возраст проливиально-аллювиальных, проливиально-солифлюкционных и аллювиальных отложений датируется нами на основании многочисленных анализов спорово-пыльцевых спектров, характерных, по заключению М.И.Лепуковой (ЧГУ) и кафедры высших растений МГУ, для позднечетвертичного времени. Так, из аллювиальных отложений первой надпойменной террасы р.Кавыктакан выделен спорово-пыльцевой спектр, представленный (Тришин и др., 1969): пыльца древесных - 9-28%, пыльцы кустарников - 55-72%, пыльцы трав и кустарников - 16-50%, споры - 20-63%. Среди древесных преобладает пыльца *Rhus sibirica* (Вупр.) Март., *Betula sec* Albae, *Picea sec.*, *Empicea*. Кустарниковые выделяют *Betula sec*. Напае, *Alnus sp.*, *Alnaster*, *Salix sp.* В группе трав пыльцу роль играют осоковые, злаки и вересковые. Выявлены споры *Sphragidium*, *Polygonidaceae*, *Gycorodium*. Состав спорово-пыльцевого спектра с господством пыльцы кустарниковых пород соответствует растительности лесотундрового типа.

Одновозрастность проливиально-солифлюкционных отложений с аллювиальными доказывается также их переслаиванием на отдельных

участках. Возраст ледниковых отложений условно принимается позднечетвертичным, а отложение морены связывается с последним горно-долинным оледенением (Музис, 1967).

### Современные отложения (9<sub>IV</sub>)

Среди современных отложений выделяются почвенные, аллювиальные, делювиальные, солифлюкционные, коллювиальные, промлювиальные и аллювиальные генетические типы осадков.

Аллювиальные почвы отложены представлена

гальваниками, песками, супесями, суплинками, глинями и торфяными, разбитыми в пределах пойм речных долин. Ширина поймы обычно незначительная (50–200 м) и только на отдельных участках долин достигает 500–700 м, редко 1 км. Река Верх. Мокла имеет пойму шириной до 2,2 км. Дельтально изучен разрез современных аллювиальных отложений рек Сред. Моклы, Верх. Моклы, Кавытакана, Тундака, Залова. Он характеризуется наличием русловых, пойменных и старичных отложений. Отложения рус洛вой фауны слагают нижнюю часть разреза. Они представлены песчано-валуно-галечными, песчано-гравийно-галечными и песчано-гальваниками, часто с примесью глинистого материала. В прибрежных частях долин отмечается примесь щебнисто-глыбового материала. Мощность отложений русловой фауны достигает 7 м. Пески, супеси, суплинки и глины пойменной фауны, а также илистые отложения и торфяники старичной фауны слагают верхнюю часть разреза мощностью 0,5–5 м. Общая мощность современных аллювиальных отложений достигает 10 м.

Рыхлые отложения других генетических типов образовались в результате процессов физического выветривания в условиях резко континентального климата. Они сложены дресчно-щебнисто-глинистым материалом, суплинками, глинами с примесью песка и супеси. Соотношение этих составляющих определяется в значительной степени физико-механическими свойствами разрушающихся горных пород и тектоническим положением участков развития рыхлых отложений. На грубозернистых породированных гранитоидах развиваются глинисто-песчанистые отложения, для полей мелкозернистых гранитов характерен щебнисто-глыбовый состав аллювия и делювия. При прочих равных условиях размер обломков в рыхлых отложениях и их количество увеличивается в участках с более высоким глинистическим положением. Мощность описанных типов отложений колеблется в пределах 1–5 м.

Современный возраст отложений принимается на том основании, что процессы формирования их протекают и в настоящее время.

Из аллювиальных отложений, слагающих поймы долин рек Верх. Моклы и Сред. Моклы, выделен спорово-пыльцевой спектр, в составе которого преобладает пыльца древесной пыльцы, представленная пыльцой *Betula* (до 87%), *Alnus*, *Pinus* (подрод *Parviflora* и *Pinus* (подрод *Diploxylon*). В небольших количествах отмечена

пыльца кустарниковой бересклети, ольховника и ливы.

В группе пыльцы травянистых растений основное место занимает пыльце *Ericaceae*, *Gramineae*, *Artemisia*, *Chenopodiaceae*. Отмечено небольшое количество пыльцы водных и болотных растений, а также *Sphagnum*. По заключению М.И. Лепуковой (ЧГУ), этот спектр характерен для гололена. В то же время нельзя исключить возможность более раннего возраста части аллювиальных, делювиальных и солифлюкционных образований, особенно на участках предельно выпогоженных склонов и выровненных водоразделов.

## ИНТРУЗИВНЫЕ ОБРАЗОВАНИЯ

Интузивные и ультраметаморфические породы наиболее широко распространены на площахи листа. Среди них выделены архейские, раннепротерозойские, раннепалеозойские, триасовые (?), среднепозднепалеозойские и раннемеловые (?) интрузии.

### АРХЕЙСКИЕ ИНТРУЗИВНЫЕ ОБРАЗОВАНИЯ

Архейские интузивные образования представлены двумя различными по составу и генезису группами пород: амфиболитами и гранитоидами.

### Амфиболиты (ам А?)

Амфиболиты известны только на участке распространения стратифицированных образований архея в междуречье р. Найденки и р. Заклакан-1. Они слагают выход площадью 4 км<sup>2</sup>, разделенный тектоническим нарушением на два блока. С окружавшими образованием породы имеют тектонические грани и только в долине р. Заклакан-1 контакты, по-видимому, интрузивные. Линии контактов на этом участке ровные, параллельны ориентировке полосчатости метаморфических пород, что позволяет предполагать симметрическим положением. Амфиболиты

представлены двумя разновидностями. Северный блок сложен темно-серыми до черных сланцеватыми мелкозернистыми амфиболитами. В южном блоке преобладают среднезернистые разности, по внешнему облику приближающиеся к диоритам. Только в юго-восточной его части, где происходит выклинивание тела, встречаются мелкозернистые амфиболиты, подобные слагающим северный блок. Наличие мелкозернистых амфиболитов на участке выклинивания тела, возможно, говорит о принадлежности их андоконтактной фации.

Среднезернистые амфиболиты сложены плагиоклазом (андезин  $\# 40$ ) – 55–60% и амфиболом – 40–45%. Последний представлен буровой роговой обманкой ( $2V = -72^\circ$ ,  $cNg = 150$ ) и лужистым бесперечным амфиболом, образующим агрегатные псевдоморфозы по какому-то темнопетральному минералу. Мелкозернистые амфиболиты состоят из примерно равного количества плагиоклаза ( $\# 28$ – $32$ ) и буровато-зеленой роговой обманки ( $2V = 64^\circ$ ,  $cNg = 190$ ). Из акцессорных минералов в шлифах обеих разностей наблюдалась только рудный.

Структура пород типичная гранобластовая. Основанием для отнесения амфиболитов к интрузивным образованиям послужили целый ряд факторов: быстрое выклинивание их по простиранию, довольно однородный состав, а также весьма нехарактерная для вмещающей их шургинской свиты литология пород при большом однообразии внешнего облика постепенных. Возрастное положение амфиболитов определяется тем, что они развиты лишь на участках распространения архейских стратифицированных образований, имеют с последними сопластичные или полусопластичные контакты и прорываются архейскими гранитоидами.

#### Лейкократовые граниты, плагиограниты, гранито-гнейсы (ГД)

Архейские гранитоиды пространственно тесно связаны с налью более древними метаморфическими породами. Они участвуют в строении митматитов в качестве лейкократовой составляющей. Особенно часто они встречаются на плоскости распространения пород шургинской свиты, где образуют сопластичные с простиранием вмещающих толщ, часто сближенные тела мощностью до нескольких метров, а также настлываются в митматитах в виде полос мощностью от полей до нескольких сантиметров. Более крупные тела установлены на лебедянском (4 км<sup>2</sup>) и в междууречье Камчагач – Сай-бочи (7–8 км<sup>2</sup>). Конфигурация тел в плане в значительной мере обусловлена разрывными нарушениями и выходит за пределы интрузивных образований. Лишь участками сохранились нормальные

контакты со стратифицированными образованиями архея. Контакты интексионного типа, согласные с текстурами вмещающих пород. Редко встречаются маломощные секущие прожилки. Строение этих тел характеризуется частым чередованием гранитов и гранито-гнейсов с различными структурно-текстурными особенностями и наличием большого количества скапилитов вмещающих пород.

Архейские гранитоиды весьма разнообразны по своим структурам (мягко- средне- крупнозернистые, участками пегматоточные) и текстурам (гнейсовые, полосчатые, реже массивные) особенностям. Граниты представляют собой лейкократовые породы. Границы гнейсовых отмечаются четко выраженной гнейсовой текстурой и обычно более высоким содержанием темнопетральных минералов (до 3–5%). Следовательной чертой этих пород является присутствие голубовато-серого и серого кварца, образующего обычно ориентированные субпараллельно линзовидные включения и придающего гранитоидам своеобразный внешний облик. Микроструктура пород альтитроморфозернистая, участками гранобластовая. Часто наблюдаются структуры метасоматического замещения с развитием кальевого полевого шпата по плагиоклазу. Минералогический состав гранитов и гранито-гнейсов характеризуется резкими колебаниями в содержании плагиоклаза (олигоклаза) и калиевого полевого шпата (микроклин-пертита) при сравнительно постоянном (25–30%) количестве кварца. При изучении шлифов выделяются породы по составу отечашим плагиогранитам, гранитам нормального ряда и аляскитовым гранитам. При полевых исследованиях фиксируются постепенные переходы между этими разностями. Темнопетрный минерал обыч но представлен биотитом. Большие контакты с метаморфическими породами в зависимости от их состава иногда появляются амфибол, диопсид, гранат. По-видимому, эти минералы являются реликтами метасоматических изменений вмещающих пород. Из акцессорных минералов в шлифах наблюдались только мелкие зерна циркона.

Силикатный анализ лейкократового гранита (табл. I, анализ I) показывает, что порода пересечена кремнеземом и богата целочами при значительном преобладании натрия над калием. Наблюдалась приуроченность описанных гранитоидов к архейскому метаморфическому комплексу, интексионные контакты и согласные взаимоотношения позволяют считать их возраст архейским.

Х/ Описанные гранитоиды отвечают формации митматитов амфиболовой фации. Возможно, становление их произошло в раннем протерозое при перестройке архейских структур, сопровождавшейся ретросольным метаморфизмом в узловых амфиболовой фации. Структура состава и структурно-текстурных признаков пород может определяться вещественными особенностями архейской рамы. Образование чарнокитовой формации в районе не установлено. —

## РАННЕПЕРОЗОЙСКИЕ ИНТРУЗИВНЫЕ ОБРАЗОВАНИЯ

По петрографическому составу, условиям и последовательности формирования среди рассматриваемых образований выделяются три группы пород: а) кварцевые диориты, диориты, габбро-диориты, габро, реже анортозиты и гранодиориты; б) граносиениты, реже амфиболовые граниты, редко платиграниты, граносиениты и гранодиориты.

Кварцевые диориты, диориты ( $\delta \text{Pt}_1$ ), габбро ( $\nu \text{Pt}_1$ ), анортозиты ( $\delta \text{ArPt}_1$ ), габбро-диориты ( $\delta \text{Pt}_1$ )

Раннеперозойские породы среднего и основного состава встречаются на всей территории. Наиболее крупные из выходы зафиксированы в бассейне верхнего течения р. Джекачи (Джекачинский выход, площадь – около 80 км<sup>2</sup>) и в бассейне р. Сред. Моклы (Будучи-Каныктаканский выход, площадь – около 270 км<sup>2</sup>). Они окаймляют площади распространения архейских образований. Большое количество значительно меньших по размерам тел установлено к северо-западу от указанных выходов. В юго-восточной части района рассматриваемые породы имеют резко ограниченное распространение, слагают мелкие ксенониты и скапливаются в более поздних раннеперозойских гранитолах или образуют маломощные тела в стратифицированных толщах архей, согласные со структурами последних. Первоначальная форма тел повсеместно замаскирована наложенным процессами ультраметаморфизма или нарушена позднейшим интрузионным.

Имеющиеся замеры первичной полосчатости и гнейсовидности позволяют говорить, что расположение шлунтов не подчиняется дислокационному плану архей. На отдельных участках мелкие площади выхода тела или апофизы крупных инструментов лежатся согласными со структурами эндогенных образований, что, вероятно, обусловлено развитием части пород среднего состава раннего претерозоя по стратифицированным образованиям архей при сохранении структурного плана последних.

По составу и генезису среди рассматриваемых образований выделяются две группы пород. Одна из них представлена амфиболовыми, биотит-амфиболовыми, диккен-амфиболовыми габбро, габбро-диоритами, анортозитами и отчасти диоритами. Вторую группу составляют биотит-амфиболовые, амфиболовые и биотитовые кварцевые диориты, диориты, гранодиориты. Породы второй группы преобладают в составе большей части выделенных на карте выходов средних-основных пород.

П о р о ды п е р в о й г р у п п и, тесно ассоциируя между собой, слагают различной величины (до 16 км<sup>2</sup>) участки среди пород второй группы, реже образуют самостоятельные тела (в верховых и среднем течении р. Сред. Моклы, в бассейне верхнего течения р. Кавыктакана и на водоразделе рек Каралкит – Колбачи). Габбро и габбро-диориты представляют собой темные зеленовато-серые породы средне-, крупнозернистого, редко мелкозернистого сложения. Текстура их массивная, реже неогчетливо гнейсовидная, полосчатая или линзовидно-полосчатая. Структура габбровая, призматически-зернистая, иногда габброэфиговая. Первичные породы повсеместно в различной степени преобразованы, поэтому в составе их наблюдались минералы нескольких генераций.

Первичная ассоциация пород представлена платиоклазом (андезин-лабрадор, иногда оливинит), моноклинным широксеном, буровато-зеленой и бурой роговой обманкой. В акцессорных количествах присутствуют апатит, магнетит, титаномагнетит, сфен, пирит, пиротин, халькокорит. По темпопретитным минералам развиваются вторичные светло-зеленые или бесцветные и синевато-зеленые амфиболы и биотит. Последний иногда замещает и рудные минералы. Интенсивное развитие биотита в некоторых случаях приводит к полному исчезновению более ранних темноцветных минералов. Наряду с этим отмечается раскрытие платиоклаза, и состав породы изменяется до диоритов.

Анортозиты встречаются совместно с габбро в выходах, расположенных в бассейне верхнего течения р. Кавыктакан. Платиоклаз в них представлен битовитом (# 70-72). С габбро анортозиты имеют постепенные переходы. Июгда совместно с габбро-диоритами встречаются породы ультраосновного состава, состоящие из агрегатных псевдоморф бледно окрашенного амфиболита, серпентина и эпидота. В некоторых штифтах среди агрегатных псевдоморф наблюдаются реликты зерен оливина.

Особенности состава и типичные для магматических образований первичные структуры свидетельствуют об интрузивной природе описанной группы.

П о р о ды в т о р о й г р у п п и имают более сложное происхождение. Наряду с признаками матогенного генезиса (призматически-зернистая структура) установлено происхождение части этих пород путем метасоматического преобразования (габбро-диоритов), так и кристаллических сланцев архей. Выходы внешнего облика и тесной пространственной связи диоритовых пород разного генезиса расчленить их практически невозможно. Все они характеризуются мелко-среднезернистыми, участками

Таблица I

Химический состав  
интрузивных образований

Состав окислов	Содержание окислов, вес. %																	
	1	2	3	4	5	6	7	8	9	10	11	12	13	14	15	16	17	
SiO <sub>2</sub>	66,30	43,60	48,33	57,04	63,06	69,85	70,03	71,39	68,60	46,53	53,96	69,32	72,23	69,2	72,50	62,64	57,24	
TiO <sub>2</sub>	0,41	1,52	2,45	1,00	0,42	0,38	0,30	0,25	0,41	1,42	1,07	0,32	0,27	0,38	0,12	0,48	1,62	
Al <sub>2</sub> O <sub>3</sub>	16,49	17,80	19,13	17,33	15,46	14,83	15,90	14,35	15,03	19,03	13,71	15,26	14,68	16,02	15,60	18,38	15,32	
Fe <sub>2</sub> O <sub>3</sub>	1,40	6,11	2,65	2,65	1,30	1,18	0,57	0,55	1,23	5,70	3,52	0,37	0,73	1,41	0,43	1,66	1,91	
FeO	2,44	3,19	6,28	4,74	2,40	2,15	2,65	2,58	2,57	5,39	5,17	1,65	1,07	1,58	1,43	2,44	6,53	
MnO	0,07	0,08	0,094	0,09	0,046	0,034	0,05	0,05	0,058	0,13	0,16	0,034	0,023	0,045	0,04	0,069	0,04	
MoO	I,21	5,15	2,85	2,19	0,91	0,75	0,63	0,64	0,97	3,55	2,11	0,72	0,17	0,48	0,31	0,71	3,83	
CaO	2,61	12,17	8,70	6,63	1,87	1,76	2,05	1,28	2,22	10,0	6,66	1,88	1,13	1,33	1,89	1,81	6,85	
Na <sub>2</sub> O	4,57	2,30	4,70	4,20	4,30	4,50	4,05	4,25	3,55	4,42	4,50	4,0	4,30	5,00	5,70	4,35		
K <sub>2</sub> O	2,80	0,74	I,43	2,74	4,40	4,40	3,40	4,30	4,20	2,0	2,70	4,60	5,10	4,50	3,20	5,10	1,30	
P <sub>2</sub> O <sub>5</sub>	0,16	0,17	I,55	0,29	0,21	0,18	0,13	0,07	0,16	0,62	0,11	0,076	0,15	0,03	0,12	0,27		
П.п.п.	0,89	2,05	I,07	0,98	0,24	0,17	0,25	0,34	0,09	I,86	0,70	0,50	0,48	0,12	0,05	0,63	0,73	
Сумма	99,35	99,88	99,73	99,62	99,93	100,51	99,35	99,94	100,35	99,80	99,76	99,96	99,51	100,60	99,74	99,99		
Числовые характеристики по А.Н. Задарикову																		
a	I4,I	6,6	I3,3	I3,6	15,7	I5,5	I4,5	I4,8	I5,2	I1,4	I4,3	I6,4	I5,8	I5,6	I5,2	20,I	I1,4	
c	3,I	9,5	7,0	5,I	2,2	2,0	2,4	I,5	2,3	7,5	5,9	I,3	1,6	2,2	2,2	4,5		
b	7,3	29,6	I3,3	I4,0	5,I	4,3	5,3	4,7	5,6	23,2	I4,7	3,9	2,5	5,6	2,7	5,3	I8,I	
s	75,5	54,3	61,4	67,3	77,0	78,2	77,8	79,0	76,9	57,9	65,1	77,8	80,4	77,2	79,9	72,4	66,0	
a'	-	-	-	-	6,6	-	25,5	I6,9	-	-	-	-	26,3	38,I	I7,5	5,2	-	
f'	49,I	47,I	48,6	49,7	64,5	68,7	55,5	60,6	65,1	42,8	51,1	53,1	63,2	47,6	65,0	72,7	43,3	
m*	27,8	31,5	27,9	27,4	28,9	28,3	19,0	22,5	28,9	27,7	25,2	30,8	10,5	I4,3	I7,5	22,I	35,7	
c'	-	21,4	23,5	22,9	-	3,0	-	-	6,0	23,5	I7,7	I1,I	-	-	-	21,0		
n	71,0	82,2	83,1	69,7	59,5	59,5	67,0	58,7	60,4	73,1	71,0	59,8	54,6	59,0	70,4	63,0	83,3	
q	I6,7	I3,7	I3,I	I6,4	21,0	22,0	8,8	9,9	I9,3	22,7	21,3	I8,8	23,7	21,5	15,0	27,3	9,0	
t	0,5	2,6	3,6	I,3	0,4	0,3	0,4	2,3	I,5	0,7	0,3	0,4	0,I	0,6	2,I			
q	I9,7	-I4,I	-10,8	2,3	20,4	23,4	24,2	26,9	21,1	-I4,5	20,9	27,9	21,6	27,2	2,4	4,7		
a:c	4,5	0,6	I,9	2,7	7,8	6,0	9,9	I,5	2,4	8,6	12,1	9,7	6,9	9,I	2,5			

Продолжение табл. I

Состав окислов		Содержание																
		18	19	20	21	22	23	24	25	26	27	28	29	30	31	32	33	34
SiO <sub>2</sub>	67,40	59,18	59,92	66,40	65,69	69,34	69,18	67,90	67,44	75,34	74,68	72,96	70,14	74,52	75,23	56,76	59,82	
TiO <sub>2</sub>	0,33	0,47	0,80	0,49	0,58	0,33	0,34	0,32	0,40	0,13	0,06	0,20	0,35	0,18	0,16	0,94	1,20	
Al <sub>2</sub> O <sub>3</sub>	15,85	18,91	16,79	16,31	15,13	15,42	14,85	15,73	0,40	0,10	0,06	0,26	14,98	12,65	12,98	16,46	14,94	
Fe <sub>2</sub> O <sub>3</sub>	0,78	2,14	2,14	1,87	2,35	1,27	1,30	1,33	15,27	12,81	14,06	13,26	14,98	12,65	12,98	2,29	3,10	
FeO	2,65	2,72	3,87	2,01	2,11	2,29	1,58	2,15	1,55	0,76	0,10	0,15	0,81	0,71	1,03	2,29	3,59	
MnO	0,05	0,06	0,04	0,05	0,03	0,034	0,04	0,04	2,36	1,36	0,71	2,48	1,60	2,51	0,82	5,24	3,59	
MgO	0,79	1,40	2,06	2,62	1,31	0,80	1,58	1,01	0,046	0,023	0,01	0,05	0,05	0,046	0,027	0,102	0,07	
CaO	2,54	3,31	4,12	1,09	2,27	0,66	0,52	2,70	1,II	0,20	0,II	0,39	0,55	0,43	0,40	3,83	3,20	
Na <sub>2</sub> O	4,55	5,65	4,40	5,00	4,95	4,25	4,80	4,33	1,92	0,60	1,10	1,59	1,37	0,44	0,89	6,10	4,30	
K <sub>2</sub> O	4,28	5,30	4,50	3,20	4,60	4,80	3,95	4,60	4,30	4,49	4,40	4,37	3,90	3,90	3,50	3,77	3,77	
P <sub>2</sub> O <sub>5</sub>	0,13	0,33	0,46	0,18	0,28	0,17	0,16	0,12	4,50	4,60	4,18	4,20	4,65	4,20	4,50	2,40	3,31	
П.п.п.	0,05	0,06	0,63	0,45	0,50	0,62	0,44	0,13	0,21	0,042	0,01	0,08	0,13	0,069	0,60	0,22	0,26	0,26
Сумма	99,40	99,53	99,74	99,66	99,82	99,98	99,58	99,71	99,65	99,24	-	0,49	0,35	0,48	0,11	0,34	1,98	1,86
Числовые характеристики																		
		по А.Н.Завариному																
a	16,2	20,3	16,4	15,1	17,3	15,8	16,9	15,1	16,5	15,3	15,6	15,2	16,0	14,0	14,5	11,4	13,2	
c	2,4	2,6	3,2	1,3	0,8	0,6	2,9	1,3	16,5	15,3	15,6	15,2	16,0	14,0	14,5	11,4	13,2	
b	5,2	8,4	11,0	10,8	7,4	7,0	6,2	5,1	1,8	0,5	1,3	0,9	1,6	0,5	1,0	5,7	3,5	
s	76,2	68,7	69,4	72,8	74,0	76,4	76,3	76,9	5,8	2,4	0,9	4,1	3,5	4,7	2,4	15,2	13,4	
a'	-	-	30,1	-	36,8	18,1	-	75,9	81,2	82,2	79,8	78,9	80,8	82,1	67,7	69,9	-	
r'	61,9	54,1	51,0	30,7	52,5	44,3	40,4	60,9	-	-	17,8	-	10,2	24,1	4,3	-	-	
m'	26,3	28,7	32,0	39,2	28,9	18,9	41,5	33,1	60,8	75,7	66,2	58,1	63,6	61,2	68,3	45,3	46,0	
c'	II,8	II,2	II,0	-	18,6	-	6,0	31,5	13,5	16,0	16,1	26,2	14,7	27,4	41,8	40,7	-	
n	61,5	61,9	59,6	70,4	62,0	57,3	60,1	62,6	7,6	10,8	-	25,8	-	-	12,9	13,3	-	
q	13,2	22,1	17,0	13,8	26,2	14,2	17,1	21,2	60,7	58,5	61,9	61,2	58,8	58,5	56,8	69,1	63,4	
t	0,4	0,6	1,0	0,5	0,7	0,3	0,3	0,4	22,2	24,3	7,3	1,6	18,9	12,2	35,7	13,0	19,6	
q	7,8	-5,8	2,8	14,1	12,1	20,4	18,2	20,7	0,4	0,1	0,2	0,4	0,2	0,2	1,3	1,5	1,5	
a:o	6,8	5,1	II,6	13,3	19,8	-	5,2	17,0	32,5	31,9	28,3	24,2	33,2	34,2	6,9	9,6	3,8	
						30,6	12,0	15,9	10,0	27,4	13,9	2,0						

П р и м е ч а н и е: архейские интрузии: I - обр. 2271г - лейкократовый гранит, правобережье р.Сайбачи; 2-9 - протерозойские интрузии: 2 - обр. 6615 - пироксен-амфиболовое габбро, верховье р.Прав.Амуннакачи; 3 - обр. 3006 - пироксен-амфиболовый габбро-диорит, верховье р.Сред.Мокла, 4 - обр. 2391 - биотитовый диорит, правый берег р.Сред.Мокла, выше устья р.Колдоши, 5 - обр. 4533 - роговообманково-биотитовый гранитосенит, бассейн р.Посикачи, 6 - обр. 2916 - роговообманково-биотитовый гранит, бассейн р.Посикачи, 7 - обр. 6476а - биотитовый гранит, верховье р.Чандуккала, 8 - обр. 2545 - биотитовый гранит, левобережье р.Окты, 9 - обр. 4372 - биотитовый гранит, бассейн р.Найленки; 10-16 - палеозойские интрузии: 10 - обр. 429 - биотит-амфиболовый габбро-диорит, бассейн р.Амуннакачи, 11 - обр. 3109 - биотит-амфиболовый плагиогней, востораздел рек Иркиран-Джеловун, 12 - обр. 682 - биотитовый гранодиорит, бассейн р.Ненку, 13 - обр. 4841 - лейкократовый гранит, бассейн р.Кавыкта-каны, 14 - обр. 7259 - биотитовый гранит, левобережье р.Сред.Мокла, 15 - обр. 6059 - биотитовый гранит, правобережье р.Сайдичи, 16 - обр. 4199 - роговообманковый сиенит, правобережье р.Гудзак, 17-30 - гранитовые интрузии: 17 - обр. 24856 - оливин-пироксеновое габбро, верховье р.Верх.Кавыктаана, 18 - обр. 4316 габбро-диорит, верховье р.Верх.Кавыктаана, 19 - обр. 45756 - биотит-амфиболовый сиенит-диорит, верховье р.Олон-обр. 4577 - биотит-амфиболовый сиенит-диорит, верховье р.Олон-но, 21 - обр. 4067 - амфиб-биотитовый гранодиорит, верховье левого притока р.Сайдичи, 22 - обр. 4923 - биотит-амфиболовый гранодиорит, верховье р.Джеловун, 23 - обр. 6430 - биотитовый сиенит, верховье р.Гудзак, 24 - обр. 4860 - биотит-амфиболовый гранодиорит, среднее течение р.Джеловун, 25 - обр. 4280 - биотит-амфиболовый гранодиорит, правобережье р.Джеловун в низовьях, 26 - обр. 3070 - амфиб-биотитовый гранодиорит, левобережье р.Буруны, 27 - обр. 3607в - лейкократовый гранит, востораздел рек Буричи - Окты, 28 - обр. 421а - лейкократовый с биотитом гранит, верховье р.Мал.Джеловун, 29 - обр. 5044 - лейкократовый гранит, правобережье р.Амуннакачи, 30 - обр. 6709а - лейкократит с биотитом гранит, правобережье р.Сред.Мокла, ниже устья р.Барни; 31-34 - средне-позднеархейские интрузии: 31 - обр. 3015 - гранит-порфир, востораздел рек Акчар и Чокчокол, 32 - обр. 4845 - гранит-порфир, востораздел рек Джеловун и Чокчокол, 33 - обр. 5887 - роговообманковый порфирит, левобережье р.Кавыктаана, 34 - обр. 2338 - кварцевый порфирит, востораздел рек Каракит и Сред.Мокла. Анализы выполнены в химической лаборатории Читинского ГГУ, аналитики Н.Г.Иванова, Е.В.Саранина, Г.Е.Федорова, Т.А.Попова.

до крупнозернистого строением, большей частью отчетливо гнейсово-метаморфической текстурой, серой и зеленовато-серой окраской. Сходным является и минеральный состав этих пород. Они сложены шпатом-кальцитом (олигоклаз-андезин) - 55-70%, амфиболом - от нескольких до 30%, биотитом - от долей до 20%, кварцем - 0-15%. В матматогенных разностях встречаются реликтовые зерна моноклинного пироксена. Аксессорные минералы: магнетит, ильменит, апатит, сидерит, орбит и циркон. Некоторые отмечены устанавливаются лишь в микроструктурных особенностях. Породы, развившиеся метасоматически по кристаллическим сланцам, не имеют признаков метамор-

ических структур и иногда содержат реликты мелкозернистого гранобластового агрегата субстрата. В магматогенных же породах, хотя и измененных метасоматическими процессами, сохраняются зерна плагиоклаза призматической и табличчатой формы. Но и эти различия нередко нивелируются наложенным катионным метасоматозом, что приводит к формироvанию крупных (до 3-5-4 см) неправильных и призматических породибластов калиевого полевого шата. Породы при этом часто приобретают состав гранодиоритов.

Анализируя внутреннее строение выходов, можно отметить, что метасоматические диориты и кварцевые диориты, развивающиеся по стратифицированным образованиям, существенно распространены в Бушучи-Кавыктаанском выходе. В других местах, по-видимому, преобладают метасоматически преобразованные первично-магматогенные породы.

Результаты химических анализов габбро и габбро-диоритов (см.табл.1, анализы 2,3) показали, что по насыщенности кремнеземом они весьма близки между собой и приближаются к группе полевого габбрового состава по Р.Дали. Силикатный анализ биотитового диорита (анализ 4) показывает, что по содержанию кремнезема порода близка диоритам. Для всех пород отмечается некоторое увеличение содержания щелочей. Это объясняется, по-видимому, той или иной степенью фельдшпатизации диоритов и габбродиоритов, что сопровождается биотитизацией темноцветных минералов и раскислением плагиоклаза.

Кильная серия комплекса раннепротеровийских средних-основных пород представлена метаморфизованными порфиритами. Распространены они отграничено и наблюдались в пределах полей развития диоритов и кварцевых диоритов.

#### Амфибол-биотитовые гранодиориты ( $\gamma_1 \delta_1 \text{Pt}_1$ ), транссиениты, сиениты, граниты ( $\gamma_1 - \epsilon \text{Pt}_1$ )

Перечисленные породы слагают выход площащью около 45 км<sup>2</sup> в крайней северо-западной части района (бассейн р.Посикачи), а также в северо-восточном углу шлишета (2,5 км<sup>2</sup>). Выход в бассейне р.Посикачи является частью крупного тела, расположенного на севере (Ханевич и др., 1967) и запада (Шулька и др., 1967) территории. С юго-востока он ограничен полосой Тунгусского разлома. Вмешавшие образования замещены позднейшими интрузиями, что не позволяет судить о первоначальной форме массива. Имеющиеся данные по внутреннему строению изученной части тела (гнейсовидность и полосчатость пород, расположение

фациальных разностей) свидетельствуют, что массив имел северо-восточную ориентировку и, по-видимому, был согласен со структурным планом ранних протерозоид.

Среди слагающих выход пород выделяются две фациальные группы. Преобладающими являются среднезернистые порфиробластические отчетливо гнейсовидные гранодиориты, иногда на небольших участках фациально переходящие в граносиениты, сиениты и граниты. В восточной части выхода среди них выделяется выклинивающаяся к северу полоса шириной около 2 км, сложенная лейкократовыми мелкозернистыми, реже среднезернистыми гнейсовидными граносиенитами и гранитами. Порфиробласти калиевого полевого шата в них полностью отсутствуют. Переходы между отмеченными группами пород постепенные. Северо-западный выход сложен только породами первой фациальной группы.

Гранодиориты представляют собой породы серого и светло-серого цвета. Гнейсовидная текстура их обусловлена плоскотаралльной или линейной ориентировкой порфиробластов калиевого полевого шата, кристаллов роговой обманки и иногда вытянутых зерен кварца. Порфиробласти имеют размер от 0,4 до 1,5 мм по длинной оси, содержание их достигает 5–8%. Породы сложены плагиоказом (40–50%), калиевым полевым шатом (25–35%), кварцем (15–25%), биотитом (3–5%), роговой обманкой (1–4%). Количество калиевого полевого шата и кварца местами очень не-постоянны. В одних случаях резко возрастает содержание калиево-го полевого шата при одновременном уменьшении количества кварца, в результате чего порода приобретает состав граносиенитов и даже сиенитов. Реже изменение пропорции калиевый полевой шат – кварц обуславливает отклонение состава пород в сторону гранитов. Участки развития этих фациальных разновидностей не могут быть показаны в масштабе карты.

Гранодиориты второй фациальной группы представляют собой породы светло-серого или розового-серого цвета. Качественный минеральный состав их аналогичен описанному выше, количественный – отвечает нормальному составу гранитов и граносиенитов. Текущие породы имеют гипоморфнозернистую и а. риморфнозернистую структуры, сочетаются с пойжилобластовой и катаклазической. Темнопретные компоненты обычно представлены биотитом и роговой обманкой ( $\Sigma V = 54^\circ$ ,  $cNg = 16-18^\circ$ ). Последняя часто замещается биотитом. Калиевый полевой шат повсеместно обнаруживает признаки вторичного минерала, образует как мелкие неправильные амбовидные выделения в основной ткани, так и крупные порфиробласти, насыщенные

обычно мелкими реликтовыми зернами плагиоклаза (олигоклаз № 20-24).

Все рассмотренные разности пород под микроскопом обнаруживаются одинаковый спектр аксессорных минералов, представленных рудным, сфееном, ашлагитом, ортитом и цирконом.

Отсутствие контактов описываемых пород с более древними образованиями затрудняет выяснение вопроса генезиса их. Такие особенности, как наложенная интенсивная фельдшпатизация и резкое нестабильство количественных минеральных соотношений позволяют предполагать, что в их формировании существенное значение имело метасоматическое замещение более ранних образований, участкам, по-видимому, претерпевших частичное переплавление. Ввиду интенсивного проявления процесса замещения, судить о составе исходных пород не представляется возможным.

Данные силикатного анализа роговообманково-биотитовых граносиенитов и гранитов (см. табл. I, анализы 5, 6) свидетельствуют о своеобразном химизме пород. Высокое содержание шелочей при низком количестве кальция сближает их со шелочными гранитами и сиенитами по Р.Дэли. В то же время, по содержанию кремнезема они более стоят к щелочноzemельным гранитам и гранодиоритам. Отмечена особенность химического состава пород может служить дополнительным доказательством существенной роли метасоматических процессов при их формировании.

Биотитовые, амфилоловые граниты ( $r_2$  Pt<sub>1</sub>)  
гнейсо-граниты, плагиограниты, гранодиориты  
и граносиениты ( $r_2 - r_3$  Pt<sub>1</sub>)

Рассматриваемые гранитоиды являются наиболее широко распространенными породами района. Площадь сложенных ими выходов измеряется сотнями квадратных километров. Наиболее крупные из них расположены в пределах Мокинского хребта, в бассейнах рек Дикте и Окты, Бурулы и в долине р. Найденки. Наблюдаемые гнейсоидные и полосчатые текстуры, а также ориентировка ксенолитов и скапулитов более древних образований показывают, что на большей части территории тела описываемых гранитоидов имели северо-восточное, иногда близкое к меридиональному простирание, согласное с раннепротерозойским дислокационным планом. Иначе залегают тела, расположенные в юго-восточной части района в пределах крупного (250 км<sup>2</sup>) выхода в осевый части Мокинского хребта, имея северо-западное согласное с архейским простирание. В пре-

делах этого же выхода откартировано два гранито-гнейсовых купола, ориентированных лигнитами оси в северо-западном направлении. Эти факты позволяют предполагать, что структуры описаннных гранитоидов определяются, с одной стороны, пликативными и дисъюнктивными раннепротерозойскими листоискажениями, с другой — наследствами структурный план архей, в местах наименьшей переборки последних.

В описываемой группе гранитоидов нам выделяются три типа пород: метасоматические, реоморфические и магматические. Они часто чередуются между собой и нередко обладают сходными признаками, что затрудняет детальное их расщепление. На геологической карте выделены только крупные поля с преобладающим развитием в той или иной генетической разновидности. Участки преобладающего развития метасоматических разностей показаны как порфиробластические, реоморфические гранитоиды — как гнейсовидные и частично порфиробластические. На полях развития магматических гранитоидов структурных значков нет.

М е т а с о м а т и ч е с к и е г р а н и т о и д ы широки по развитии в юго-западной частиплощади. Крупный выход их протягивается непрерывной полосой шириной 2–10 км в северо-восточном направлении от р. Найденки до р. Буричи. По составу среди них выделяются биотитовые, иногда с амфиболом граниты, гнейсты, гранодiorиты, редко граносенинты. Это неравномернозернистые, большей частью грубо порфиробластические отчетливо гнейсовые породы серого или розовато-серого цвета с мелко- и среднезернистой основной тканью. Порфиробласти представлены калиевым полевым шпатом. Размер их колебается от 0,4 до 5 см, а содержание — от 3–5 до 60% объема породы. Соответственно описаны лиоригтами свидетельствующими о преобладающем значении их формирования процессов метасоматического замещения. При этом в длиоригтах появляются, постепенно количественно возрастают, порфиробласти калиевого полевого шата и увеличивается содержание кварца, т.е. породы становятся более лейкократовыми. Одновременно роговая обманка в значительной степени замещается биотитом. Пол. микроскопом во всех разностях гранитоидов данного типа устанавливаются различия исходных пород. Их основная ткань неотличима от лиоригтов и кварцевых лиоригтов и обладает гликоморфно-зернистой структурой. Но чаще она представлена блестящими пакетами, состоящими из сланцеватого мелкозернистого гранитоидного блесткового блок-вари-полевощатового агрегата, в котором

сохраняются реликтовые зерна или скопления зерен первичного плагиоклаза. Отмечается повышенное содержание кварца, нередко образующего сравнительно крупные мономинеральные скопления. Порфиробласти калиевого полевого шата процессом ольстокатаклизма не затронуты. Разности с ольстокатаклизитовой основной тканью преобладают. По-видимому, становление этих гранитоидов было приурочено к молчай зоне катаклизма и рассланцевания.

Значительно отличаются от вышеописанных метасоматические гранитоиды, слагающие круглый выход в верховых рек Буруны и Чандукса. Это довольно однообразные слабо гнейсовые, участкам почти массивного сложения породы, содержащие в количестве до 10% порфиробласти калиевого полевого шата размером от 0,4 до 1 см, редко до 2 см. Среди них установлено несколько петро-графических разностей, что обусловлено вариациями содержания калиевого полевого шата, обнаружившего признаки метасоматического развития, и кварца. Незначительно фельдшпатизированные разности по составу отвечают биотитовым плагиогранитам. Их гипидоморфозернистая с элементами призматически-зернистой структура в различной степени усложнена метасоматическими преобразованиями. Плагиограниты сложены плагиоклазом (олигоклаз № 22–28, 55–70%), кварцем (25%), биотитом (4–10%), калиевым полевым шпатом (2–12%), образующим в основном порфиробласти. Иногда отмечается значительное понижение содержания кварца и породы по составу приближаются к квадровым дюоритам. При нарастании процесса фельдшпатизации плагиоклазы переходят в порфиробластические гранодiorиты и граниты. Аксессорные минералы всех этих пород представлены рутилом, сцинтом, ортитом. Весьма однородный облик гранитоидов рассматриваемого выхода позволяет считать, что они образовались по довольно однородному субстрату, которым являлись, по-видимому, породы, слизкие к плагиогранитам.

Метасоматические граниты устанавливаются также в контактовых зонах раннепротерозойских массивов, сложенных гранитоидами других двух типов, и в составе гранитных прослоев мимматитов. Р е о м с ք ֆ ի չ է ս կ ի է գ ր ա ն ի տ օ լ ի չ լ ա գ ա լ ա յ թ преобладающую часть выходов в бассейнах рек Окты, Дикта и в Межгорье Моктинского хребта, крупные выходы в долине р. Олон-но, в Межгорье Бушуки — Кашкакана, а также ряд мелких тел на других участках. Это мелко-среднезернистые породы желтоватого, розовато-серого и светло-серого цвета. Для них характерно широкое развитие гнейсовидных и полосчатых, а также слоисто-параллельных теневых текстур, наличие многочисленных складок

дальнейших образований. В полях их развития наблюдается не-

закономерное чередование пород различного внешнего облика. По составу реоморфические гранитоиды соответствуют биотитовым гранитам. Содержание биотита колеблется от единичных чешуек до 10%, но обычно составляет 2–3%. Структура пород гетерогранобластовая с элементами аллограноморфозернистой, гипсоморфозернистой и микрографической. В этих гранитах наблюдаются участки с микро-гранобластовыми агрегатами, окруженные более поздними выделениями кварца. Кроме того, присутствуют и киммортной формы зерна патоклаза и кальевого полевого шпата, которые могут выделяться при кристаллизации расплава, содержащего часть вещества, не прошедшего стадию шавления.

Между реоморфическими и метасоматическими гранитоидами в большинстве случаев наблюдаются постепенные переходы. Иногда, в частности на правобережье р. Найды, граниты, относимые к группе реоморфических, занимают отчетливо скучее положение к ориентировке гнейсовидности и сланцеватости метасоматических гранитоидов, прорывая последние. Вероятно, пластичные массы вещества, из которого формировались реоморфические граниты, на некоторых участках испытывали перемещения.

М а г м а т и ч е с к и е Т р а н и т и развились в центральных частях гранито-гнейсовых куполов. Они представляют собой массивные, реже слабо гнейсовидные мелко- и среднезернистые породы серого и светло-серого цвета, состоящие из примерно одинакового количества патоклаза (средний олигоклаз), кальевого полевого шпата и кварца при содержании биотита от 0,5 до 5%.

Среди акцессорных минералов встречаются рутил, апатит, шпинел, сфен, ортит. Структура гранитов этой группы гипсоморфозернистая и аллотриморфозернистая. С реоморфическими гранитоидами они имеют постепенные переходы. На соседней с востока территории (Озерский и др., 1966) известны интрузивные соотношения матматических гранитов с реоморфическими.

Связанная с рассматриваемой группой гранитоидов жильная серия представлена мелко- и среднезернистыми гнейкораковыми и облитовыми гранитами и пегматитами. Эти породы слагают многочисленные жилы и прожилки во всех более древних образованиях, в том числе и в описанных гранитоидах. Жилы ориентированы обычно согласно с полосчатостью или гнейсовидностью вмещающих пород, но нередко отмечаются и секущие тела. По структурным признакам и составу жилы жильной серии аналогичны гранитоидам матматического происхождения. Пегматиты имеют средне-, крупно и грубозернистое строение, ортотекитовую, реже графитическую структуру. Они состоят из полевого шпата и кварца, в незначительном коли-

честве отмечаются биотит, мусковит, магнетит, ортит, сфен. На геологической карте образование жильной серии не показаны из-за обилия их количества во всех более ранних породах и малых размеров тел.

Изучение химизма описанных гранитоидов показало, что по содержанию целочай и кремнезема они большей частью занимают промежуточное положение между целочказемельными и целочными гранитами по Р. Дэни (см.табл. I, анализы 7,8), а по насыщенности глиноземом ближе стоят к первым. Метасоматические граниты (анализ 9) по содержанию кремнезема и глинозема несколько отклоняются в

сторону пород грандиоритового состава.

Описанные группы пород основного, среднего, умеренно-кислого и кислого состава характеризуются общностью структурного плана сложных или тел. Как указывалось, породы среднего и кислого состава метасоматически развиваются по стратифицированным образованиям архея или имеют с ними рваные контакты. Подобный же характер контактов с архейскими образованиями установлен на соседней с востока площади (Озерский и др., 1966) и для умеренно-кислых пород. С нижнепротерозойскими отложениями в пределах площади листа соприкасаются лишь кислые породы. Нижнепротерозойские гнейсы и кристаллические сланцы наблюдаются в виде ксенолитов в тектониках гранитоидов и повсеместно замечено гранитизирование. Иногда в гнейсах и кристаллических сланцах встречаются прожилки гранитного состава, ориентированные под углом к текстурам вмещающих пород. На предельных территориях установлено, что основные и средние породы образуют в нижнепротерозойских отложениях различной мощности согласные тела, а умеренно-кислые в одних случаях метасоматически замещают их, в других – имеют рваные контакты (Озерский и др., 1966; Хандевич и др., 1967).

Вышеизложенное позволяет относить рассматриваемые образования к единому тектономагматическому циклу. Учитывая пространственную и структурную связь их с ранними протерозоидами, отмечающиеся повсеместно в сопредельных районах, можно предположить, что их формирование произошло в раннем протерозое.

Звягу того, что на данной площади нижнепротерозойские отложения развиты незначительно, сведения о положении выделенных групп пород в тектоническом цикле раннего протерозоя скучны. На сопредельных территориях группа средних – основных пород относится к докембрийским или раннескальческим образованиям, умеренно-кислые гранитоиды рассматриваются как складчатые, а

наиболее поздние кистевые гранитоиды — как складчатые, частично, возможно, позднеклассические (Озерский и др., 1966). Можно предполагать, что часть средних по составу пород второй группы генетически и во времени тесно связана с более поздними образованиями раннего протерозоя и представляет собой ранние продукты единоногого процессов гранитизации и матвообразования, приведших к формированию огромных масс гранитоидов. Совместно с последними они образуют разнообразную талую породу, весьма напоминающую выделенную Ю.А.Кузнецовым (1964) формацию гранитоидных батоглов пестрого состава, сочетающуюся с формацией мигматитов амфиболитовой фации. Только основные породы и отчасти тесно ассоциирующие с ними диориты, обладающие признакамимагматического происхождения, по-видимому, следует рассматривать как раннескладчатые образования.

#### РАННЕДАЛЕВОЗОЙСКИЕ ИНТРУЗИИ

Породы этого комплекса широко распространены в районе. Общая площадь их выходов составляет около 900 км<sup>2</sup>. Они слагают ряд массивов площадью 50–160 км<sup>2</sup> в бассейнах рек Тундак, Амунгакчи, Верх.Чолко, Калдачакчи, в среднем и верхнем течении р.Кавыктакан, в верховых р.Ойкта и на левобережной части басейна р.Джеловун. Несколько более мелких тел известно и в других частях территории. В пространственном размещении массивов и выходов устанавливается контролирующая роль крупных зон тектонических нарушений северо-восточного простирания. Так, например, Тундакский массив находится в южной Тундакско-Кавыктаканско-й зоне разломов, а Калдачакчинский массив — в Олекмо-Мокчаканско-й зоне.

Многие тела и массивы удлинены в северо-восточном направлении согласно с контролирующими их тектоническими нарушениями. Контакты их большей частью совпадают с линиями тектонических нарушений. В северо-восточных и юго-западных ограничениях массивы имеют не нарушенные интрузивные контакты, которые часто являются резко секущими по отношению к внутренним структурам вмещающих раннепротерозойских образований. Сочетание разновременных тектонических и интрузивных контактов обуславливает неправильную полигонально-угловатую форму массивов. Характер соотношения линий нормальных интрузивных контактов с элементами современного рельефа свидетельствует о крутом залегании контактных поверхностей.

Интрузивные тела отнесены к выделенным в регионе второй, третьей и четвертой фазам раннедалевозойского комплекса. Вторая фаза представлена биотитовыми и биотит-рогоовообманковыми, иногда с пироксеном диоритами, кварцевыми диоритами, паборо-диоритами, граносиенитами. К третьей фазе отнесены плутоны, сложенные лейкократовыми и биотитовыми, реже биотит-рогоовообманковыми гранитами, граносиенитами, сиенитами, граниторитами. В четвертую фазу формируются штоки лейкократовых биотитовых гранитов. Выделение трех фаз в комплексе основано на рядах взаимоотношений между ними. Ксенолиты средних по составу пород различных размеров и формы часто наблюдаются в гранитоидах третьей фазы в верховых рек Амунгакчи и Кавыктакан. В массиве гранитоидов третьей фазы на левобережной части бассейна р.Джеловун закартирован шток гранитов четвертой фазы, линии контакта которого складываются также породы жильной серии: микрографиты, гранит-порфирь, амплини, мелко-среднеэзеристые граниты, пегматиты. Резко преобладающими являются гранитоиды третьей фазы. Некоторые массивы (Тундакский, Калдачакчинский, Верхнеоинтинский) полностью сложены ими. Массив на левобережье р.Джеловун сложен гранитоидами третьей и четвертой фаз. В строении остальных массивов принимают участие породы второй и третьей фаз. При этом наиболее крупные выходы пород второй фазы приурочены к краевым частям массивов.

Биотит-рогоовообманковые, редко с пироксеном, биотитовые рогоовообманково-биотитовые диориты, кварцевые диориты ( $\delta_2$  Pz<sub>1</sub>), гранодиориты ( $\gamma\delta_2$  Pz<sub>1</sub>), габбро-диориты ( $\gamma\delta_2$  Pz<sub>1</sub>), граносиениты ( $\nu\delta_2$  Pz<sub>1</sub>)

Породы второй фазы комплекса распространены лишь в северной половине листа. Общая площадь выходов их составляет 60 км<sup>2</sup>. Они совместно с образованиями третьей фазы слагают массивы в бассейнах рек Амунгакчи. Верх.Чолко, в верховых р.Кавыктакан и, как правило, представляют собой различной величины (от долей до 15 км<sup>2</sup>) ксенолиты в более молодых интрузиях. Известны штульи несогласные по отношению к структурам вмещающих раннепротерозойских образований (тело в верховье р.Ирклирик площадью около 10 км<sup>2</sup>).

Обычно каждый отдельный выход сложен какой-либо одной пегматитической разновидностью с незначительным распространением других разностей, которые не могут быть показаны в масштабе

Амунакачи, в бассейне р.Кавыткан. Гранодиориты слагают тела в верховых левых притоков р.Джеловуна и правых притоков р.Чепку. В бассейне р.Кавыткан в одном из руслов развиты граносиенитами.

Тела, имеющие нормальные интрузивные контакты, обладают сладоньицким зональным строением, обусловленным появлением эндоконтактовых фаций мелковзернистых, как правило, более основного состава пород. Все породы обладают схожим качественным минеральным составом и связаны постепенными переходами. Наиболее большого количества петрографических разновидностей обусловлено значительными вариациями количественных содержаний породообразующих минералов. Преобладающей части пород присуще мелко-среднезернистое скелетное. Габбро-диориты и меланократовые диориты эндоконтактовых фаций обычно мелковзернистые до тонковзернистых. Текстура пород массивная, редко гнейсовидная. Гранодиориты и граносиениты часто обладают порфировидным строением. Они содержат до 15% порфиробластов калиевого полевого шпата, либо которых составляет 0,5–2,5 см, редко – 3,5 см. Окраска пород изменяется от темной зелено-серой в габбро-диоритах до светло-серой в граносиенитах.

Диориты, кварцевые диориты и гранодиориты имеют призматическая зернистую структуру. В габбро-диоритах встречается габбро-текстура, иногда судообразовая и пойкилобибитовая структура. В граносиенитах структура аллютироморфнозернистая, часты вторичные блокнические структуры.

Состав платиоклаза колеблется от андезина № 45 в габбро-диоритах до олигоклаза № 24 в граносиенитах. Основными темно-зелеными компонентами являются зеленая роговая обманка ( $\text{c}_{\text{Rg}} = 16-26^\circ$ ) и темно-бурый биотит. В разностях габбро-диоритового и диоритового состава иногда в незначительных количествах (редко до 10%) содержится моноклинный пироксен ( $\text{c}_{\text{P}} = 34^\circ$ ). Он замещается роговой обманкой и, по-видимому, бурым биотитом. Последний интенсивно развивается по роговой обманке. Калиевый полевой шпат представлен нерешетчатой разновидностью, часто развивается

по платиоклазу по образованию полных псевдоморфов. Вероятно, он в основном является наложенным минералом. Среди акессорных минералов преобладают магнетит, титанит, апатит, циркон, ортит.

Для характеристики химического состава выполнены силикатные анализы биотит-амфиболовых габбро-диоритов и диоритов, биотитовых гранодиоритов (см.табл. I, анализы 10, II, II). Для всех пород отмечается обогащенность щелочами по сравнению с близкими по составу породами по р.Деми.

Лейкократовые и биотитовые, реже биотит-рогообломниковые, двуслюдянные и мусковитовые граниты ( $\text{I}_3 \text{Pz}_1$ ), граносиениты ( $\text{I}_{\delta_3} \text{I-Pz}_1$ ), гранодиориты ( $\text{I}_{\delta_3} \text{Pz}_1$ )

Среди гранитолов третьей фации комплекса выделяется не- сколько фациальных групп, отражающих зональность массивов и различий зрациональный срез их. Центральные части массивов в бассейнах рек Каглакачи и Кавытканы сложены неравномернозернистыми средне- крупнозернистыми обычно порфировидными биотитовыми, иногда двуслюдянными гранитами массивной, реже гнейсовидной текстуры. В эндоконтактах такие граниты сменяются мелко-среднезернистыми биотитовыми и лейкократовыми, а в южном и юго-западном эндоконтактах Кетинакчийского массива – мусковитовыми гранитами. Ширина эндоконтактовой зоны иногда достигает 2–3 км в плане. В других массивах и выходах наблюдаются значительные вариации. В других массивах и выходах наблюдаются значительные вариации. В центральных частях их развиты в основном среднезернистые граниты, но нередко отмечается чередование сырья различной структуры от мелко- до грубовзернистой с постепенными переходами между ними. Текстура пород массивная и гнейсовидная. Часто гнейсовидная текстура является вторичной, обусловленной катагенозом. В эндоконтактовых зонах, в мелких телах и выходах породы также имеют мелко-среднезернистое скелетное. Преобладающими являются лейкократовые с биотитом граниты, в которых содержание биотита колеблется от полей до 3%. Спорадически встречаются более меланократовые разности (5–7% биотита). В них же появляется роговая обманка (2–4%). В различных частях выходов среди гранитов встречаются лейкократовые с биотитом и биотитовые, реже биотит-рогообломниковые граносиениты и сиениты. Обычно они слагают недомыши по площади участки, которые нельзя показать в масштабе карты. Лишь в центральной части массива в верховых р.Окты биотит-рогообломниковые граносиениты и сиениты слагают участок площадью около 10 км<sup>2</sup>. Иногда они постепенно переходят

в синенито-диориты. Иное строение имеет массив на левобережье р.Джеловун. В центральной части его развиты среднезернистые порфировидные биотитовые с роговой обманкой гранодиориты — Граносиениты (до  $1 \text{ км}^2$ ), окаймленные, очевидно, альпийской частью штуфона. Они постепенно переходят в средне-крупнозернистые порфировидные биотитовые граниты, окаймляющие выход гранодиоритов — Граносиенитов замкнутой полосой шириной от 0,8 до 3 км в плане. Средне-крупнозернистые порфировидные граниты постепенно сменяются небольшими гранитами, окаймляющими краевую фациальную зону этого массива.

Окраска лейкократовых и биотитовых гранитоидов желтовато-серая, разновато-серая и серая, иногда с сиреневатым оттенком. Роговообманково-биотитовые гранодиориты — граносиениты имеют серый цвет. Порфировидные выделения калиевого полевого шпата составляют 8–15%, размер их — от 0,6 до 2 см.

Породы имеют гранитовую и типично-морфнозернистую, реже аллотриоморфнозернистую структуру. В некоторых сиенитах и граносиенитах структура призматическойзернистая. В мелкозернистых гранитах эндоконтактовой фации Калдакачинского массива иногда наблюдается алигатовая структура с элементами пегматитовой. Отнесение пород к той или иной фации определяется вариацией в содержании главных породообразующих минералов: платиоклаза (5–65%), калиевого полевого шпата (5–85%) и кварца (0–30%). Основным темноцветным компонентом является бурый биотит (от долей до 7%, в гранодиоритах — до 15%). В некоторых разностях содержится до 5% роговой обманки ( $2v = 30^\circ$ ,  $cN\theta = 77^\circ$ ). Встречается мусковит (двусторонние и мусковитовые граниты). Из акцессорных минералов установлены магнетит, титанит, апатит, ильменит, турмалин, ортит. Платиоклаз представлен олигоклазом (№ 22–30). Ка-лиевый полевой шпат образует зерна двух генераций. Зерна первой генерации характеризуются небольшими размерами, четким ксеноморфизмом, хорошо выраженной микроклиновой решеткой. Перититовые вrostки и включении платиоклаза практически отсутствуют. Зерна калиевого полевого шпата второй генерации слагают порфировидные выделения, часто имеющие таблитчатую форму. Микроклиновая решетка не наблюдается или выражена очень нечетко. Обычно присутствуют перититовые вростки (до 40%) и нетравильные включения плагиоклаза. Возможно, этот калиевый полевой шпат является новообразованным и развился метасоматически преимущественно по платиоклазу.

Изучение химизма гранитов третьей фазы комплекса показало их близость к гранитам и альбигранитам по Р.Дэли (см.табл. I, анализы 13, 14, 15), от которых они отличаются несколько повышенной целочистостью. Проанализированный сиенит (анализ 16) по составу closelyокруглому нормаркуту.

#### Мелкозернистые Граниты (14 Рз1)

Граниты четвертой фазы комплекса слагают шток площадью  $3 \text{ км}^2$ , расположенный на левобережной части р.Джеловун. Это однородные мелко-среднезернистые породы светло-серого цвета. Текстура гнейсовидная, выраженная ориентированной тонкочешуйчатостью биотита. Содержание биотита не превышает 2%.

Большие образования комплекса представлены дайками микротектитов, гранит-диоритов, мелкозернистых и алигатовидных гранитов. Они приурочены к массивам гранитов третьей фазы комплекса и эндоконтактовым зонам их. Протяженность даек в некоторых случаях превышает 100 м. В районе Калдакачинского массива гранитылов кильные образования комплекса представлены мусковитовыми пегматитами. Строение их обычно крупноблоковое, реже встречаются более мелкозернистые разности с письменными структурами.

Рассмотренный комплекс является более молодым по сравнению с раннепротерозойскими образованиями. Об этом свидетельствует также наблюдавшиеся активные контакты. Так, в верховых р.Джеловун в габбро-диоритах второй фазы зафиксирован ксенолит угловатой формы размером  $10 \times 8 \text{ см}$  среднезернистых гнейсовидных биотит-амфиболовых кварцевых диоритов. Линия контакта почти под прямым углом срезает гнейсовидность последних. В бассейне р.Нену в гранодиоритах второй фазы встречен ксенолит раннепротерозойских гранитов угловатой формы размером  $5 \times 5 \text{ см}$ . Контакт резкий, кон тактовых изменений в породах визуально не отмечается. В бассейне р.Амугнакач в гранитоидах третьей фазы зафиксированы ксенолиты раннепротерозойских кристаллических сланцев и гнейсов. В зоне контакта гнейсы значительно гранитизируются и метаморфизируются, а граниты обогащаются биотитом (до 7–10%). Часто в гранитоидах комплекса наблюдались ксенолиты раннепротерозойских средних и основных пород, иногда интенсивно гранитизированных. В бассейне р.Кавыкакан в гранитах эндоконтактовой фации интрузии встречен ксенолит раннепротерозойских гнейсовидных биотитовых гранитов угловатой формы размером  $10 \times 5 \text{ см}$ . Контактовых изменений в пор-

Таблица 2

Абсолютный возраст интрузивных образований<sup>Х</sup>

дах не установлено. Верхняя возрастная граница комплекса определяется лишь рывущими соотношениями с ним образований триасового (?) амананского интрузивного комплекса, что наблюдалось в верховых рек Джеловун и Черная Сопка.

Определение абсолютного возраста пород калий-аргоновым методом показывает от 172 до 96 млн. лет (табл. 2, анализы I, 2, 3, 4, 5), что, очевидно, не соответствует фактическому возрасту.

На отдельных площадях выделяется аналогичный комплекс, занимающий такое же относительное возрастное положение. Формирование его по мнению исследователей происходило в раннем палеозое (Рокин и др., 1966; Пушкина и др., 1967). Это позволяет нам считать охарактеризованный комплекс также раннепалеозойским.

## ТРИАСОВЫЕ (?) ИНТРУЗИИ

## А М А Н А Н С К И Й И Н Т Р У З И В Н Ы Й К О М П Л Е К С

К амананскому интрузивному комплексу отнесены интрузии основных, умеренно-кистых и кистевых пород, слагающих тела трещинного типа, резко несогласные с древними структурами. Выделяются три интрузивные фазы: первая — оливин-пироксеновые, пироксеновые и пироксен-амфиболовые габбро, габро-диориты, биотит-амфиболовые диориты, кварцевые диориты, сенито-диориты, гранодиориты, граносенинты, амфибол-биотитовые и биотитовые граниты, сениты; вторая — биотит-амфиболовые кварцевые диориты, гранодиориты, граносенинты, амфибол-биотитовые и биотитовые граниты, сениты, гранодиориты, гранодиориты-порфириты; третья — лейкократовые биотитовые и алякситовые граниты. Со второй фазой связаны породы жильной серии, представленные гранодиорит-порфиритами, с третьей фазой — дацитами аллитов, гранит-порфиритами.

Породы перечисленных интрузий часто образуют единые зональные массивы, построенные породами второй-третьей фаз с постепенным фациальным переходами между разновидностями одной и той же фазы. Обычно более ранние и более основные породы тяготеют к краевым частям массивов, а более молодые и кистевые — к центральным.

Выходы пород амананского комплекса составляют около 1150 км<sup>2</sup>. Наиболее крупными из них являются Джеклангский массив — 340 км<sup>2</sup>, западная часть Глобчинского массива — 135 км<sup>2</sup> и Джеловунский массив — 130 км<sup>2</sup>. Значительная часть тем имеет площадь выходов от 40 до 70 км<sup>2</sup>. Они, как и упомянутые выше мас-

# про- бы	Геоло- гический возраст	Место взятия образца	Мине- рал, порода	K, %	$\text{Ar}^{40}/\text{Ar}^{39}$	$\frac{\text{Ar}^{40}}{\text{K}^{40}}$	Абсолют- ный возраст, млн. лет
6059	$\text{r}_3\text{Pz}_1$	Верховье р.Дайбочи	Биотит	6,47	78,7	0,01	172
429	$\text{v}_2\text{Pz}_1$	Бассейн р.Амур- наки	"	6,52	52,5	0,0066	115
682	$\text{r}_2\text{Pz}_1$	Бассейн р.Нену	"	6,10	55,5	0,00743	128
725к	$\text{r}_3\text{Pz}_1$	Левобере- жье р.Сред. Мокла	"	7,14	47,5	0,00547	96
484д	$\text{r}_3\text{Pz}_1$	Бассейн р.Кавик- такан	"	7,06	53,6	0,0062	108
4280	$\text{r}_2\text{T?}^a$	Бассейн р.Джек- пот	"	6,56	70,6	0,00883	152
4923	$\text{r}_2\text{T?}^a$	Верховье р.Джек- пот	"	7,03	54,5	0,00635	110
6709а	$\text{r}_3\text{T?}^a$	Правобе- режье р.Сред. Мокла, ни- же устья р.Барыня	"	7,08	62,3	0,0072	125
686к	$\text{r}_3\text{T?}^a$	Бассейн р.Нену	Гранит	3,79	28,7	0,0062	108
3070	$\text{r}_2\text{T?}^a$	Бассейн р.Бурнда	Биотит	7,06	92,0	0,0107	183
2631	$\text{r}_1\text{T?}^a$	Бассейн р.Дикта	"	6,77	38,5	0,00466	80
4845	$\text{r}_2\text{J-3}$	Бассейн р.Джело- вун	Гранит- порфир	3,90	28,1	0,0059	105
3015		Межгор- ье Верх. Анчара	"	3,61	31,7	0,0072	125

X Анализы выполнены в лаборатории абсолютного возраста Читинского ГГУ.

ствы, имеют полигонально-угловатые очертания в плане, а на некоторых участках — извилистые контуры. Известны и небольшие плютоны площадью от 0,5 до 15 км<sup>2</sup>. В плане это близкие к изометрическим или несколько удлиненные вдоль разломов тела. Сохранение прямолинейности контуров при пересечении различными элементами рефлекса и наличие крутых углов падения ориентированных текстур свидетельствуют о крутом погружении контактовых поверхностей. Не исключается параболообразная форма крупных массивов со сравнительно неглубоким залеганием подошвы при наличии узких пологих канавок. Это косвенно подтверждается "просвечиванием" из-под интузий линейных магнитных аномалий, фиксирующих протерозойские структуры (Сачунов и др., 1969).

Оливин-пироксеновые, пироксеновые и пироксен-амфиболовые габбро, габбро-диориты ( $\nu - \nu \delta_1 T? \alpha$ ), биотит-амфиболовые диориты ( $\delta_1 T? \alpha$ ), гранодиориты ( $\tau \delta_1 T? \alpha$ ), амфибол-биотитовые и биотитовые граниты ( $\tau_1 T? \alpha$ ), сиениты ( $\epsilon_1 T? \alpha$ )

Породы первой фазы аманаксского комплекса слагают Дикинский массив (70 км<sup>2</sup>) и ряд мелких тел в западной и северо-западной частях плосанды. Дикинский массив имеет концентрически-зональное строение, обусловленное последовательной сменой кислых пород, слагающих центральную часть массива, более основными, тяготеющими к его периферии. Выделяются следующие фации: биотитовые граниты (центральная фация), амфибол-биотитовые граниты — гранодиориты, биотит-амфиболовые гранодиориты и биотит-амфиболовые кварцевые диориты, диориты, сиенито-диориты (краевая фация). Граниты центральной фации имеют мелко-среднезернистую структуру и содержат редкие порфировидные выделения калиевого полевого шата размером 7–8 мм. Остальные породы обладают среднезернистым сложением. В гранодиоритах содержание порфировидных выделений увеличивается до 15–20%, а размеры — до 2 см, в кварцевых диоритах и сиенито-диоритах их количество вновь уменьшается до редких, а в диоритах они исчезают. В зоне эндоконтакта в диоритах появляется плоскостная ориентировка темнопиретных минералов.

Другое строение имеет интрузивное тело в верхних р.АМ-кунаках. Северо-западная часть его сложена сиенито-диоритами. В юго-восточной части этого тела преобладают биотит-амфиболовые гранодиориты, переходящие часто в граниты. Участками здесь развиты биотит-амфиболовые сиенито-диориты и сиениты.

Сиенито-диориты слагают также эндоконтактовые жилы шириной в первые десятки метров.

Третий тип зональности установлен в плютонах, расположенных на водоразделе рек Оймы — Найденки и в долине р.Берк-Каракористами пироксен-амфиболовыми габбро-диоритами, а краевая зона шириной до 50 м — тонкозернистыми биотит-пироксеновыми габбро-диоритами. В центральной части второго тела установлены крупнозернистые пироксеновые и пироксен-амфиболовые габбро, габбро-диориты, а в краевой зоне шириной 50–100 м — среднезернистые оливин-пироксеновые габбро. Остальные интрузивные тела первой фазы комплекса сложены какой-либо одной петрографической разностью пород.

Габбро и габбро-диориты — среднезернистые, реже крупнозернистые или мелкозернистые до тонкозернистых массивные породы темно-серого до черного цвета. Структура их габбровая с участками венценовой и келифитовой. Породы более кислого состава в большинстве своем имеют среднезернистое порфировидное сложение и цвет от темно-серого до розово-серого. Они обладают прismsатическими зернами, типичноморфозернистыми и гранитовыми структурами. Состав пород первой фазы комплекса определяется соотношением следующих породообразующих минералов: плагиоклаза (от лабрадора № 55 в габбро до олигоклаза № 22 в гранитах и сиенитах), оливина (состав: форстерита — 25%, фойлерита — 75%), гиперстена ( $2V = 50-58^\circ$ ,  $cNg = 9-II^0$ ), длюпсилла ( $2V = 48-(+60)^\circ$ ,  $aNg = 36-44^\circ$ ), роговой обманки ( $2V = 62-72^\circ$ ,  $aNg = 25-30^\circ$ ), биотита, калиевого полевого шата. Соотношения породообразующих минералов отвечают нормативным составам, согласно которым породы отнесены к тем или иным диагностическим разностям. Аксессорные минералы представлены пиритом, магнетитом, сфеноидом, апатитом, цирконом, редко орбитом. В габбро и габбро-диоритах иногда встречается еще шинель.

Породы первой фазы комплекса обладают повышенной щелочно-богатые щелочными (см.табл.1, анализ 17,20), слегка недосыщенные кремнекислотой и богатые щелочными (анализ 19), пересыщенные кремнекислотой и умеренно-богатые щелочными (анализ 18) породы. По Р.Дэли они приближаются к кварцевым габбро, щелочноземельным скелитам (анализ 20), нормаркитам и щелочным гранитам (анализ 18).

Биотит-амфиболовые диориты ( $\text{b}_2\text{T}^a$ ), кварцевые диориты ( $\delta_{\text{q}_2}\text{T}^a$ ), гранодиориты ( $\text{t}_2\text{T}^a$ ), граносиениты ( $\text{t}_5\text{T}^a$ ), амфибол-биотитовые и биотитовые граниты ( $\text{t}_2\text{T}^a$ ), спениты ( $\delta_2\text{T}^a$ ), гранодиорит-порфирь ( $\text{t}_5\text{p}_2\text{T}^a$ ), дациты гранодиорит-порфирь ( $\text{t}_5\text{p}_2\text{T}^a$ )

для гранодиорит-порфирь ( $\text{t}_5\text{p}_2\text{T}^a$ )

Перечисленные породы второй фазы комплекса слагают Джечла-чинский и Джаловунский массивы, разобщенные выходы в западной части Моклаканского массива и ряд более мелких тел. По строению и частично составу массивы разделяются на две группы. Первые имеют концентрически-зональное строение. Типичным среди них является Джекдачинский массив. Центральная часть его (площадь 10х14 км) сложена среднезернистыми порфировидными биотитовыми и амфибол-биотитовыми гранитами. Содержание темноцветных минералов в последних достигает 3–4%, кварца – 25–30%. Наиболее разнообразные разности содержат около 1% биотита и имеют крупнозернистое сложение. Биотитовые и амфибол-биотитовые граниты за счет повышения содержания темноцветных минералов (7–20%) и уменьшения количества кварца (до 20–25%) переходят в биотит-амфиболовые граниты и гранодиориты, которые опоясывают центральную часть массива полосой шириной от 2 до 7 км. Последние перекходят в биотит-амфиболовые гранодиориты – кварцевые диориты, слагающие краевую северо-восточную часть массива в виде полосы шириной от 0,5 до 2 км. При этом содержание темноцветных минералов увеличивается до 30–35%, а количество кварца уменьшается до 10%. При переходе от гранитов к кварцевым диоритам содержание порфировидных выделений сокращается от 15–20% до единичных, а их размеры уменьшаются от 10–30 до 5–7 мм. В эндоконтактовой зоне кварцевые диориты приобретают мелко-среднезернистое сложение и гнейсовидную текстуру. Аналогичное строение имеет Мокланский массив.

Тогда другой группы сложены биотит-амфиболовые гранодиориты и граниты, состав которых нередко отклоняется в сторону граносиенитов и спенитов. Часто фиксируются эптоконтактовые зоны шириной в первые десятки метров, образование гранодиорит-порфиритами. Порфировые выделения каменного полевого шпата наблюдаются во всех фациях. В порфировых выделениях гранодиорит-порфиритов кроме него появляются плагиоклаз и в незначительных количествах кварц, биотит и амфибол. Количество порфировых выделений варьирует от 20% в гранодиоритах до 50% в гранодиорит-порфирах, а размеры порфировых выделений каменного полевого шпата

колеблются от 2 см в гранодиоритах до 7–8 мм в гранодиорит-порфирах. Содержание темноцветных минералов в последних составляет 1–2% по сравнению с 7–20% в гранодиоритах. Гранодиорит-порфирь, аналогичные гранодиорит-порфирям эндоконтактовых зон, слагают ряд даек северо-восточного простирания мощностью до 50 м на правобережье верхнего течения р. Тундак.

Для гранитоидов второй фазы комплекса характерны среднезернистое порфировидное сложение и массивная текстура. В зонах эндоконтактов отмечается плоскостная ориентировка темноцветных минералов. Структура пород глидиморфно-зернистая и гранитовая. Основность плагиоклаза возрастает от олигоклаза № 23–28 в гранитах и граносиенитах до андезина № 35–43 в кварцевых диоритах. Калиевый полевой шпат обычно имеет решетчатое строение. Роговая обманка ( $\text{2V} = -60$ – $-63.5^\circ$ ,  $\text{cNg} = 20$ – $25^\circ$ ) имеет зеленую окраску, а биотит – темно-коричневую. Аксессорные минералы представлены магнетитом, пиритом, сфеноидом, апатитом, цирконом, реже орбитом.

Гранитоиды второй фазы комплекса обладают повышенной щелочностью. Среди них выделяются сладо пересыпаные кремнекислотой и богатые щелочами (анализы 21, 22), пересыпаные кремнекислотой и умеренно-богатые щелочами (анализы 25, 26). Часть из них по составу занимает промежуточное положение между нормарктитами и гранодиоритами по Р.Дэни (анализы 21, 23). Другая часть по составу приближается к щелочным гранитам (анализы 25, 26).

### Лейкократовые биотитовые и амфиболовые граниты ( $\text{t}_3\text{T}^a$ )

Граниты третьей фазы амананского комплекса шире всего развиты в западной части Колбачинского массива ( $135 \text{ km}^2$ ) и в верховых р. Неню ( $70 \text{ km}^2$ ). Несколько более мелких выходов их площадью от 5 до  $40 \text{ km}^2$  известно в других местах платошета. Центральные части тел слагают среднезернистые до крупнозернистых, иногда порфировидные граниты. В эндоконтактовых зонах они сменяются мелкозернистыми албитовидными гранитами и амфиболами, иногда переходящими в гранит-порфирь. Распространение эндоконтактовых разностей в пределах каждого тела зависит от характера кровли и величины эрозионного среза.

Граниты имеют светло-серую и розовато-серую окраску, массивную текстуру. В порфировидных гранитах вкрашенники представлены калиевым полевым шпатом. Количество их достигает 5%, размер – 2–3 см. В гранит-порфирах вкрашенники сложены квар-

цем и калиевым полевым шпатом и составляют до 10–15%. Структура пород гипидиоморфозернистая, гранитовая, реже амлоториоморфно-зернистая и ампелитовая. Они состоят из плагиоклаза (олигоклаза № 23–28) – 20–40%, нередко чешуйчатого калиевого полевого шпата – 25–50%, кварца – 30–35%, биотита – от единичных зерен до 5%. Аксессории представлены магнетитом, апатитом, цирконом, редко сурьменом и орбитом. По химическому составу граниты относятся к пересыщенным кремнекислотой и богатым цепочками пород (см. табл. I, анализы 27, 28, 29, 30). По Р.Дэни они близки к альбоситам и гранитовым ампелитам (анализы 27, 28) или щелочным гранитам (анализы 29, 30).

С гранитами третьей фазы комплекса связана жильная серия пород, представленная мелкозернистыми лейкогранитами с биотитом, гранитами, ампелитами и гранит-порфирями. Даики различно ориентированы, обычно ветвящиеся. Мощность их – от первых сантиметров до 5–7 м. Даики локализуются главным образом в массивах второй и третьей фаз комплекса.

Выделение трех фаз в составе амананского комплекса основано на наличии ряда взаимоотношений между описанными ассоциациями пород. В западной и северо-западной частях Джеловунского массива в гранодиоритах – граносенинтах второй фазы содержатся многочисленные ксенолиты биотит-амфиболовых диоритов первой фазы. Амфибол-спотитовые гранодиориты – граносенинты второй фазы образуют в диоритах выклинивающиеся жилы. Факты прорывания гранитами третьей фазы пород первой и второй фазы устанавливаются повсеместно.

Резко несогласный характер массивов амананского комплекса по отношению к структурам вмещающих пород, трелинний тип локализации, наличие мелкозернистых фаций в эндоконтактах и порфиро-вые фации пород жильной серии свидетельствуют о том, что формирование интрузии связано с крупными расколами фундамента и происходило в гипабиссальных условиях. Внедрение жилья различного состава было сближенным во времени. В процессе развития математического плана происходила закономерная смена жилья от основного до умеренно-жилого и кислого. Зональное строение отдельных тел, сложенных породами одной фазы, объясняется дифференциацией маты на месте.

Возрастное положение комплекса определяется тем, что породы его прорывают все математические образования докембрийского возраста, что фиксируется при плашадном картировании по несогласному характеру массивов, наличию эндоконтактовых зон и не-

посредственными наблюдениями над контактами. Прорывание породами первой фазы амананского комплекса гранитов третьей фазы раннепалеозойского комплекса наблюдалось в верховых р. Амуннакачи, где последние слагают угловатые ксенолиты в амфибол-биотитовых граносенинтах. На соседних территориях установлено, что породы амананского комплекса прорывают граниты раннепалеозойского комплекса и перекрываются эфузивами средней – верхней юры (Озерский и др., 1969; Федоренко и др., 1965); Пушка и др. (1967). Определения абсолютного возраста пород комплекса кали-аргоновым методом дают цифры от 183 до 80 млн. лет (см. табл. 2, анализы 6, 7, 8, 9, 10, 11). Аналогичная картина наблюдается и на обширной территории Олекмо-Витимской горной страны, где эти значения колеблются от 270 до 110 млн. лет, хотя большинство их соответствует триасу – эре. Учитывая вышеизложенное, возраст амананского интрузивного комплекса условно считается триасовым.

### Средне-познегорский комплекс

**Гранит-порфирь ( $\gamma\mu J_{2-3}$ ), даики гранит-порфиров ( $\gamma\mu J_{2-3}$ ), микродиоритов, диоритовых и кварцевых диоритовых порфиритов ( $\delta\mu J_{2-3}$ )**

Гранит-порфирь образуют даики и штоки удлиненной или неправильной в плане формы. Большинство даек расположено в верховых р. Чокчокол и в верховых р. Каракит. Они образуют полосы северо-восточного простирания шириной 4–5 км. Трубы даек расположены в верховых рек Амуннакачи и Сайбочи. В других местах даики гранит-порфиров встречаются эпизодически. Даики имеют преимущественно северо-восточное простирание и мощность от 2–3 до 10 м. Длина их обычно не превышает 100 м. Для единичных даек установлена мощность до 50–70 м и протяженность до 2 км (верховые реки Бурунды, Сайбочи). В бассейне р. Каракит и верховых рек Бурунды, Чопко, Аначара и Мал. Джурата закартированы штоки гранит-порфиров удлиненной формы. Размеры выходов их – от 0,2x1,5 до 0,5x5 км. Простижение северо-восточное, реке северо-западное. Штоки неправильной формы известны в верховых рек Сред. скольких квадратных километров известны в верховых рек Моклы, Мал. Джурала, Амуннакты. В междуречье Чопко – Джеловуна расположены наиболее крупный (70 км<sup>2</sup>) шток этих пород.

Гранит-порфирь – породы розовато-серого и темно-серого цвета. Они содержат до 30–40% вкрашенников размером от 0,2 до

5,5 мм, представленных кварцем, плагиоклазом № 22-27), калиевым полевым шпатом. Часто вкрашенники имеют идноморфную форму. Структура основной массы микрогранитовая, микрографическая, сферолитовая и микрофельзитовая.

Дайки, сложенные срелими по составу породами, встречаются в небольшом количестве в пределах всей площади. Простирание их северо-восточное и северо-западное, мощность от 2-3 до 25 м.

Длина не превышает первых десятков метров. Лишь дайка диоритовых порфиритов на правобережье р.Бушути прослеживается на расстояние 1 км. По составу породы соответствуют роговообмаковым и биотит-роговообмаковым микродиоритам, диоритам и кварцевым диоритовым порфиритам. Цвет их зеленовато-серый или темно-серый. Структура айдиоровая или порфировая. В порфировых разностях количество вкрашенников колеблется в пределах 2-5%, достигая иногда 10%. Они сложены андезитом № 32-48, роговой обманкой и биотитом. Основная масса гипидроморфистая, призматическая-зернистая и диадазовая. Она состоит из микролитов плагиоклаза (андезина), роговой обманки, биотита и акцессориев: магнетита, аллютита, сфена. Количество последних ложится 2-3%. В кварцевых диоритовых порфиритах присутствуют кварц и калиевый полевой шпат.

По химическому составу (см.табл. I, анализы 31,32) граниты-порфириты относятся к пересыщенным кремнекислотой и бедатим плагиоклазами пород и близки к ампелитовым гранитам по Р.Дали. Химические анализы группы средних пород (анализы 33,34) показывают, что они слабо пересыщены или насыщены кремнекислотой, бедны щелочами и по составу близки к диоритам по Р.Дали.

Для описанных образований установлен лишь нижний возрастной предел: они прорывают амантакского комплекса. Определение абсолютного возраста гранит-порфиров (см.табл.2, анализы 12,13) дали цифры 105-125 млн. лет. Учитывая широкое распространение в Восточном Забайкалье близких по составу гипабиссальных образований средне-позднеюрского и юрского возраста, возраст описанных субвулканических пород условно датируется средней - поздней юрой.

#### РАННЕПЕРОЗОЙСКИЕ ИНТРУЗИИ

##### Ампелитовые порфириты (арх. № 1)

Немногочисленные дайки андезитовых порфиритов сосредоточены в полосе шириной 8 км, вытянутой в северо-восточном направлении от руч.Беселый до верховий р.Амунахи. Они имеют мощность

1-2 м. Андезитовые порфириты - темно-бурые до черных породы с порфировой структурой. Вкрашенники, составляющие 5-10% объема породы, представлены андезитом № 46, реже моноклинным пироксеном и рудным минералом. Основная масса имеет гипидроморфистую и ритмическую. Аксессорные минералы: магнетит и ашпат.

Возрастное положение андезитовых порфиритов не ясно. Установлено, что они прорывают гранитоиды второй фазы амананнского комплекса. К юго-востоку от района работ в Тунгирской Глыбесии (Озерский и др., 1969) установлено прорывание андезитовыми порфиритами верхнеюрских - нижнемеловых отложений.

Заканчивая характеристику интрузивных образований, остановимся на определении принадлежности их выделяемым метаморфическим формациям. Среди архейских интрузивных и ультраметаморфических образований, учитывая их состав и геологическую обстановку формирования (тесная связь с комплексом, метаморфизованном в условиях гранулитовой фации) выделяются спилито-диабазовая формация (ампелиты) и формации митматитов фации гиперстеновых пнейсов и связанных с ними чарнокитов (граниты и гранито-гнейсы). Раннепротерозойские метаморфические образования среднего - основного состава (спилиты, габбро, амортозиты, габбро-диориты) характеризуются значительной вариацией состава, что сближает их с габбро-диорит-диадазовой формацией. Умеренно-кислые (гранодиориты, граносениты) породы раннего протерозоя имеют в основном ультратектическое происхождение. В их формировании основную роль имеет процессы метасоматоза в условиях регионального метаморфизма амфболитовой фации. Это позволяет отнести раннепротерозойские гранитоиды к митматит-гравитовой формации.

Раннепалеозойские интрузии трещинного типа сформированы в три фазы: среднего - основного состава породы ранней фазы и кислые - более поздних двух фаз. Образования каждой фазы характеризуются значительными вариациями петрографического состава. Дайковые породы развиты незначительно. По указанным признакам раннепалеозойские интрузивные образования больше всего соответствуют габбро-диорит-гранодиоритовой формации.

Отличительными чертами интрузий триасового (?) амананского комплекса являются весьма пестрый петрографический состав, варьирующий от габбро до сенинтов, повышенная щелочность, обусловившая широкое развитие сенит-диоритовых и граносенитовых фаций, и многообразность. В составе щелочей преобладает калий.

Такие признаки являются наиболее характерными для габбро-менингит-сиенитовой формации.

Интрузивные образования средне-позднерифского субулканнического комплекса имеют все признаки формации субулканнических гранитов. Они образуют небольшие тела, сформирование в приповерхностных условиях, сложенные породами юрбазитового облика. На сопредельных площадях устанавливается тесная связь их с позднекорскими юрбазитами кислого состава.

Раннемеловые (?) андезитовые породы принадлежат, очевидно, андезитовой формации. На сопредельной площади в Тугицской депрессии известны их юрбазитовые аналоги (Рокин и др., 1966).

## ТЕКТОНИКА

Территория расположена в западной части Алдано-Витимского шита (Лазыко, 1956), в пределах складчатой области Становника-Джунгары, завершившей геосинклинальное развитие в раннем протерозое. В раннем палеозое и в мезозое район явился ареной активизации тектоно-магматической деятельности, проявившейся во внутренних крупных трещинных интрузий разнообразного состава. В формировании сложных систем разрывных нарушений. В позднем мезозое сформировалась Верхний структурный этаж.

В строении локоморийского фундамента принимают участие архейские и раннепротерозойские образования, слагающие два самостоятельных структурных этажа. Изучение особенностей их строения затруднено виду чрезвычайно широкого проявления разновозрастных ультраметаморфических и магматических процессов. Архейские образования, слагающие комплекс основания раннепротерозойской геосинклиниали, развиты в юго-западной части территории, которая входит в состав Моклаганской глыбы архея, обладающей некоторыми чертами, характерными для срединных массивов (Шульдинер, Озерский, 1967; Шульдинер и др., 1968). Северо-западная граница этой глыбы, судя по расположению выходов архея и нижнего протерозоя на территории листа и сопредельных площадях, проходит от верховьев р. Буруны к верховьям р. Кавыктакан (см. рис. I). Известные севернее ее нижнепротерозойские отложения сформированы уже в пределах Каллаганского синклиниория (Шульдинер, Озерский, 1967).

Архейские складчатые структуры протогеосинклинального (по Е.В. Гавловскому) этапа развития имеют северо-западное и близкое

к широтному простирание, характерное для всех известных выходов архея в Забайкалье. Примером структур северо-западной ориентировки ( $295-320^{\circ}$ ) может служить Каракитская антиклиналь. Адреево прослеживается по выходам иминской свиты в бассейне р. Каракит и на водоразделе рек Булуги - Иркинран, на крыльях развиты образования чадорской свиты. Размах крыльев складки превышает 10 км. Ее широкое юго-западное крыло осложнено, по всей вероятности, складками более высоких порядков, иногда опрокинутыми, с углами падения крыльев  $50-80^{\circ}$ .

Фрагменты субширотной Заклаганской синклинали запад-северо-западного простирания изучены в Междуречье Найленки - Каллаганчи и на сопредельной с ней территории. На площади листа расположено ее северное крыло и участок центроклинического замыкания, в значительной степени нарушенные при внедрении массива раннепалеозойских гранитов. В строении складки принимают участие породы шургунской и чадорской свиты, простирание слоев которых меняется в западном направлении от  $290$  до  $00$ . Углы падения слоев составляют  $60-70^{\circ}$ , а ближе к внутренней части синклинали выпадают до  $45-30^{\circ}$ . Субширотные и северо-западные простирания слоев устанавливаются и в других выходах архея в бассейне р. Верх. Моклы. Вливаются в складчатые структуры и небольшие по размерам пластовые тела архейских амфиболитов и гранитоидов.

Пликативные структуры раннепротерозойского этажа, сформировавшегося в геосинклинальный этап развития района, виду крайне ограниченного распространения отложений этого возраста не могут быть расшифрованы. Небольшие ксенолиты нижнепротерозойских гнейсов и кристаллических сланцев имеют северо-восточную ( $50-70^{\circ}$ ) ориентировку, совпадающую с направлением складчатых структур в южной части Каллаганского синклиниория (Шулька и др., 1967; Чапкиевич и др., 1967).

На всей площади листа широко развиты раннепротерозойские интрузивные и ультраметаморфические образования, принадлежащие формации батомитов пестрого состава и митматитов амфиболитовой формации. Их тела обнаруживают зависимость элементов внутренней тектоники от общей структуры протерозоя. В пределах распространения этого комплекса выделяются две зоны, различающиеся по структурному плану. На большей северо-западной части изученной площади устанавливается более или менее выдержанное северо-восточное, местами по меридиональному направлению выходов шпунтовых образований, отвечающее генеральному раннепротерозойскому структурному плану региона в целом. Линейность структур иог-

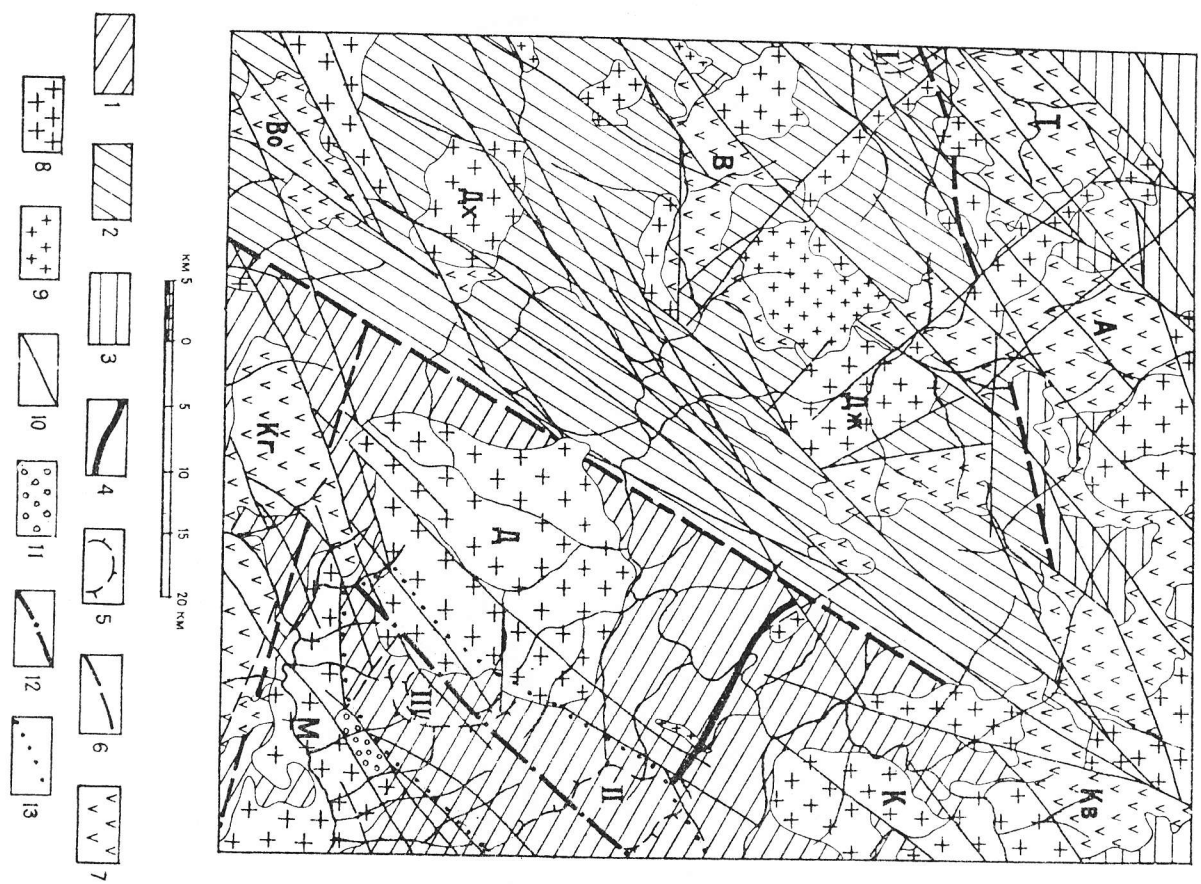


Рис. I. Схема геологических формаций  
этапа активизации

1 - участок Мокланскої глиби архея, устойчивый и складча-  
тым движением раннего протерозоя; 2 - участок Мокланскої гли-  
бы архея, полностью переработанный раннепротерозойской складча-  
тостью; 3 - ранние протерозойские складки Калгачского антиклинария; 4 -  
ось Каралитской антиклинали архейского структурного этапа; 5 -  
раннепротерозойские гранито-гнейсовые куполы (на схеме); 6 - предпола-  
гаемые разрывные нарушения раннепротерозойского заложения; 7 -  
раннепалеозойские интрузии габбро-диорит-гранодиоритовых форма-  
ций: Тунлянская зона: Т - Тунлянский массив; КГ - Кавиктаиский  
массив, В - Верхнеомитский массив. Мокланский зона: ВО -  
Верхнеомитский массив, КГ - Каглачий массив; 8 - ранне-  
мезозойские интрузии габбро-монадонит-сиенитовой формации: Д -  
Джеловучий массив; М - Мокланский массив; К - Колбочинский  
массив; ДЖ - Джеевучий массив; ДХ - Дыхтинский массив; 9 -  
позднемезозойские интрузии формации субулуванических гранитов;  
10 - разрывные нарушения раннепалеозойского и мезозойского этапов  
развития; II - молассоидная формация позднемезозойского этапа;  
12 - осевая линия Моклинского горста; 13 - граница  
Моклинского горста

да нарушается куполовидным поднятием. Так, в междуречье Чан-дукола – Бурунды по замерам гнейсовидности и конфигурации выходов различных пород закартирована восточная часть Бурундского купола, выделенного В.И.Шулкой (1967). Купол диаметром 16–18 км имеет в плане близкую к изометричной форме и характеризуется крутыми утлами падения крыльев.

Другая картина наблюдается в юго-восточной части района, где развиты архейские стратифицированные образования. Тела раннепротерозойских гранитоидов на этой площасти наследуют направление структур архейского этапа складчатости. Показательным в этом отношении является крупный выход гранитоидов раннего протерозоя в пределах Мокланского хребта. При северо-восточной ориентировке выхода в целом, что обусловлено более поздними блоковыми перемещениями, наблюдается северо-западное простирание структурных элементов, полностью подчиненное лислокационному плану архейского комплекса. Такое удлинение имеют, в частности, Амутинский и Мокланский гранито-гнейсовые купола. Ядра их размером до 12x7 км сложены массивными гранитами заключительно этапа раннепротерозойского ультраметаморфизма и магматизма, периферийные части – отчетливо гнейсовидными гранитоидами, насыщенными пластовыми и линзовидными ксенонитами и скапилитами более ранних образований.

Наблюдаемые различия в особенностях структурного плана могут быть объяснены тем, что северо-западная часть площасти в раннем протерозое была полностью переработана складчатыми движениеми, в то время как юго-восточная часть представила собой более устойчивый жесткий блок. Граница между этими участками проходит от бассейна р.Найденки в северо-восточном направлении, примерно совпадая ниже устья р.Джетдачи с полиной р.Сред.Мокта. Здесь, по-видимому, существовала крупная тектоническая зона, наличия которой свидетельствует следующие данные. Развитые в северо-восточной части ее в междуречье Булучи – Кавыктакан кристаллические сланцы иминской свиты архея, как показывает изучение шлифов, нередко превращены в бластокатализиты и бластомилониты. В береговых обнажениях р.Сред.Мокты и в среднем течении р.Кавыктакана установлено, что по таким бластокатализитам и бластомилонитам метасоматически развиваются раннепротерозойские диориты. К этой зоне приурочены и наиболее крупные выходы раннепротерозойских матматических пород основного и среднего состава. Последние на участке зоны между долинами рек Найденки и Верх.Кавыктакана часто катаклизированы и рассланцованны.

В юго-западной части характеризуемой зоны закартированы крупные пологие раннепротерозойских метасоматических породы-областиических гранитоидов, в которых почти повсеместно встречаются неполностью переработанные пролессами метасоматоза реликты катаклизированных и рассланцованных диоритов. Вероятно, что формирование таких крупных масс метасоматических гранитоидов, развившихся по диоритам, также обусловлено существованием здесь в раннем протерозое тектонически ослабленной зоны.

Крупная раннепротерозойская зона нарушения существовала и в северо-западной части площасти на границе Мокланской глыбы архея и Каланско-Сынекинория. Но она полностью залечена раннепротерозойскими и более поздними интрузивными образованиями. О ее наличии и положении в современном зонационном срезе в некоторой мере свидетельствуют выходы раннепротерозойских габбро и диоритов, прослеживающиеся в полосе близкого направления от долины р.Чаншук в Верховья р.Кавыктакан. Примерно с этой же полосой соппадает граница площасти с реактивно различными полями магнитного поля (рис.2). Последняя фиксируется четко выраженным значительным (200–400 Гамм) градиентом магнитного поля и прослеживается на большом протяжении – от западной границы территории по р.Кавыктакан.

Нижние облигаторные зоны разломов раннепротерозойского заложения можно предполагать в долине р.Моклан, где часто отмечаются бластокатализиты и бластомилониты по породам чадорской свиты архея. Эта зона четко прослеживается восточнее, на площасти листа N-50-XI (Озерский и др., 1966).

Раннепалеозойские инструменты габбро-диорит-трансдиоритовой формации (Кузнецов, 1964) сосредоточены в пределах двух зон, занимающих секущее положение по отношению к архейским и раннепротерозойским структурам и возникших в результате активизации тектономагматической лентальности. Северная, Тунгусская, зона шириной 30–35 км прослеживается по левобережью р.Сред.Мокты в северо-восточном направлении ( $60-70^{\circ}$ ), несколько сужаясь в бассейне р.Кавыктакан. Она включает подавляющую часть раннепалеозойских массивов. Южная, Мокланская, зона имеет широкое пространство. В ее пределах расположены Верхнеоитинский и Каланский массивы. Ширина зоны на площасти листа не превышает 10 км.

Интрузивные массивы имеют полигонально-угловатые очертания в плане и крутые утлы настени контактовых поверхностей. Характерны массивные текстуры пород и, в отдельных случаях, зональ-

ность в распределении пегматитовых разновидностей. В некоторых выходах, преимущественно в восточной части Тундлакской зоны, закартированы фации мелкозернистых гранитов краевых и антиклинных зон, что свидетельствует о сравнительно небольшой величине аэрозионного среза.

Распределение интрузий мезозойского этапа активизации в пределах Олекмо-Витимской горной страны контролируется тектоническими зонами северо-восточного и северо-западного простираний (Старченко и др., 1968). На плане листа наиболее четко выражена одна из зон северо-западного направления — Джелачинская, маркирующаяся такими массивами, как Моклаканский, Джелачинский, Джеловуский и группой тел в верховьях рек Бурунды, Тундака и Чандукога. Ширина ее составляет 20–30 км. Ряд мезозойских массивов расположены в пределах Тундлакской и Моклаканской зон ранне-палеозойской активизации. Интрузивные породы аманганского и субвулканического комплексов, относящиеся к пабдо-диорит-гранитовой группе формации, слагают кругопадающие штоки различных размеров, узкенные тела и лайки, резко несогласные со структурой более древних образований. Размещение и конфигурация их выходов обусловлены особенностями разрывной тектоники мезозойского этапа развития, что особенно отчетливо проявлено в массивах с нетупоким аэрозионным срезом, расположенных в северо-западной части территории.

Образования верхнего, позднемезозойского структурного этапа, представленные континентальными отложениями верхнеюрского — нижнемелового возраста, имеют крайне ограниченное распространение. Ими выполнена юго-западная часть Олекмо-Моклаканской Цеппессы, представляющей собой приразломный прогиб, протягивающийся за пределами рассматриваемой площади в северо-восточном направлении на десятки километров (Озерский и др., 1966). Центрально-разлома размытыми нарушениями на ряд портов и граденов. Верхнемеловые отложения, имеющие мощность 80–130 м, сохранились от размыва только в пределах наиболее опущенных грабенов. Залегают они практически горизонтально.

Разрывные нарушения раннепалеозойского и мезозойского этапов развития группируются в несколько зон, имеющих преимущественно северо-восточное простирание: Тундлако-Кавыктаканская, Бурчи-Кавыктаканская и Олекмо-Моклаканская. Северо-западную ориентировку имеет Джелачинская зона.

Тундлако-Кавыктаканская зона разломов совпадает с Тундлакской зоной раннепалеозойской активизации. Отдельные ее состав-

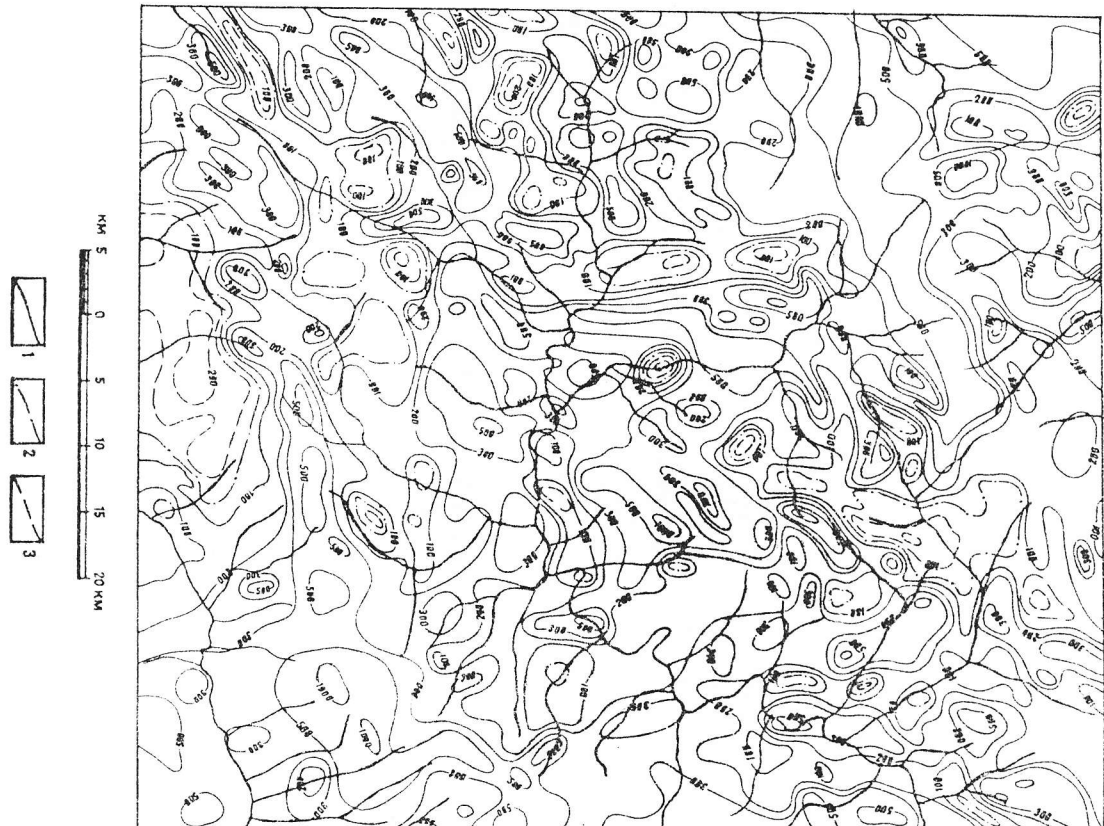


Рис.2. Карта изолиний аномального магнитного поля  
(по Огородникову, Мастерлину, 1965)

Значения Ат (в гаммах): 1 - положительные, 2 - нулевые,  
3 - отрицательные

ляющие контролируют размещение раннепалеозойских и мезозойских массивов. По-видимому, они заложились в раннем палеозое и в последующем неоднократно подновлялись вплоть до позднемезозойского времени, о чем можно судить по наличию смещений самих молодых – средне-позднеюрских интрузивных массивов.

Бутум-Кавыктаанская зона пересекает территорию листа почвы по диагонали в северо-восточном ( $40-50^{\circ}$ ) направлении, сочленяясь в бассейне р. Кавыктаан с вышеописанной зоной. В разломами также контролируются массивы раннепалеозойских и мезозойских интрузий. Пространственно зона совпадает с границей соприкосновения участков раннедокембрийского днунигента с различным структурным планом и, по-видимому, наследует уломавшийся разлом раннепротерозойского возраста.

Долгоживущий характер имеют и разломы Олекмо-Мокланской зоны, проходящий в юго-восточной части территории. Ими обусловлена конфигурация Калгакчинского массива гранитов раннего палеозоя и Мокланского массива триасовых (?) гранитоморфов. С тектонической активностью этих разломов в позднем мезозое связано заложение Олекмо-Мокланской депрессии и последующее формации выполненных ее отложений. В результате перекрещений положительного знака сформирован Моклинский горст, расположенный северо-западнее депрессии и соплашивающий с современным одиолицким хребтом. Эта крупная структура при ширине 12-15 км протягивается на 25 км в пределах изученной территории и продолжается в северо-восточном направлении на соседней площади. Горст сложен глубоко залегающими раннепротерозойскими гранитоморфами, почти не содержащими субстрата, в то время как северо-западнее и юго-восточнее его архейские образования значительно распространены при едином для этого участка северо-западном направлении локомбрейских структур. Это позволяет предполагать длительность воздействия горста, начавшегося, возможно, в раннем протерозое, хотя уверенно можно говорить о его существовании только начиная с поздней криды – раннего мела, когда он служил поставщиком грубообломочного материала для Олекмо-Мокланской депрессии.

Джетлачинская зона разломов совпадает с одиночной зоной мезозойской активизации. Наиболее четко разрывные нарушения фиксируются в северо-западной части территории. Жесткие разломы северо-западного простирания и в бассейне р. Моклан. В северной части зоны, в долине р. Сред. Мокла, разломы этого направления геологически наблюдениями не зафиксированы.

Охарактеризование зоны представляют собой сложные системы многочисленных разломов, иногда сильно сближенных, иногда

удаленных на значительные расстояния друг от друга. Обычно они почти параллельны, но нередки случаи их разветвления и соединения под различными углами или их кулисообразного расположения. Разломы фиксируются по наличию зон мylonитизированных и брекчированных пород мощностью до 200-300, редко до 500-800 м, по присоединенности к ним дайковых и жильных образований и гидротермальных изменений пород, по смещению контуров геологических тел.

Они линеаризуются на аэрофотоснимках по специфичным элементам рельефа и по полосовидному расположению растительности. Мощность зон тектонитов достигает максимальных значений, как правило, в докембрийских образованиях и сокращается в более молодых интрузивных телах. Характерно крутое падение поверхности сместителя. В условиях преобладающего развития кристаллических пород амплитуды перемещений не могут быть точно установлены. По-видимому, они колеблются от первых метров до нескольких десятков и даже сотен метров. Максимальные амплитуды можно предполагать для разломов, ограничивающих Моклинский горст.

По данным аэромагнитной съемки (Суслениников и др., 1958б, 1959б) на изученной площади наблюдается сложная комбинация магнитных аномалий положительного и отрицательного знака. Для их интерпретации была определена магнитная восприимчивость разновозрастных образований. Средние значения магнитной восприимчивости рассчитаны способом среднего арифметического. Они приведены в табл. 3.

Магнитная восприимчивость палеозойских и мезозойских гранитоморф обнаруживает зависимость от магнитных свойств вмещающих пород. Особенно наглядно это видно на примере Калгакчинского массива раннепалеозойских гранитов, которые, расположенные среди слабомагнитных пород архея, имеют значение магнитной восприимчивости, равное всего  $65 \times 10^{-6}$  ед.  $\text{GSM}$ , в то время как для других массивов раннего палеозоя эта величина в десять раз больше.

Характер магнитных полей (см. рис. 2) в общих чертах соответствует данным о магнитных свойствах пород, хотя некоторые аномалии не увязываются с результатами картирования поверхности и для них необходимо допускать глубинную природу. К таким объектам относятся крупная плоская положительная аномалия интенсивностью  $500-1000$  гамм над Моклинским горстом и линейно-вытянутая аномалия такого же порядка, приуроченная к южной части Калгакчинского синклиниория. На участке первой аномалии картируются гранитоиды раннего протерозоя, обладающие сравнительно невысокой

	1	2	3
Раннепротерозойские интрузивные и ультраметаморфические образования:			
Граниты	293	407	
Гранодиориты, граносенинты	17	947	
Габбро-диориты, диориты, кварцевые диориты	81	849	
Архейские лейкократовые граниты	14	32	
Бережнаурские - нижнечемловые песчаники, конгломераты, осадочные брекчи	8	I	
Архей	14	7	
Шурутинская свита: кварциты, высокоглиноземистые кристаллические сланцы и гнейсы	106	134	
Чалорская свита: биотитовые гнейсы и плагигнейсы	15	233	
Иманская свита: кристаллические сланцы, амфиболиты, плагигнейсы	2	1835	
Раннемеловые (?) андезитовые порфириты	10	515	
Средне-позднегеорские гранит-порфириты	73	109	
Амананский интрузивный комплекс:	129	524	
Гранитоиды третьей фазы	42	591	
Гранитоиды второй фазы	6	1837	
Граниты, сенито-диориты, сениты, граниты первой фазы	70	687	
Раннепалеозойские гранитоиды, за исключением гранитоидов Каганачинского массива	20	65	
Раннепалеозойские гранитоиды Каллака-			

Таблица 3

При анализе магнитного поля довольно отчетливо выделяются три разнородных участка. Юго-восточный участок совпадает с площадью развития архейских образований в пределах наиболее устойчивого в раннем протерозое архейского блока. Это сравнительно ровное пологоложенное магнитное поле с интенсивностью 200–300 гаам, нарушающее отрицательной аномалией, совпадающей с Каллакачинским выходом гранитоидов раннего палеозоя и выходами маломагнитных пород Шуругинской свиты архея, и вышеупомянутой положительной аномалией над Моклинским горстом. Интересно, что гранитоиды амананского интрузивного комплекса, слагающие такие крупные массивы, как Джекачинский, Моклаканский, Колбочинский, по характеристике магнитного поля почти не выделяются от вмещающих раннепротерозойских и архейских образований. Анализ данных аэромагнитной съемки масштаба 1:50 000 показал, что линейные магнитные аномалии полей развития раннепротерозойских образований в окрестностях Джекачинского массива продолжаются и в его пределах (Сачунов и др., 1969). Вероятно, это обусловлено плитообразной формой массивов и относительно неглубоким залеганием подошвы их. Центральный участок совпадает с площадью, для которой предполагается полная переработка архейского основания в раннем протерозое. Для него характерно сильно рассеченное знакопеременное магнитное поле с колебаниями от –300 до 1000 гаам с преимущественно северо-восточной, реже меридиональной и близкой к меридиональному направлению ориентировкой локальных аномалий, совпадающей в основном с направлением докембрийских структурных элементов этой площади. Часть локальных аномалий обусловлена интрузивными массивами раннепалеозойского и мезозойского возраста. И, наконец, северо-западный участок совпадает с раннепротерозойским Каллаканским стинклиниорием. Над ним бывают изогипсами

нитное поле, близкое к таковому на юго-восточном участке.

Близи границы Моклаканской глыбы архея и Калаканского синклиниория здесь отмечается протяженная положительная аномалия интенсивностью 500–1000 гамм, которая, как уже говорилось, имеет глубинную природу. Сложное высокое положительное магнитное поле, превышающее 500 гамм, характерно здесь и для основной части выходов раннепротерозойских гранодiorитов, граносиенитов.

Таким образом, анализ данных магнитного поля показывает, что крупные его участки соответствуют основным структурам раннедокембрийского фундамента, локальные же аномалии обусловлены составом и физическими свойствами развитых по площади образований.

Суммарная имеющаяся следения по стратиграфии,магматизму и тектонике площади листа №–50–ХI, можно наметить последовательность в развитии геологической истории. В архее в протогеосинклинальной обстановке происходило накопление мощных толщ вулканического основного состава иминской свиты, терренных и, возможно, хемогенных осадков чадорской и шургинской свит, которые были смыты в складки северо-западного и субширотного направления и метаморфизованы в условиях гранулитовой фауны. Явления интрузивного магматизма проявились в ограниченных масштабах и выразились в формировании амфиболитов и лейкократовых гранитов. В раннем протерозое район прошел геосинклинальную стадию развития. Строение геосинклиниали, заложившейся на раздробленном архейском основании, характеризовалось наличием крупных глыб архея, разделявших синклиниории, в которых происходило накопление осадков. Больше – Моклаканской и только северная часть входит в состав Калаканского синклиниория. По границе этих структурных элементов и внутри архейского выхода закладывались мощные зоны разломов, послужившие путями внедрения раннепротерозойских интрузий основного и среднего состава. По мере нарастания температур и давления жаждии эпидотов амфиболитов, архейские же образования глыбы испытывали дифференциальные превращения. На стадии ультраметаморфизма были сформированы широко развитые на площади гранитоиды метасоматического, реоморфического и магматического генезиса. В результате раннепротерозойских тектонических движений отложение Калаканского синклиниория было смыто в складки северо-восточного простирания. То же направление приобрели и структуры юго-восточных образований в участке архейской глыбы, прилегающем к Калаканскому синклиниорию, и только в юго-восточной части терри-

тории в наиболее устойчивом архейском блоке гранитоиды раннего протерозоя унаследовали структурный тип архейского этапа развития.

Поле завершения раннепротерозойской складчатости в районе наступила платформенная стадия развития, нарушавшаяся в раннем палеозое и мезозое этапами интенсивной активизации тектоно-магматической деятельности. В раннем палеозое закладываются Тундровская и Моклаканская зоны, где по разрывным нарушениям внедряются интрузии среднего и кислого составов. В мезозое по подновленным разломам указанных зон и по разломам Джеклачинской зоны произошло внедрение трещинных интрузий амандинского комплекса, состав которых зволюционировал во времени от габро до лейкократового гранита. В средней-поздней стадии внедрились интрузии субвулканического комплекса.

Особенности позднемезозойского этапа развития обусловлены формированием крупного Байкальского свода, строение которого характеризуется чередованием продольных поднятий и впадин, ограниченных подновленными или вновь заложенными разломами. В огражденных участках происходит накопление зерненско-нижненемировых континентальных осадков верхнего структурного яруса, выполненных, в частности, Олекмо-Моклаканскую депрессию. По разломам внедряются пачки раннелитовых (?) андезитовых порфиритов.

## ГЕОМОРФОЛОГИЯ

Исследованный район расположен в пределах юго-восточного крыла Байкальского свода и входит в Битимо-Селенгинский и Олекмо-Дильский геоморфологические районы Битимской горной страны (Логоренсов, 1948). Рельеф района среднегорний эрозионно-тектонический. Формы аккумулятивного проявления наблюдаются лишь в долинах крупных рек и Олекмо-Моклаканской впадине. Основные черты рельефа определяются глыбовой тектоникой, называемой расщепляющим напряжением сноса. В процессе дифференциальных движений возникли хребты, плавными из которых являются Ильинский и Моклаканский, и разделение их пластины. Другим важным фактором рельефообразования послужили зернисто-пелувиальные процессы. Среди эрозионных процессов преобладает глубокая эрозия, основными являются морозное выветривание, нивация, солифлюкционное и травитационное перемещение материала. Формы проявления широкие выраженные водоразделы и перелько выполненные

склоны, нагорные террасы, каменные реки, колыда и многоуточни-  
ки, солифлокционные потоки и оливины, мерзлотные полыни. Мор-  
фологические особенности рельефа в значительной мере зависят и  
от физико-механических свойств горных пород. Дифференциальные  
перемещения тектонических блоков обусловили различную интенсив-  
ность и характер проявления аэрозионно-денудационных процессов.  
Это позволяет выделить шесть морфологических типов рельефа, ха-  
рактерные черты которых, кроме того, определяются физико-механи-  
ческими свойствами пород, подвергнутых процессам эрозии и дену-  
ляции.

**Крутосклонный рельеф с поворухами** —  
**на склонах Тольпово виноградника,** сформированный на кристаллических породах различного возраста, характерен для Моклинского хребта и участков Дюлонового хребта в верховьях рек Ср.Моклы и Нену. Этот тип рельефа выражен широ-  
кими выровненными водоразделами, глубокими (до 400–500 м) аро-  
зионными врезами долин и крутыми (до 25–30°) склонами. Поверх-  
ности гольцовго выравнивания, придающие массивный облик водо-  
разделам, имеют вид плоских, пологоволнистых, часто ступенча-  
тых слабонактонных участков, вытянутых в направлении основных  
водоразделов. Размеры их различны: от 300 м до 1 км в ширину и  
до 10 км в длину. На них встречаются многочисленные каменные  
колыда и многоуточники. Широко развиты нагорные и гольцовые  
террасы. Уступы террас высотой от 3 до 10 м с углом наклона в  
20–25° затронуты крупногабаритным материалом. Ширина террасо-  
вых площадок измеряется десятками и сотнями метров. Поперечные  
профили речных долин V-образные, симметричные. Склоны крутые,  
большей частью выпуклые. В приусадебных частях мелких долин на-  
ближаются конусы выноса. Форма речных долин (V-образные попереч-  
ные профили, невыработанные продольные профили), а также высокие  
тилосетрические отметки свидетельствует об интенсивном верти-  
кальном перемещении тектонических блоков, обусловленном развитии  
данного типа рельефа.

В верховьях бассейна р.Окта развит **пологопо-**  
**склонный рельеф с поворухами** —  
**Тольпово и зловинско-солинский** —  
**Люкшинский виноградник,** сформирован-  
ный на кристаллических породах различного возраста. Рельеф от-  
личается массивными куполовидными формами с нечетко выраженным  
линиями водоразделов. Абсолютные высоты водоразделов колеблют-  
ся в пределах 1300–1400 м. Глубина аэрозионного вреза достигает

400 м. Широким распространением здесь пользуются поверхности  
альвиально-солифлокционного выравнивания. Долины рек и ручьев  
V- и U-образные. Склоны их выпуклые, прямые, вогнутые, часто  
комбинированые. Отмечаются нагорные террасы. По простирации  
они прослеживаются до 500–1000 м, ширина площадок — 50–100 м,  
высота уступов — до 10–20 м с углом наклона в 25–35°. Уступы  
террас часто покрыты круглоглыбовыми развалами.

**Крутосклонный сильнорасчлененный** —  
**ненний рельеф с скалистыми вор-  
доразделами,** сформированный на гранитоидах второй  
фазы амананского комплекса, соответствует площади развития гра-  
нитоидов Джеловунского массива. Последние характеризуются сред-  
незернистым порфировидным сложением, что обуславливает их быст-  
рое разрушение и приводит к образованию резких форм рельефа —  
крутых склонов и узких скалистых водоразделов. Абсолютные высо-  
ты здесь колеблются от 900 до 1300 м, глубина аэрозионного рас-  
членения рельефа составляет 300–400 м. Долины V-образные сим-  
метричные с интенсивно протекающей глубинной аэрозией. Склоны  
отдельные вершины. Подобный же рельеф развит в пределах  
большой площади в центральной части района, соответствующей вы-  
ходу Джеклачинского массива второй фазы амананского интрузивно-  
го комплекса. Но здесь широким развитием пользуются долинные  
пеллементы. Они представляют собой слабонактонные (2–5°) денуда-  
ционные поверхности шириной 1–2 км, плавно соединяющиеся с почти  
горизонтальными поверхностями долина и с резким перегибом сме-  
няющиеся крутыми склонами. Пеллементы перекрыты солифлокционными  
отложенийами. Эти различия в рельефе обусловлены разной амплиту-  
дой вертикальных перемещений тектонических блоков, включавших  
указанные массивы. Об этом свидетельствуют меньшие абсолютные  
установки в пределах второго массива (300–1100 м), малые углы наклона  
речных долин (0,001–0,005), а также блокшеобразный и корытооб-  
разный поперечный профиль их.

В северо-восточной и северо-западной частях района на пло-  
щадях преимущественного развития гранитоидов третьих фаз ранне-  
палеозойского и амананского интрузивных комплексов сформирован  
крутосклонный рельеф с пологими водоразделами. Абсолютные высоты в пределах этого  
типа рельефа редко превышают 1200 м, глубина аэрозионного рас-

членения составляет 200–300 м. Поверхности водоразделов широкие – до 300 м. Вершины имеют конусообразную форму, нередко увенчаны эрозионными останцами. Крутизна склонов колеблется в пределах 15–25°. Поперечные профили долин U и U-образные, склоны в первом случае выпуклые или близкие к прямым, во втором случае склоны вогнутые. Верхние части склонов покрыты нагорными террасами.

Для большей части площи характерен пологий склонный умеренно-равнинный рельеф с широко развитыми поверхностями алювиально-солифакционного выравнивания. Абсолютные высоты колеблются от 800 до 1375 м, глубина эрозионного расщепления составляет 100–250 м. Для этого типа рельефа присущи массивные отверстия. Широкие выработанные водораздельные пространства достигают в ширину 3 км и вынуты до 20 м. Поверхности их слабо волнистые с многочисленными террасами солифакционного происхождения. Долины рек обычно имеют U-образный симметричный поперечный профиль. Склоны обычно вогнутые, реже выпуклые, плавно соединяющиеся с поймами и водоразделами. На склонах широко разvиты нагорные террасы.

Пониженные участки площи, по существу представляющие собой межгорные впадины, характеризуются пологими склонами и малым расчленением рельефа. Наиболее значительные впадины приурочены к долинам крупных рек: Олекмо-Моклаканская, Моклаканская и Моклинско-Джекачинская. Абсолютные высоты в пределах этого рельефа колеблются от 700 до 1050 м. Глубина эрозионного вреза в отдельных впадинах изменяется обычно от 50 до 200 м. Рельеф характеризуется мягкими очертаниями. Прямые и вогнутые пологие склоны плавно переходят в выраженные широкие водоразделы и в поверхности пойм. В Моклинско-Джекачинской и Моклинской впадинах развиваются аккумулятивные формы рельефа: плоская пойма, террасы, конусы выноса и лессивально-пролювиальные плейни. Долины рек и ручьев сильно задомочены. На склонах развивается солифакционная терраса и оливина, а на поверхностях пойм – участки почвогенеза в тундре. Поймы представляют собой выпуклые неправильные пяты – или пестротоплические до 100–300 м в поперечнике. Часто внутри поймы появляются еще поймы второго порядка, имеющие в поперечнике 1,5–3 м и высоту до 30–50 м.

Строение речных долин характеризуется наличием высокой поймы (до 3–4 м), достигающей ширины 2,2 км, и эрозионно-акумулятивных террас. Низкая пойма практически отсутствует. Уступы

разновысотных террас снивелированы интенсивно действующими солифакционными процессами и преобразованы в единую пологую поверхность, поднимающуюся от пойм к подножию коренных склонов. Сохранившиеся отчетливо выраженные уступы имеют высоту от 1 до 7 м над высокой поймой. Таловые швы наклонных (1–2°) террасовых площадок достигают высоты 40–50 м над уровнем воды. Рустовые валы высотой 0,5–1 м и шириной до 5 м наблюдаются очень редко в долинах рек Сред.Мокла и Моклакан. Продольные профили речных долин имеют резкие перегибы, соответствующие границам блоков с различной амплитудой поднятия.

Ледниковые формы сохранились лишь в верховье р.Кавытакана, один из левых притоков которой имеет корытообразный поперечный профиль долины. В продольном профиле долины фиксируются скользящие пороги. В нижнем течении притока у его левого склона сохранились остатки морены, по-видимому, боковой. В поперечном разрезе она имеет форму усеченного конуса (высота – около 20 м), несколько вынутого вглубь по долине. Размеры ее основания составляют 100 x 150 м. Верхняя площадка имеет размеры 40 x 70 м.

В течение позднего мела, палеогена и частично неогена район испытывал состояние относительного тектонического покоя. Гостол-ставшие в это время денудационные процессы создали денудационный пенеплен, реликтами которого, возможно, являются поверхности гольцов выравнивания на современных горных хребтах, где передка встречается галька, морфология которой дает основание предполагать ее алювиальное происхождение. Формирование современного рельефа началось в неоген-раннечетвертичное время в связи с актизацией появления Байкальского свода, что фиксируется излиянием базальтов в междуречье Конды и Калара (Фалькин, Фалькина, 1969). На фоне общего поднятия в результате различных амплитуд вертикальных перемещений отдельных блоков возникают современные хребты (Болонский, Моклинский) и впадины (Моклаканская, Моклинско-Джекачинская). Сохраняет тенденцию к погружению и Олекмо-Моклаканская впадина, что свидетельствует об унаследованности крутизны форм рельефа с позднемезозойского времени. Развитие района в среднечетвертичное время не ясно. Возможно, что в это время он являлся устойчивой областью сноса, но не исследовано также, что отложения этого возраста переработаны позднее солифакционными процессами.

В позднечетвертичное время происходит горно-долинное оледенение (Музис, 1967), южная граница которого установлена на характеристизуемой территории в верхнем течении р.Кавытакана. В то же время происходит формирование первой надпойменной терра-

Наиболее распространено в конце позднечетвертичного времени при понижении базиса арозии. Последнее понижение базиса арозии произошло в недалеком геологическом прошлом, когда русла рек оказались врезанными в отложения высокой поймы на 5–7 м и начали формироваться отложения низкой поймы.

## ПОЛЕЗНЫЕ ИСКОПАЕМЫЕ

Известные полезные ископаемые района сформировались на протяжении всей истории геологического развития района.

Архейская эпоха характеризуется образованием неметаллических полезных ископаемых. Они представлены кварцитами и высокоглиноземистым сырьем – силиманином.

В раннепалеозойскую эпоху проявлено убогое молибденовая минерализация, выраженная образованием в виде рассеянной редкой вкрапленности молибдена в гранитоидах третьей фазы аманского комплекса или во вмещающих породах. Однако эта минерализация, ввиду малых содержаний молибдена, не имеет практического значения. В эту же эпоху на заключительных этапах развития магматического комплекса образуются мусковитовые пегматиты. С раннепалеозойскими гранитоидами в бассейне р. Бурич связаны трейзены кварц-серпентитового состава. Зоны трейзенизации имеют небольшие размеры. Судя по наблюдениям мощность их в зоне и левобережья составляет не более 20–30 см. Проведенным спектральным анализом повышенных количеств каких-либо полезных компонентов в штучных пробах этих трейзенов не обнаружено.

В раннемезозойскую эпоху на завершающих стадиях становления аманского интрузивного комплекса образуется рудообразование и месторождения молибдена, вольфрама, тантала и ниобия, олова.

Обосновывая связь молибденовой минерализации с развитием раннемезозойского магматизма, мы исходим из того, что рудообразования и ореолы рассеяния молибдена локализованы или непосредственно в прелепах массивов аманских гранитоидов, или в их акзоконтактах. Молибденовому оруденению часто сопутствует медная и висмутовая минерализации.

Известные рудообразования вольфрама и наиболее существенные ореолы рассеяния его также обнаруживают парагенетическую связь с аманским интрузивным комплексом.

С гранитами третьей фазы аманского комплекса связано проявление в районе тантало-ниобийской минерализации, представленной танталитом – колумбитом.

Наличие минерализации олова установлено только по данным шлихового опробования. Ореолы рассеяния кассiterита сосредоточены в северной части Джеклачинского массива аманских гранитоидов (вторая фаза) и частично в его акзоконтактовых зонах.

В позднемезозойскую эпоху процесс внедрения субвуликанических интрузий приводит к появлению золотого, висмутового и полиметаллического оруденения. Рудообразование происходило в течение двух этапов, разобщенных по времени и соответствующих, очевидно, двум стадиям развития позднемезозойского магматизма. В

первый этап образуется полиметаллическое оруденение, проявления которого известны в междуречье Бурунды – Верх. Чокчокола в поле развития дасек и штоков гранит-порфиров средне-позднеюрского комплекса. В этом случае установлено залегание рудноносной зоны (29) в теле гранит-порфиров. Учитывая отсутствие здесь более молодых интрузивных образований, можно предполагать наличие парагенетической связи между ними. Вероятно, с гранит-порфирями связано также проявление молибденовой (36) и вольфрамовой (59) минерализации.

Рудообразование второго этапа, представленное формацией золото-сульфидных руд с таленитом и висмутовыми минералами, на-  
ми условно по аналогии с сопредельными районами относим к Ершевской стадии проявления позднемезозойской тектоно-магматической деятельности и связывается с формированием дасек средних по составу пород средне-позднеюрского субвуликанического комплекса.

В раннемеловую эпоху образуются эпилермальные месторождения и рудообразования флюорита. Связь флюоритовой минерализации с определенным магматическим комплексом не установлена. Раннemеловой возраст оруденения определен на сопредельной с востока территории (Озерский и др., 1966), где известно залегание кварц-флюоритовых жил в осадочных породах верхней юры – нижнего мела, а галька кварца из таких жил встречена в конгломератах условно раннемелового возраста.

В кайнозойскую эпоху формируются россыпи золота, танталита, кассiterита, тантало-ниобиевых минералов, а также разнообразные типы обломочных пород, которые могут использоваться в качестве строительных материалов.

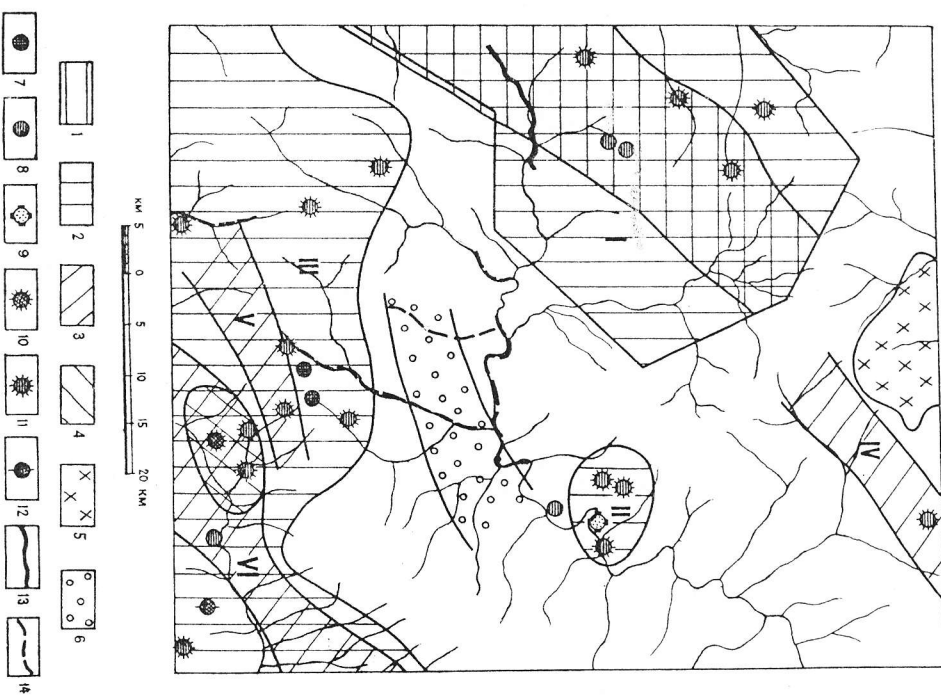
Закономерности пространственного размещения полезных ископаемых обусловлены особенностями геологического и тектонического строения района, а также парагенетической связью оруденения с теми или иными геологическими комплексами.

Кварциты известны в разрезе чадорской и шургинской свит архея. Высокотинзивистый минерал (силиманит) содержится в некоторых сланцах шургинской свиты. В результате повторного метаморфизма архейских образований в раннепротерозойский этап развития силиманит был в значительной мере замещен вторичными минералами и только в верхней пачке разреза свита мощностью 500 м метасоматическое замещение его проявлено незначительно. Поэтому повышенные количества высокотинзивистого сырья возможны лишь в пачках развития этой пачки.

Молибденовое, мелкое, висмутовое и вольфрамовое оруденение раннемезозойской эпохи обнаруживает четкую притуоченность к приконтактовым частям массивов амананских гранитоплитов. Оно локализуется как в самих массивах, так и в акзоконтактовых зонах. Наряду с этим в размещении оруденения установлена большая роль тектонических нарушений. Наиболее значительная минерализация проявлена на участках пересечения разнонаправленных зон разломов. По совокупности отмеченных факторов нам выделено несколько зон молибденовой (Тундак-Чолконская, Бушути-Моклинская, Джеклачи-Моклаканская) и вольфрамовой (Кавыктаканская, Моклаканская, Джеклачи-Заклаканская) минерализации (рис.3). Они являются перспективными на выявление новых рудопроявлений и месторождений этих металлов. В пределах Моклаканской зоны вольфрамовой минерализации в месторождении Сайбочи - Катлакачи установлен круговой по площади рудный узел.

Тантало-ниобиевая минерализация, представленная танталитом - колумбитом и проявленная в пределах двух крупных массивов третьей фазы аманансского комплекса в бассейнах рек Неню и Барыня, локализуется, очевидно, в антиклинных частях их.

Золото-полиметаллическое оруденение в областях раннепротерозойской складчатости обнаруживает пространственное приуроченность к участкам, сложенным архейскими метаморфическими образованиями, и к массивам средних - основных город (Озерский, Фалькин, 1966). Зоны же интенсивного проявления процессов ультраметаморфизма и гранитообразования практически лишены этого оруденения. Наблюдается также парагенетическая связь оруденения с позднемезозойским месторождением. Однако проявления золота и полиметаллических руд в пределах крупного поля раннепротерозойских гранитов (Моклинский хребет), а также в северной части площи, относящейся к Калаканскому синклиниорию, отсутствуют, хотя позднемезозойскиймагматизм здесь также развит. На остальной площи указанные полезные ископаемые встречаются. Грунтовые локализуются в зонах тектонических нарушений. Значительная



часть известных проявлений полиметаллов сконцентрирована в выделенном нами Верхне-Чолконской зоне, пространственно совпадающей с юго-западной частью Тылакско-Кавытаканской зоны тектонических нарушений, насыщенной дайками гранит-порфиров среднепозднемиерского субвуликанического комплекса.

Рудообразование раннемеловой эпохи проявлено в зонах позднемезозойских тектонических нарушений. Широкое развитие последних позволяет считать возможным обнаружение рудопроявлений и месторождений флюорита в различных частях района.

Условием для россыпь- и рудообразования в кайнозойскую эпоху, наряду с действием благоприятных геоморфологических факторов, является и существование коренных источников. Россинные месторождения золота могут быть обнаружены в различных частях района, за исключением Моккинского хребта и плодородия, относящейся к Калаканско-Сынкинорию. Перспективными на выявление россыпей тантало-ниобиевых минералов являются долины рек Пенна, Барыня, Ороточи. Россинии титанита возможны в долине р. Верх. Мокки и ее некоторых левых притоков, которые проходят в пределах известных рудопроявлений (Амунакта, Сайбоми, Каллакачи и др.). В верховых крупного левого притока р. Камыктакан возможно наличие рудопроявления.

Ниже приводится характеристика различных видов полезных ископаемых.

#### МЕТАЛЛИЧЕСКИЕ ПОЛЕЗНЫЕ ИСКОПАЕМЫЕ

##### П  В  Е  Т  Н  И  Е  М  Е  Т  А  Л  Л  И

###### Медь

Известные рудопроявления меди (76, 77) и приуроченный к ним ореол рассеяния (75) расположены в пределах единого медно-мolibденового рудного поля в верховых р. Джекдаки. Они будут охарактеризованы при описании молибденового оруденения.

Один ореол солевого рассеяния меди установлен на левобережье р. Тундак (5). Площадь его 3 км<sup>2</sup>, содержание меди - 0,004–0,01%. В количествах до 0,005% здесь присутствует и вольфрам. Коренные источники этого ореола не выявлены.

Халькоксидит встречен в нескольких шахтных пробах, отобранных в пределах Верхне-Чолконской зоны полиметаллического оруденения.

###### Свинец

Наиболее значительная минерализация свинца проявлена в пределах Верхне-Чолконской рудной зоны, где установлены рудопроявления Верх.Чолко-1 (29) и Верх.Чолко-2 (30). Они приурочены к одному рудному полю. Данный участок сложен раннепротерозойскими гранитами, среди которых застегают дайки и штоки гранит-порфиров средне-позднемиерского субвуликанического комплекса. В центральной части рудного поля пересекаются тектонические нарушения северо-восточного и северо-западного направлений.

На участке рудопроявления Верх.Чолко-1 вскрыта зона окварцевания и сульфидизации мощностью 5 м, застегающая в гранит-порфирах и имеющая северо-восточное простирание. Зона сложена тонкозернистым серым кварцем, в котором содержится незначительная вкрашенность мелких зерен пирита, галенита, широтина, халькопирита, редко сфалерита. Гранит-порфирь на контакте с кварцевым полем в зоне шириной до 4 м каолинизирован и содержит обильные бурые охры.

Рудопроявление Верх.Чолко-2 представлено жилой мелкозернистого кварца с пиритом и галенитом при незначительных количествах (десяти-сотые доли процента) сфалерита, широтина и халькопирита. Мощность жилы – 0,5 м, азимут простирания – 160°, падение близкое к вертикальному. По простиранию жила не прослежено. Содержание галенита – менее 1%, лишь в одной зоне мощностью 5 см количество его достигает 3%. Вмешающие жилу граниты в зонах мощностью до 40 см окварцированы и каолинизированы.

Спектральным анализом в кварце с сульфидами и во вмещающих гидротермально-измененных породах обоих рудопроявлений в повышенных количествах установлены свинец (0,02–0,15%), цинк (0,03–0,2%), медь (0,003–0,03%), серебро (0,0001–0,0005%), иногда марганец (0,5–0,7%) и мышьяк (0,01%). В некоторых пробах присутствует небольшое количество (0,01 г/т) золота.

На одном из участков установлен ореол рассеяния свинца (до 0,05%), цинка (до 0,3%), серебра (до 0,0005%) площадью более 2,5 км<sup>2</sup> (28). В пределах его выделяется несколько аномальных зон, что свидетельствует о возможности выявления новых рудных тел.

На юго-западном и северо-восточном продолжениях этого рудного поля проявление золото-полиметаллической минерализации в

## Б я г о р о н и е м е т а л л и

форме золота, галенита, перусита установлено шлифовыми опробованиями на протяжении 11 км в полосе шириной до 2 км, приуроченной к тем же нарушенным северо-восточного направления.

Развали кварц-сульфидных жил наблюдались и на других участках Верхне-Чолконской рудной зоны. В пределах этой же зоны установлено еще четыре вторичных ореола рассеянного свинца (23, 24, 45, 48). Изложенные данные позволяют считать всю площадь Верхне-Чолконской зоны, перспективной для поисков новых рудных тел с полиметаллическим, возможно, золото-полиметаллическим оружием.

Два других рудопроявления свинца - Средне-Моклинское (44) и Правобережное (89) - представлены жилами кварца с редкой рассеянной вкрапленностью мелких (до 1 мм) зерен пирита и галенита. Размеры жил не определены. Содержание свинца составляет всего 0,01%. Практического значения эти рудопроявления не имеют. Небольшие по площади (0,5-1 км<sup>2</sup>) ореолы солевого рассеяния свинца с содержанием его 0,003-0,02% известны на правобережье р. Тундак (4) и в бассейне р. Омыры (53).

Повышенные количества свинца установлены также в пределах ореола рассеяния мышьяка в долине р. Ненку (12), на участке вольфрамового рудопроявления в Междуречье Сайдачи - Каглакачи и на левобережье р. Найенки в ассоциации с золотом и его спутниками (70).

### Мышьяк

Мышьяк является сопутствующим компонентом молибденового и вольфрамового оруденения. На трех участках установлены аномальные концентрации мышьяка без видимой связи с указанной минерализацией. Два ореола рассеяния мышьяка - в бассейне р. Ш. Зарызак (34) и Закнекан - (1) - расположены в поле развития разломов юго-западных гранитов и приурочены к участкам сопряжения разломов Олекмо-Мокманской зоны. Площадь каждого из ореолов - 2 км<sup>2</sup>, содержание мышьяка - 0,003-0,01%. Источники образования ореолов не установлены и перспективы этих участков не ясны. Более интересным является ореол рассеяния мышьяка в низовых руч. Хорогчи (85). Площадь его 6 км<sup>2</sup>, содержание мышьяка в пирите - 0,003-0,05%. В некоторых участках ореола в аномальных количествах содержатся серебро (0,001-0,001%), золото (до 0,1 г/т), молибден (до 0,003%). Мышьяк в этом ореоле, по-видимому, является спутником золотого оруденения, что позволяет рекомендовать проведение на участке поисковых работ на золото.

### Золото

На площади листа известно два рудопроявления золота.

Левобережное рудопроявление (43) расположено на левом берегу р. Сред. Моклы, выше устья р. Иркинран. Участок сложен ранне-протерозойскими диоритами и кристаллическими сланцами иминской свиты архея. Контакты пород совпадают с зонами тектонических нарушений субширотного и северо-восточного направлений, которые проявляются складчатением, окварцеванием и притягиванием. Свады оквартированных пород наблюдались иногда на расстоянии 120-200 м. В одной штуцерной пробе пробырным анализом установлено золото (0,6 г/т) и серебро (Г3, 2 г/т). Перспективы рудопроявления не ясны.

Лежачинское рудопроявление золота (67) расположено в долине правого притока одноименной реки в поле развития гранодиоритов второй фазы амманского комплекса. Оно представлено жилой мелкосернистого кварца с сульфидной минерализацией. Размеры жил и условия застывания не установлены. Судя по развалам, мощность ее не менее 30 см. Рудные минералы составляют около 4%, они представлены пиритом (преобладает) и халькопиритом. В небольшом количестве присутствуют борнит, сфalerит, пирротин, марказит. Пробным анализом в кварце с сульфидами установлено 1,6 г/т золота и 355,3 г/т серебра. В окрестностях рудопроявления встречаются другие кварцевые жилы с пиритом, иногда халькопиритом, монилленитом, минералами висмута, но они содержат золото в количествах 0,01-0,05 г/т, в двух пробах установлено содержание его в 0,4 г/т. На основании этого выражение на участке практическим значимого оруденения золота представляется маловероятным.

Более высокое содержание золота (до 3,6 г/т) установлено в некоторых жилах кварца рудопроявления вольфрама в Междуречье Олекмо-Мокманской зоны. Площадь его - 2,5 км<sup>2</sup>. Здесь содержание мышьяка - 0,003-0,01%. Источники образования ореолов не установлены и перспективы этих участков не ясны. Более интересным является ореол рассеяния золота (70). Площадь его - 2,5 км<sup>2</sup>. Здесь ореол рассеяния золота (до 0,4 г/т) в аномальных количествах присутствуют суревел (0,003-0,015%), мышьяк (0,007-0,015%), мышьяк (0,003-0,02%), иногда суревма (0,002-0,003%) и серебро (0,001-0,002%). Наличие золота на участке и в его окрестностях рекомендует провести поисковые работы на золото.

рестностях подтверждается и шиховым опробованием. Все это позволяет считать участок перспективным на выявление золото-лома-металлического оруднения.

Другим перспективным участком на выявление золотого оруднения является, как указывалось выше, площадь ореола рассеяния мицеляка в низовых руч.Хорогочи (85).

Кроме коренных рудопроявлений на площади листа известно шесть эксплуатировавшихся и две непромышленные россыпи золота. Добыча золота из россыпей производилась старательями в 30-е годы и в дореволюционное время, в связи с чем об этих россыпях сохранились весьма скучные сведения (Заселин и др., 1959ф; Кильессо, Малых, 1954ф).

В нижней части долины руч.Приисковый (55) следы старательских отработок наблюдались на расстоянии до 1,5 км от устья.

Россыпь ломтная, аллювиальная. Ширина ее - до 100 м. Золотоносный пласт мощностью 0,4-1,6 м приурочен к низам разреза раках отложений, полная мощность которых достигает 5 м. Золото расположено струями и гнездами, содержание его на пласт - 1475-6870  $\text{г/м}^3$ , на массу - 120-596  $\text{г/м}^3$ . Количество добываемого золота не учтено. В последующие годы здесь проведена разведка, выявившая сохранившиеся запасы в количестве 173,9 кг (Заселин и др., 1959ф).

Сходными с вышеописанной являются россыпи в верховьях руч.Приисковый (57), в долинах рек Запов (90) и Верх.Кавыктакан (51). Они почти полностью отработаны.

Золото добывалось старательями также в нижнем течении р.Ойки на участке протяженностью 0,5 км (50).

В верховье р.Сред.Моклы редкими полковыми линиями шурфов (Тренин и др., 1959ф) выявлена непромышленная россыпь (47).

Длина опиcованной части долины - около 5 км. Мощность раках отложений составляет 5,5-6 м. Золотоносный пласт, приуроченный к нижней части разреза аллювиальных отложений и к аллювиальному слою плотика, имеет ширину от 100 до 260 м при мощности 0,5-3 м. Содержание золота на пласт - до 633  $\text{г/м}^3$ , на массу - до 132  $\text{г/м}^3$ . Ниже по течению золото встречается в русском аллювии еще на протяжении 6 км. На одном участке золото добывалось старательями (46). Эти данные позволяют считать возможным выявление в верховье р.Сред.Моклы (выше устья р.Мокчоли) ломтной россыпи, запасы золота в которой оцениваются нами в количестве около 500 кг.

Золото постоянно встречается также в аллювии р.Сред.Моклы на участке долины между устьями рек Бушчи и Верх.Кавыктакан.

В некоторых косах содержание его достигает 1  $\text{г/м}^3$ , а двумя поисковыми линиями скважин вскрыты золотоносный пласт мощностью 0,4-1,1 м на глубину 4-5,7 м при содержании золота на пласт до 4,03  $\text{г/м}^3$  (Заселин и др., 1959ф). Указанная часть долины р.Сред.Моклы также является перспективной на поиски промышленных россыпей.

Поисково-разведочные работы на россыпь золото проведены в долине р.Мокчакана (Коллежев и др., 1967ф), в результате чего установлено наличие здесь только непромышленной россыпи (87).

По данным шихового опробования, а также по редким поисковым линиям шурfov и скважин установлена слабая золотоносность аллювия р.Тундак, многих притоков р.Сред.Моклы (Джекдачи, Мал.Джекдачи, Ойкта, Дикэ, Верх.Карашкит) и р.Верх.Моклы (Найденка, Загжакан-2, Сайбочи, Каглакачи Чолкокон).

Прореденные поисковые работы в верховьях р.Сред.Моклы, а также известные данные по эксплуатировавшимся старательям россыпям свидетельствуют, что россыпи золота в данном районе характеризуются значительными размерами. Поэтому, даже при относительно невысоких содержаниях металла россыпи могут представлять практическое значение как объекты для отработки драгами. Найднее перспективными для поисков россыпей золота являются указаные выше участки долины р.Сред.Моклы, долины рек Джекдачи, Верх.Кавыктакана, Ойкты, Найденки.

#### Р е д к и е м е т а л л и

##### ОЛОВО

Шиховым опробованием выявлено три ореола рассеяния каскетерита: в низовых рек Верх.Карашкит (54), Мал.Джекдачи (56) и Верх.Кавыктакан (52). Площадь ореолов - от 5 до 10  $\text{км}^2$ . Содержание минерала - единичные знаки на 0,02  $\text{м}^3$  породы. Коренные источники ореолов не известны и перспективы этих участков не ясны.

Каскетерит иногда отмечается также в русковом аллювии рек Верх.Моклы, Колбочи, Ненку, Чандукол, Тундак.

##### Вольфрам

На площади листа известно одно рудопроявление и шесть вторичных ореолов рассеяния вольфрама.

Рудопроявление Вольфрамове (83) расположено на левобережье безымянного левого притока р.Верх.Моки в междуречье Сайдоци - Каглакачи. Участок сложен гнейсами чалорской свиты архея и лейкогранитами гранитами, гранито-гнейсами, которые в виде крупного блока заключены среди раннепалеозойских гранитов. На северном фланге участка распространены гранодиориты - кварцевые дюриты второй фазы аманакского комплекса. В тектоническом отложении участок приурочен к зоне разрывных нарушений северо-восточного простирания. В пентратной части его установлены нарушения и северо-западного блока к широтному простиранию.

Рудопроявление относится к сульфидно-титанеритовой формации (Буткевич, 1950). Оно представлено кварцевыми жилами, а также минерализованными зонами фреккирования. Среди брекчиеванных окварцований и пиритизованных пород, а также кварцевых жил с титанеритом и сульфидами надлежат к центральной части участка на площади 1,5 км<sup>2</sup>. Две жили вскрыты в коренном залегании. Протяженность одной из них превышает 180 м, другая жила по протяжению не прослеживается. Мощность их колеблется от 7 до 50 см. Жилья вынуты в северо-западном направлении и попадают в гружающиеся к северо-востоку (азимут падения 20-50°, угол - 10-30°). Они сложены куполистальцитами кварцем, в которых в призабалочковых зонах мощностью 1-5 см отмечается взаимосвязь с титанеритом размером 1-10 мм, редко - до 2-4 см. Часто в кварце в небольших количествах содержатся пирит, блеклые рутины, халькопирит, иногда фиолетовый флюорит. Вместе с гранитами повсеместно трещиноваты, пиритизованы, иногда в зонах мощностью до 0,5 м окварцованы. Химическим анализом бороздовых проб в одних из них установлено 1,48% WO<sub>3</sub>, а во вмещающих изменениях гранитах содержание WO<sub>3</sub> колеблется от 0,004 до 0,055%.

На северном фланге участка выделена минерализованная зона повышенной трещиноватости. Ширина ее не менее 60 м, протяженность, вероятно, около 500 м. В прелогах зоны архейские граниты пронизаны многочисленными тонкими разновариантными трещинами, которые часто выполнены флюоритом, кварцем. Неравномерно проявлены пиритизация и окварцовывание. Спектральный анализом бороздовых проб в породах зоны установлены вольфрам (0,003-0,2%), золото (до 0,05 г/т). Производный анализ в некоторых пробах достигает 0,137%, среднее содержание по 13 пробам - 0,036%.

Спектральным анализом в кварцевых жилах, вмещающих их и породах и минерализованной зоне повышенной трещиноватости наряду

с вольфрамом в аномальных количествах установлены свинец (0,005-0,2%), цинк (до 0,1%), медь (0,005-0,02%), серебро (до 0,002%), мышьяк (0,003-0,05%), сурьма (до 0,01%), молибден (до 0,005%), золото (до 0,05 г/т). Производный анализ в некоторых кварцевых жилах показал содержание золота до 3,6 г/т, серебра - до 844,2 г/т.

Литохимическим опробованием в междуречье Сайдоци - Каглакачи выявлен комплексный ореол рассеяния площадью около 30 км<sup>2</sup> (80), в пределах которого в аномальных количествах установлены вольфрам (до 0,05%), медь (0,005-0,02%), мышьяк (до 0,05%), сурьма (0,003-0,02%), серебро (до 0,003%), сурьма (0,002-0,02%), висмут (0,001-0,005%), золото (до 0,03 г/т), молибден (до 0,003%).

Сайдоци-Каглакачинское рудное поле и его размеры достаточны четко фиксируются штиховым опробованием (79). Титанерит в значительных количествах встречается в альбиносовых отложениях как крупных водотоков, так и их мелких притоков. Участок рудопроявления представляет собой перспективным на выявление месторождения вольфрама с сопутствующим золотым оруденением. В остальной части рудного поля возможно обнаружение новых рудных тел.

По-видимому, с наличием данного оруднения связано появление титанерита в аллювиальных донных р.Аму-Цине и центрации его здесь не установлены.

Ореол рассеяния титанерита выявлен также в верховых р.Аму-Цине (59). Площадь ореола - около 4,5 км<sup>2</sup>. Коренные источники здесь не известны и перспективы участка не ясны.

В верховье правого притока р.Джекнди в вольфрам в повышенных количествах (0,001-0,003%) установлен в листо-линистых отложениях долины на протяжении 1,5 км (69). Этот ореол приурочен к крупной тектонической зоне северо-восточного направления, в пределах которой установлены ореолы рассеяния мышьяка (71), а также штиховые пробы с титанеритом и висмутовыми минералами. Указанная зона, названная нами Джекнди-Закдаканской, также представляется перспективной на поиски месторождений вольфрама.

Два ореола рассеяния вольфрама выявлены в бассейне р.Ка-янгыческим бороздовым проб в породах зоны установлены вольфрам (0,003-0,2%). По данным химического анализа, содержание WO<sub>3</sub> в этих пробах достигает 0,137%, среднее содержание по 13 пробам - 0,036%.

Спектральным анализом в кварцевых жилах, вмещающих их и породах и минерализованной зоне повышенной трещиноватости наряду

Небольшой ( $0,6 \text{ км}^2$ ) ореол рассеяния вольфрама известен на левобережье р. Кавынтакан (Г5).

#### Мolibден

На площади листа известно 18 рудопроявлений и 20 вторичных ореолов рассеяния молибдена. Все рудопроявления относятся к молибденовой формации (Покалов, 1964). Наиболее значительным является Яблонковое рудопроявление (22), расположенные на водоразделе рек Джеловун - Чандукол. Участок сложен раннепротерозойскими порфиробластовыми биотитовыми гранитами, в которые внедрены небольшие (от 0,05 до 5  $\text{км}^2$ ) участки гранодиоритов второй фазы и гранитов третьей фазы амананского комплекса. Широко развиты лайки гранит-порфиров средне-позднемицкого субвуликанического комплекса. Установлено два крупных разрывных нарушения северо-восточного и субширотного направлений. Площадь, заключенная между ними, а также территории к югу от широтного разлома характеризуются повышенной трещиноватостью пород и широким проявлением гидротермальных процессов: окварцевания и пиритизации, сопровождающих молибденитовую минерализацию. Оруденение локализовано в основном в окварцованных порфиробластовых биотитовых гранитах в экзоконтактовой зоне штока третьей фазы амананского комплекса.

Окварцованные породы с молибденитом развиты в полосе длиной 2 км при ширине до 500 м. Окварцевание проявлено образованием большого количества разнонаправленных маломощных (до полей миллиметра до 5 см) кварцевых прожилков, в меньшей степени - метасоматическим замещением. Редко встречаются более мощные кварцевые жилы (до 1,5 м). Молибденит мелкочешуйчатый, приурочен к кварцевым прожилкам и окварцованным участкам. Рудные тела представляют собой штокверковые зоны северо-восточного простирания протяженностью от 200 до 700 м, шириной от нескольких до 60 м. Среднее содержание молибдена в зонах колеблется от 0,02% по 0,13%. Ввиду низких содержаний рудопроявление в настоящее время практического значения не имеет. Рудные тела участка являются источниками формирования солевого ореола рассеяния молибдена (9).

Такого же типа оруденение установлено на участке Ертудинско- ского рудопроявления (27), но размеры рудных зон и содержание молибдена в них не определены. К этому участку приурочен солево-вой ореол рассеяния (26) площадью 2,3  $\text{км}^2$  с содержанием молибдена до 0,005%.

Несколько иная минерализация проявлена на участке Джекда- чинского рудопроявления (66). Оно расположено на правобережье

правого притока р. Джекдачи. Участок сложен гранодиоритами второй фазы амананского комплекса. Оруденение приурочено к текстурной зоне северо-восточного простирации и представлено кварц-сульфидными жилами и минерализованными зонами брекчирования и гидротермально-измененных пород. Стволы их занимают площадь до 0,5  $\text{км}^2$ . Судя по обломкам, мощность некоторых жил - не менее 0,5 м. Кварц крупнокристаллический, содержит вкрашенность мелкочешуйчатого молибдена, пирита, халькоприита, иногда висутиллита минерала с общим содержанием их от долей до 2-3% при преодолении первых двух. Иногда встречаются включения флюорита розового цвета. По линиям бороздового отработания в кварце с сульфидами установлены молибден (до 0,63%), мель (0,01-1,0%), висут (0,003-0,1%). На участке зафиксированы также зоны брекчирования мощностью до 1 км, в которых гранодиориты окваркованы и микро-клиницированы. Они содержат вкрашенность молибдена и пирита. В максимально минерализованных участках зон мощность до 0,2 м содержание молибдена достигает 0,485%. Малая мощность жил и минерализованных зон не позволяет отнести рудопроявление к практическим ценным объектам.

В окрестностях Джекдачинского рудопроявления литохимическим спробованием масштаба 1:25 000 в протяженной полосе северо-восточного простирания выявлено большое количество малых по площади (20-30 x 500-750 м) ореолов рассеяния молибдена и меди с содержанием соответственно 0,003-0,005 и 0,003-0,1%. В юго-западной части (62) преобладающим компонентом является молибден. В северо-восточной части рудного поля (75) основным компонентом в ореолах является медь. Образование ореолов связано с налипанием здесь кварц-пиритовых с халькопиритом жил - рудопроявления Джекдачинское-1 (76), Джекдачинское-2 (77). Эти жилы изучены только по свалам, размеры их не определены, содержание халькопирита, определенное визуально, не превышает 2%.

Сходными с вышеописанным являются Сайбочинское (81), Праводжекдачинское (74), Среднесайдочинское (82) и Солокитское (93) рудопроявления молибдена. К некоторым из них приурочены ореолы рассеяния молибдена площадью до 5  $\text{км}^2$  с низким (до 0,002%) содержанием металла (58, 92). Лишь на участке Сайбочинского рудопроявления выявлены некоторые зоны размером до 200 x 600 м с более высоким (0,002-0,02%) содержанием молибдена в делювии. В пределах последних установлены свалы брекчированных, минерализованных пиритом и молибденитом пород. Это позволяет предполагать наличие штокверкового оруденения.

Группа рудопроявлений (Чынчокольское, 32; Бушури-1, 38; Бушури-2, 39; Правобережное, 42; Дильтинское, 49; Волораздельное, 64; Найденковское, 73; Верхнесайбочинское, 78; Сивагинское, 86) представлена единичными жилами кварца с незначительной вкрапленностью мелкочешуйчатого молибдена. К двум из них приурочены небольшие ореолы рассеяния (40, 72) с содержанием молибдена, редко превышающим 0,001%.

Рудопроявления Чандукольское (8) и Кавыктаканское (19) расположены в пределах небольших выходов гранитов третьей фазы амананского комплекса и представлены редкой вкрашенностью молибдена в этих гранитах. Причем, Кавыктаканское рудопроявление приурочено к зоне разлома, в которой граниты катаклизированы. В окрестностях этих рудопроявлений выявлены крупные по площади ( $6-7 \text{ км}^2$ ) ореолы рассеяния молибдена (6, 17) с низкими содержаниями металла (до 0,0007%).

Для ряда ореолов рассеяния молибдена коренные источники пока не установлены. Крупный ореол рассеяния ( $20 \text{ км}^2$ ) зафиксирован литохимическим опробованием в бассейне р.Джеловун (35).

Он расположен в пределах эндо- и экзоконтактовых зон Джеловунского массива амананских гранитоидов и приурочен к участку пересечения протяженных разломов северо-восточного, субширотного и северо-западного направлений. Содержание молибдена в ореоле достигает 0,015%, сопутствующими компонентами являются вольфрам (до 0,01%) и медь (до 0,03%). Шлиховым опробованием в пределах этого же участка выявлен ореол рассеяния молибдена площадью  $8 \text{ км}^2$  (34). Участок представляется перспективным на выявление месторождения молибдена. Солевые ореолы рассеяния 2, 10, 60, 61, 65, 68, 88 характеризуются низкими содержаниями молибдена (0,0001–0,0007%, редко до 0,005%).

Шлиховым опробованием выявлены значительные ореолы рассеяния (по  $10 \text{ км}^2$ ) молибдена на левобережье верхнего течения р.Сред.Моки (33) и в междуречье Чолко – Джеловун (36). Отсутствие на этих участках повышенных содержаний молибдена в лепёвки позволяет предполагать жильный тип источников их образования. Молибден в небольшом количестве шлиховых проб встречается и на остальной части площади.

Поиски месторождений молибдена следует проводить в пределах Чынчокольской и Ішакдас-Молдаканской рудных зон, где развиты интрузии амананских гранитоидов, интенсивно проявлены дизъюнктивная тектоника и известны значительные рудопроявления и ореолы рассеяния данного металла.

#### Тантал и ниобий

В бассейне р.Ненну шлиховым опробованием выявлен ореол рассеяния тантала – колумбита (II) площадью  $30 \text{ км}^2$ . Он расположен в пределах массива лейкократовых гранитов третьей фазы молибдена в этих гранитах. Причем, Кавыктаканское рудопроявление приурочено к зоне разлома, в которой граниты катаклизированы. В окрестностях этих рудопроявлений выявлены крупные по площади ( $6-7 \text{ км}^2$ ) ореолы рассеяния молибдена (6, 17) с низкими содержаниями металла (до 0,0007%).

В бассейне р.Ненну шлиховым опробованием выявлен ореол рассеяния тантала – колумбита в некоторых шлиховых пробах встречены касситерит, вольфрамит, галенит. Здесь же литохимическим опробованием установлен ореол рассеяния ниобия и свинца (II) с содержанием их соответственно 0,002–0,02% и 0,003%. Коренные источники не известны. Большие размеры ореола и наличие компонентов-спутников позволяют считать возможным выявление на участке пересного рудопроявления тантала и ниobia.

Танталит-колумбит в единичных пробах встречен также в аллювиальных долинах р.Барыни.

#### Ртуть

Киноварь встречена только в двух шлиховых пробах в бассейне рек Буричи и Ойкты.

#### Висмут

Висмут в повышенных количествах содержится в некоторых рудопроявлениях молибдена, золота и вольфрама. Установлено лишь одно собственно висмутовое рудопроявление – Кожкарное (91). Оно расположено в долине правого притока р.Верх.Моки и представляет из себя жилами крупнокристаллического кварца с незначительной вкрапленностью висмутита, галенита, пирита. Свады жил наблюдались в двух пунктах на расстоянии 400 м друг от друга. Сульфиды интенсивно выщелочены. Спектральным анализом в штучных пробах определены висмут (0,2%), свинец (0,007%), медь (0,005%).

По данным шлихового опробования висмутовые минералы содержатся в большом количестве проб в различных частях площади. Установлено четыре ореола рассеяния их площадью от 3 до  $20 \text{ км}^2$  (3, 7, 14, 16), которые в основном обнаруживают приуроченность к участкам молибденовой минерализации.

# Керамическое сырье

## НЕМЕТАЛЛИЧЕСКИЕ ПОЛЕЗНЫЕ ИСКОПАЕМЫЕ

### Химическое сырье

#### Флюорит (флюс и химсырье)

На площади листа известно восемь рудопроявлений и один шлиховой ореол рассеяния флюорита. Наиболее значительным является Иркинранское рудопроявление (37), расположенного на водоразделе рек Иркинран - Бушуя. Здесь в зоне повышенной трещиноватости субмеридионального направления шириной 200 м, прослеженной на 1 км, затягивают жилы халцедоновидного кварца с флюоритом. Две из них вскрыты в коренном залегании. Одна жила прослежена на расстоянии 60 м, далее не прослеживалась. Мощность ее 3,5-4,1 м, аз.пад. - 120°, угол - 80°. Флюорит крупнокристаллический, зеленого, иногда фиолетового цвета. Содержание в бороздовых пробах - от 10 до 34,04%. Протая жила вскрыта только в одном сечении, мощность ее - 0,5 м, аз.пад. - 85°, угол - 60°. Содержание флюорита не более 5%. На участке возможно выявление новых жил.

Аналогичным описанному является Яблоновское рудопроявление (13). Здесь известно 8 кварц-флюоритовых жил, но размеры их небольшие. Самая крупная жила имеет длину 220 м, мощность - до 2 м. Содержание флюорита незначительное. Только в одной непротяженной жиле содержание  $\text{CaF}_2$  достигает 67,3%.

Рудопроявления Бурундинское (25), Верхнеключинское (63) и Верхне-Чаплыкское (31) представлены единичными жилами кварца с неизначительной вкрашенностью флюорита. Судя по размерам обломков, мощность этих жил достигает 20 см. Остальные рудопроявления: Олонновское (1), Чандукское (21), Левобережное (20) - представлены рассеянной вкрашенностью или маломощными (до 5 мм) прожилками флюорита в катаклизированных и брекчированных породах. Приуроченность этих рудопроявлений к зонам нарушений, иногда значительных по размерам, позволяет считать эти структуры перспективными в отношении поисков более крупных по размерам и содержанию полезного компонента рудных тел.

В левобережной части бассейна р.Джеловун шлиховым опробованием выявлен ореол рассеяния флюорита (41) площадью 3 км<sup>2</sup>. Контролирующие источники здесь не установлены. Флюорит встречен в большом количестве шлиховых проб и в остальной части бассейна р.Джеловун.

### Стеклоприемник

В верхней пачке Шугутинской свиты архея установлены силикаты в количестве 15-20%. Значительные размеры этой пачки (мощность - 500 м, протяженность - до 2 км) позволяют считать площадь развитии ее перспективной на поиски промышленных скоплений силикатов.

#### Прочие неметаллические ископаемые

##### Мусковит

В бассейне р.Сайбочи в эндо- и аксоконтактовых зонах Кагдачинского массива гранитоидов третьей фазы раннегалеозойского комплекса встречены редкие тайки мусковитовых пегматитов. Судя по развалам, размеры их небольшие, протяженность измеряется несколькими метрами. Мусковит содержится в количестве до 10-15%, размер пластинок его достигает 4 см. Очевидно, известные лайки пегматитов не представляют практического интереса, но не исключена возможность обнаружения более значимых по размерам и содержанию мусковита тал.

### Строительные материалы

В районе имеются различные виды строительных материалов. Практически повсеместно распространены изверженные породы кислого и среднего состава. Большая часть они могут быть использованы как сырье для приготовления бутового камня и щебня. В полях развития раннепротерозойских гранитоидов и гранитоидов третьих фаз раннегалеозойского и аманаского интрузивных комплексов на водоразделах и в верхних частях склонов формируются крупногабаритные развали. Обширные по площади развали гранитов надмываются в пределах Моклинского хребта, в бассейнах рек Сайбочи, Калмакчи, Верх.Кавыктакана, Берылака, в низовых р.Сред.Моклы. Преобладающая часть глыб в таких развалих имеет размер от 1 до 5 м, граниты обычно характеризуются однородностью окраски и равномерностью зерен. Эти качества отвечают требованиям, предъявляемым к штучному камню. На указанных площадях

возможна лобита в больших количествах штучного камня для постройки фундаментов зданий и других сооружений.

Кварциты шурутинской свиты архея могут являться сырьем на динас. Они развиты в южной части района. В кварцитах междуречья Найденки - Закдакана-2 содержание  $\text{SiO}_2$  составляет 96,92%,  $\text{Fe}_{2}\text{O}_3$  - не обн.,  $\text{FeO}$  - 1,86%. Запасы кварцитов отомни, так как они являются одной из преобладающих пород в разрезе свиты.

Среди рыхлых образований четвертичного возраста могут быть выявлены крупные запасы обломочных пород, представленных щебенисто-глыбовыми и валунно-галечно-гравийными отложениями. Последние наиболее широко развиты в долинах рек Сред.Моклы, Верх.Моклы, Джекачи, Верх.Каранкит, где мощность их составляет от 2 до 5 м. В обломочном материале этих отложений преобладают галька и гравий гранитного состава размером до 5 см. Окатаистость их хорошая, форма шаровидная и амфиболитовая. Таким образом, галечно-гравийный материал этих отложений может использоваться как заполнитель при производстве бетона. Кроме того, песчано-гравийно-галечные отложения в готовом виде могут применяться в дорожном строительстве как материал для дорожного полотна.

В долинах рек Верх.Моклы, Сред.Моклы и Верх.Каранкита среди верхнечетвертичных и современных отложений известны большие количества песков. Песок в основном средне- и крупнозернистый, часто с примесью гравия. Мощность горизонта песков в долине р.Верх.Мокла достигает 5 м. Эти пески можно использовать как заполнитель при производстве бетонных изделий и как балласт при постройке железнодорожного полотна.

#### ОБЩАЯ ОЦЕНКА ПЕРСПЕКТИВ РАЙОНА

Имеющиеся сведения о полезных ископаемых района позволяют сделать следующие выводы:

1. Изученная территория является перспективной в отношении выявления месторождений золота, вольфрама, молибдена, полиметаллических руд, tantalа и ниобия, флюорита, высокотитаноземистого сырья, гравита и строительных материалов.

2. Месторождения золота и полиметаллических руд могут быть выявлены в различных частях района, за исключением крупного по-ля развития раннепротерозойских гранитоидов в пределах Моклинского хребта.

Наиболее перспективными площадями для поисков месторожде-ний этих полезных ископаемых являются выделенная нами Верхне-Чолконская рудная зона и участки Левобережного рудопроявления

золота (43), ореолов рассеяния золота в бассейне р.Найденки

(70) и Мишьянка в низовьях р.Хорогточи (85). Рассыпные месторож-дения золота могут быть образованы в пределах той же площаи.

Особенно благоприятными для поисков россыпей золота являются долины рек Сред.Мокла, Джекачи, Верх.Канытакана и Найденки.

3. Вольфрамовое орудение локализуется на участках пересечения и соединения разнонаправленных тектонических нарушений в эндо- и экзоконтактовых зонах массивов гранитоидов аманганского интрузивного комплекса. Выявлены три зоны проявления вольфрамовой минерализации (Кавытаканская, Джекачи-Закдаканская, Моклананская), которые и рекомендуются для постановки поисковых работ на вольфрам.

4. Для поисков месторождений молибдена благоприятным фактором является наличие массивов гранитоидов аманганского комплекса с неглубоким эрозионным срезом, их ашикальные части, зоны эндо- и экзоконтактов. Указанные признаки позволяют выделить обширные по площади Тундак-Чолконскую и Джекачи-Мокланскую рудные зоны, перспективные для выполнения месторождений молибде-на.

5. Месторождения tantalо-ниобиевого сырья возможны в пределах массивов гранитов третьей фазы аманганского комплекса, по-видимому, тех участков их, где развиты ашикальные фации. Первочередными объектами для поисков являются Колобчинский мас-сив и массив в Верховых р.Нену.

6. Флюоритовые рудопроявления и месторождения могут быть обнаружены в зонах позднемезозойских тектонических нарушений в различных частях района.

7. Промышленные скопления высокотитаноземистого сырья возможны в верхней пачке шурутинской свиты архея на участке ее развития в междуречье Найденки - Закдакана-1.

8. В районе широко распространены строительные материалы, представленные изверженными породами, кварцитами, щебнисто-глыбовыми и валунно-галечно-гравийными отложениями, песками, су-линками.

С целью дальнейшего изучения полезных ископаемых района рекомендуется выполнение следующих работ:

1. Полосково-съемочные работы масштаба 1:50 000 на площади Верхне-Чолконской рудной зоны с целью поисков месторождений полиметаллов и золота.

2. Полосковые работы масштаба 1:10 000 на участках Левобережного рудопроявления золота (43), ореолов рассеяния золота и полиметаллов в бассейне р.Найденки (70) и в низовьях р.Хорогточи.

чи (85) для оценки перспектив участков на выявление месторождений золота.

3. Поисково-разведочные работы в верхней части долины р. Сред. Моки для выявления россыпного месторождения золота.

4. Поисково-разведочные работы масштаба 1:10 000 на участке рудопроявления вольфрама (83) в Междуречье Сайбачи - Каллакачи и в верховьях р. Кавыктакан на участке ореола рассеяния (IV) для выявления месторождений вольфрама.

5. Поисково-съемочные работы масштаба 1:50 000 на площади Кавыктаканской, Моклаканская и Джекдач-Даклаканская рудных зон для поисков месторождений вольфрама.

6. Поисковые работы масштаба 1:10 000 на площади участков Бурундинского (27), Сайбочинского (81) рудопроявленний молибденовых, ореолов рассеяния в бассейне р. Джеловун (34, 35) и в верхорождении молибдена.

7. Поисково-съемочные работы масштаба 1:50 000 на площади Тундак-Чолконской и Джекдач-Моклаканская рудных зон для поисков месторождений молибдена.

8. Поисковые работы масштаба 1:25 000 на площади проявления тантало-дибиевой минерализации в бассейне р. Ненны.

## ПОДЗЕМНЫЕ ВОДЫ

Основным фактором, определяющим условия залегания и широкое распространение на всей площади листа, соответственно подземные воды подразделяются на подмерзлотные и надмерзлотные.

Надмерзлотные воды в ольдеются в районе повсеместным распространением. Они циркулируют в теплое время года в рыхлых аллювиально-делювиальных и аллювиальных отложениях, а также в верхней разрушенной зоне коренных пород. Водоупорным ложем для них является верхняя поверхность многогодичной мерзлоты. Глубина залегания данного водоносного пласта определяется составом водовмещающих отложений и мощностью стоя сезоонного промерзания - отставания. К концу лета на склонах южной экспозиции глубина оттаивания достигает 3,5 м, на склонах северной экспозиции - 1,3-1,9 м, а на заболоченных участках - до 0,5 м.

Мощность водонапорного горизонта колеблется от первых сантиметров в пределах положительных форм рельфа до нескольких сантиметров сантиметров в понижениях и на выровненных плоских водоразделах.

Питание надмерзлотных вод происходит за счет атмосферных осадков и оттавания сезонной мерзлоты. По режиму они относятся к безнапорным, а на отдельных участках в силу местных факторов - к напорным. С надмерзлотными водами связаны выходы многочисленных источников, расположивающихся обычно в подножиях склонов речных долин. Дебиты источников колеблются от десятых долей до 2-3 м/с и более. По составу воды гидрокарбонатные натриево-кальциевые с незначительной минерализацией, что видно из приводимой ниже формулы Курлова (отработан источник на правобережье р. Сред. Моки ниже устья р. Барни).

**М<sub>0,04</sub> НСО<sub>3</sub>77 С123**

**М<sub>0,04</sub> НСО<sub>3</sub>77 С123**

Жесткость (постоянная) составляет 0,3 мг·экв/л, pH = 5,9, свободная углекислота содержится в количестве 4,4 мг/л.

Подмерзлотные воды в ольдеются ниже толщи многолетнемерзлых пород на глубине 80-200 м (озерский и др., 1969). Они относятся к трещинному и трещинно-жильному типу, так как приурочены к кристаллическим породам и зонам тектонических нарушений. В процессе работ отмечены восходящие источники, приуроченные к тектоническим нарушениям в долинах р. Чолкон и правого притока р. Амнуунакчи. В местах выходов источников залога образуются наледи размером до 300 x 500 м, мощность льда в них достигает 2 м. Ледяные источники колеблются от долей до 100 л/с. Подмерзлотные воды гидрокарбонатные кальциево-натриевые и гидрокарбонатные кальциево-натриевые, о чем свидетельствует их химический состав:

**М<sub>0,1</sub> НСО<sub>3</sub>83 С12**

**Сa57 Mg40 ;      М<sub>0,04</sub> НСО<sub>3</sub>70 С121**

Пробы отобраны соответственно из источников в верховьях долины р. Кавыктакан и в правом притоке р. Амнуунакчи. Воды нейтральные (pH = 5,9-6,5), мягкие (0,41-1,76 мг·экв/л), с незначительным содержанием свободной углекислоты (4,4-6,6 мг/л).

Надмерзлотные и подмерзлотные воды по физическим свойствам, минерализации и составу вполне пригодны для питьевого и хозяйственного водоснабжения. Подмерзлотные воды по запасам могут служить надежными источниками водоснабжения населения на участках рекомендемых поисковых и разведочных работ.

## ЛИТЕРАТУРА

### О ПУБЛИКАЦИЯХ

- Буткевич Т.В. Вольфрам. Требования промышленности к качеству минерального сырья. Госгеолтехиздат, 1960, вып. 43.
- Ветлужские В.Т., Кудрица В.А., Соколов Н.А. Стратиграфия архея района верхнего течения р. Тимптон. – В кн.: Геология и петрология докембрия Алданского шита. Недра, 1966.
- Кап А.Г. К вопросу о стратиграфии архея юго-запада Алданского шита. – Мат-лы по репон. геол. Тр. БАГТ, 1962, вып. 8.
- Кузнецова Ю.А. Главные типы математических формаций. Недра, 1964.
- Лазико Е.М. Геологическое строение западной части Алданского кристаллического массива. – Изд. Львовск. гос. ун-та, 1956.
- Музис А.И. Древние отложения Коларо-Уланского горного района. – В кн.: Вопросы геологии Прибайкалья и Забайкалья. Изд. Зап. фил. геогр. об-ва СССР, 1967, вып. 2 (4).
- Озерский А.Ф., Фалькин Е.М. Некоторые черты металлогении золота севера Читинской области. – Тез. докл. пятой науч. геол. конф. Чига, 1966.
- Озерский А.Ф., Тянина Ю.П. Геологическая карта СССР масштаба 1:200 000, серия Олекмо-Бытимская, лист № 51-Ш. Объяснительная записка. Недра, 1969.
- Озерский А.Ф., Тянина Ю.П. Геологическая карта СССР масштаба 1:200 000, серия Олекмо-Бытимская, лист № 50-Ш. Объяснительная записка. М., 1974.
- Покалов В.Г. Условия образования золотенных месторождений молибдена в СССР. Недра, 1964.
- Салоп Л.И. Докторант ССР. – В кн.: Геология докембрия. Докл. сов. геол. на XXIII сес. МГК. Наука, 1968.
- Семёновский С.П. Государственная геологическая карта СССР масштаба 1:1 000 000, лист № 50 (Сретенск). Объяснительная записка. Госгеолтехиздат, 1963.
- Старченко В.В., Озерский А.Ф., Фалькин Е.М., Шульдинер В.И. Основные черты тектоники и металлогении Олекмо-Бытимской горной страны. – В кн.: Тектоника и металлогения Средне-Макинского баранта трассы на участке р. Олекма от базы автостремочных работ до устья р. Мокры и р. Средняя Мокра от устья до перевала в р. Тундак. 1939.

Страхов Н.М. Типы литогенеза и их эволюция в истории Земли. Госгеолтехиздат, 1963.

Суловиков Н.Г., Телесов и др. В.А., Друтова Г.М. и др. Геология и петрология южного обрамления Алданского шита. Наука, 1965.

Шульдинер В.И., Озерский А.Ф. Геология нижнего докембрия Шилка-Олекминского Межуречья. – Изв.АН СССР, сер. геол., 1967, № 8.

Шульдинер В.И., Озерский А.Ф., Фалькин Е.М. Соотношение раннепротерозойского и архейского структурных комплексов в северо-восточном Забайкалье и условия заложения раннепротерозойской геосинклиниали. – В кн.: Вопросы геологии, петрологии и металлогении метаморфических комплексов Востока СССР. – Тез. докл. Владивосток, 1968.

Шульдинер В.И. Геология и петрология архея Могочинского антиклинария в Забайкалье. Наука, 1969.

Флеренсов Н.А. Геоморфология и новейшая тектоника Забайкалья. – Изв.АН СССР, сер. геол., 1948, № 2.

### ФОНДОВАЯ

- Винеская И.И., Летес А.М., Тулин Б.А. Результаты геологических исследований в межуречье Олекмы и Моклакана и части левобережья р. Олекмы за 1950 г. 1951.
- Тулин В.А. Результаты поисково-съемочных работ масштаба 1:200 000 в межуречье Тунгиря – Олекмы и по правобережью р. Витим. 1952.
- Зайков Е.А., Панов В.И., Кудрик И.Д., Пиягин В.П. Геологическое строение и полезные ископаемые бассейнов рек Джаныра и Итаки. 1965.
- Запиин Е.И., Иено Г.П., Крюков П.С. и др. Пояснительная записка к карте золотоносности Читинской области. 1959.
- Иванов М.В., Зорин Ю.А., Дунай А.А. и др. Сводный отчет о гравиметровой съемке масштаба 1:1 000 000, выполненной на территории Читинской области в 1959–1963 гг. 1964.
- Казик Л.И. Отчет по рекогносцировочным геологическим исследованиям Средне-Макинского баранта трассы на участке р. Олекма от базы автостремочных работ до устья р. Мокры и р. Средняя Мокра от устья до перевала в р. Тундак. 1939.

К и л е с с о Н.Г., М а л ы х В.С. Очерк золотоносности Олекмо-Каларского района Забайкалья. 1954.

К и р и л ю к В.П. Геология и условия формирования докембрийских комплексов юго-западной окраины Альдано-Витимского шта. 1966.

К и с е л е в а З.Н., К и с л и ц и н В.Н., Х а з о - в а Л.И. Геоморфологические работы в бассейне р.Моклакан. 1963.

К и с е л е в а З.Н., К и с л и ц и н В.Н., К л и м е н - к о В.М. Геоморфологические работы в левобережной части р.Олекмы в верхнем течении р.Сред.Мокла. 1964.

К о ш е л е в Ю.Л., К р у г л о в В.Д. Окончательный отчет Моклаканской партии по поисковым работам на россышное и рудное золото за 1965-1966 гг. 1967.

К р у г л о в В.Д., О г н е в В.М., Д е х н и ч Л.П. и др. Отчет Калаканской партии по поисковым работам за 1963-1966 гг. 1967.

О г о р о д н и к о в В.Д., М а с т ю л и н Л.А. Обобщение и анализ материалов региональных геофизических работ для составления противозоно-металлогенической карты Юго-Восточного Забайкалья масштаба 1:200 000. 1965.

П о с т о е в К.И. Геологические исследования в районе левобережья верхнего течения р.Олекмы в 1929 г. 1930.

П р о к о ф'е в П.И. Геологопоисковые исследования в верховых рек Тунгира и Олекмы. 1929.

Р о к и н К.Е., Г р и г о р о в В.А., К у д р и - на К.Я. и др. Геологическое строение и полезные ископаемые листа №50-ХУШ. 1966.

С а ч у н о в Н.В., П р о к о п'ю к Г.Н., М и ш а г о - в а Э.Д. и др. Отчет о результатах работ Аэрогеофизической партии, проведенных в 1968 г. 1969.

С м е л о в с к и й С.П., Л е н о к Л.Н. Геологическая карта севера Читинской области масштаба 1:500 000. Обынительная записка. 1965.

С м о л ъ с к и й П.А., Т л а д к и х Н.Л., Г р е б е н - ник о в В.С. Результаты геологических исследований в верховых рек Тунгира и Олекмы. 1947.

С у с л е н и к о в В.В., Б е л о т л а з о в а О.С. Отчет Забайкальской аэромагнитной партии за 1957 г. 1958.

С у с л е н и к о в В.В., Б е л о т л а з о в а О.С., Б е л я е в В.М. Отчет Забайкальской аэромагнитной партии за 1958 г. 1959.

Т р я н и н Ю.П., И с а к А.М., Б о р и с о в В.Г., Е л я к о в Б.Г. Геологическое строение и полезные ископаемые верховьев р.Средняя Мокла. 1969.

Ф а л ъ к и н Е.М. Окончательный отчет тематической партии № 4 по теме "Стратиграфия докембрийских образований северной части Читинской области". 1966.

Ф а л ъ к и н Е.М., Ф а л ъ к и н а Н.А. Геологическое строение и полезные ископаемые бассейна среднего течения рек Калар и Калакан. 1969.

Ф е л о р е н к о Л.П., А н г л и ч а н и н а Л.Н. Геологическое строение и полезные ископаемые водораздела рек Нижней Амазара. 1965.

Х а ц к е в и ч К.Ф., С а ч у н о в Н.В., М а т л а - ш о в А.А. и др. Геологическое строение и полезные ископаемые междуручья верховьев Калара и Калакана. 1967.

Ш е л о м е н ц е в И.Г., Б у л е т о в В.И. Отчет Витимской геолого-геофизической партии о поисковых работах за 1957-1959 гг. 1959.

Ш у л и к а В.И., В а с и л е в с к и й В.А., П о - т е м и н В.П. и др. Геологическое строение и полезные ископаемые бассейна р.Гулдак. 1967.

## Приложение I

Список материалов, использованных для составления  
карты полезных ископаемых

№ п/п	Фамилия и ини- циалы автора	Название работы	Под со- ставле- ние мате- риалах, вто фондо- вый номер		Местонахож- дение мате- риалах, вто фондо- вый номер	Год со- ставле- ния мате- риалах, вто фондо- вый номер	Год со- ставле- ния мате- риалах, вто фондо- вый номер
			1	2	3	4	5
I	Вишневская И.И., Лейтес А.М., Гулин В.А.	Результаты геологи- ческих исследований в Междуречье Олекмы и Моклакана и части левобережья р.Олекмы за 1950 г.	1951	5892	Круглов В.Д., Огнев В.М., Дехнич Л.П., Кислицын В.Н., Медведяков И.Н.	1966	1966 гг.
2	Гулин В.А.	Результаты поисково- съемочных работ мас- штаба 1:200 000 в Междуречье Тунгирда - Олекмы и по правобе- режью р.Витим	1952	6146	Кильеско Н.Г., Малых В.С.	1954	7909
3	Засепин Е.И., Иено Г.П., Криков П.С., Лозовский В.И., Ляхников В.М., Юркина Г.Е.	Пояснительная записка к карте золотоносно- сти Читинской области	1959	9349	Трянин Ю.П., Лысак А.М., Борисов В.Г., Еллаков Б.Г. Шеломенцев И.Г., Булетов В.И.	1969	12358
4	Киселева З.Н., Кислицын В.Н., Хазова Л.И.	Геоморфолого-поиско- вые работы в бассейне р.Моклакан	1963	10402	Геологическое стро- ение и полезные ис- копаемые верховьев р.Сред.Моклы	1959	9137
5	Киселева З.Н., Кислицын В.Н., Клименко В.И.	Геоморфолого-поиско- вые работы в левобе- режной части р.Олекмы и в верхнем течении р.Сред.Моклы	1964	11051	Отчет Витимской геолого-геофизиче- ской партии о поис- ковых работах за 1957-1959 гг.		

х/ Материалы хранятся в геологическом фонде Читинского ПГО.

Приложение 2

СПИСОК ПРОМЫШЛЕННЫХ МЕСТОРОЖДЕНИЙ ПОЛЕЗНЫХ ИСКОПАЕМЫХ,  
ПОКАЗАННЫХ НА ЛИСТЕ №-50-ХI КАРТЫ ПОЛЕЗНЫХ ИСКОПАЕМЫХ  
МАСШТАБА I:200 000

№ по кар- те	Индекс клетки на карте	Наименование месторождения и вид полезного ископаемого	Состояние эксплуа- тации	Тип ме- сторожде- ния (К – коренное, Р – рос- сыпное)	№ исполь- зованного материала по списку (прил. 1)				
					по кар- те				
<b>МЕТАЛИЧЕСКИЕ ИСКОПАЕМЫЕ</b>									
<b>Б л а г о род ны е м е т а л л и</b>									
<b>Золото</b>									
46	III-1	р.Сред.Мокла	Эксплуа- тирова- лось	Р	9				
50	III-2	р.Онкта	To же	Р	3,8				
51	III-2	р.Верх.Кавыктакан	Отрабо- тано	Р	3,5,8				
55	III-3	руч.Приисковый	Эксплуа- тирова- лось	Р	3,5,8				
57	III-3	Верховье руч.При- исковый	Отрабо- тано	Р	9				
90	IY-4	р.Запов	To же	Р	3				

Приложение 3

СПИСОК НЕПРОМЫШЛЕННЫХ МЕСТОРОЖДЕНИЙ ПОЛЕЗНЫХ ИСКОПАЕМЫХ,  
ПОКАЗАННЫХ НА ЛИСТЕ №-50-ХI КАРТЫ ПОЛЕЗНЫХ ИСКОПАЕМЫХ  
МАСШТАБА I:200 000

№ по кар- те	Индекс клетки на карте	Наименование месторождения и вид полезного ископаемого	Состоя- ние экс- плуата- ции	Тип ме- сторожде- ния (К – коренное, Р – рос- сыпное)	№ исполь- зованного материала по списку (прил. 1)				
					по кар- те				
<b>МЕТАЛИЧЕСКИЕ ИСКОПАЕМЫЕ</b>									
<b>Б л а г о род ны е м е т а л л и</b>									
<b>Золото</b>									
47	III-1	Верховье р.Сред. Мокла	Не экс- плуатиро- валось	Р	9				
87	IY-4	р.Верх.Мокла	To же	Р	6,9				

Приложение 4

СПИСОК ПРОЯВЛЕНИЙ ПОЛЕЗНЫХ ИСКОПАЕМЫХ,  
ПОКАЗАННЫХ НА ЛИСТЕ №-50-Х1 КАРТЫ ПОЛЕЗНЫХ ИСКОПАЕМЫХ  
МАСШТАБА 1:200 000

	I	2	3	4	5
1	П-1	Верх. Чолко-2	Жила кварца с пиритом, галенитом	9	
2	Средне-Моклинское	Сланы кварца с пиритом	9		
3	Сред. Мокла	Литогеохимический ореол	7		
4	р.Мал.Джурал	То же	7		
5	р.Оникта	"	9		
6	Правобережное	Сланы кварца с галенитом, пиритом	9		
7	Мышьянк				
8	руч. Заклакан-2	Литогеохимический ореол	9		
9	ГУ-2	То же	9		
10	ГУ-3	"	9		
11	р.Ниж.Барылак				
12	ГУ-3	р.Хорогочи			
13	Благородные металлы				
14	Золото				
15	ГУ-3	Левобережное	Сланы окварцованных, пиритизированных пород	9	
16	ГУ-2	Джекдачинское	Сланы кварца с пиритом, халькопиритом	9	
17	ГУ-2	р.Найденка	Литогеохимический ореол	9	
18	ГУ-2	Редкие металлы			
19	Олово				
20	ГУ-2	р.Верх.Кавыктакан	Шлиховой ореол	9	
21					
22					
23					
24					
25					
26					
27					
28					
29					
30					
31					
32					
33					
34					
35					
36					
37					
38					
39					
40					
41					
42					
43					
44					
45					
46					
47					
48					
49					
50					
51					
52					

✓ Здесь и далее ореолы вторичные.

I	2	3	4	5
54 56	III-3 III-3	р.Верх.Каралкит р.Мал.Джекдаци	Шлиховой ореол То же	9 9
15	I-3	р.Кавыктакан	Вольфрам	
18	I-4	р.Кавыктакан	Литогеохимический ореол. Вольфрама - 0,001%, висмута - 0,0003%	9
59	III-4	р.Амунакта	Шлиховой ореол То же	26 9
69	ГУ-2	р.Джекдаци	Литогеохимический ореол	4
79	ГУ-3	Межуречье Сайбо- чи - Каткакачи	Шлиховой ореол Литогеохимический ореол	9 4
80	ГУ-3	Там же	Шлиховой ореол Жилы кварца с гео- неритом, блеклыми рудами	32 32
83	ГУ-3	Вольфрамовое	Чокчокольское шахты	П-1 П-1
2	I-1	р.Тунлак	р.Ср.Мокла	27 26
6	I-1	р.Чандукол	Бурундинское	П-1 П-1
8	I-1	Чан дукольское	Чокчокольское	П-2 П-2
9	I-1	р.Чандукол	Чокчокольское	" "
10	I-2	р.Амунактачи	Чокчокольское	П-1 П-1
17	I-4	р.Кавыктакан	Бурундинское	П-1 П-1

I	2	3	4	5
19	I-4	Кавыктакансое	Сланцы катализирован- ных гранитов с экзрап- ленностью молибдена	9
22	П-1	Яблоновое	Штокверковые зоны с прожилковой кварц-мо- либденитовой минера- лизацией	9,10
26	П-1	р.Бурунда	Литогеохимический ореол	9
27	П-1	Бурундинское	Сланцы гранодиоритов с прожилками молиб- денита	9
32	П-1	Чокчокольское	Сланцы кварца с мо- либденитом	9
33	П-1	р.Ср.Мокла	Шлиховой ореол	7
34	П-2	р.Джеловун	То же	9
35	П-2	"	Литогеохимический ореол	9
36	П-2	Межуречье Чол- ко - Джеловун	Шлиховой ореол	9
38	П-3	Бушучи-1	Сланцы кварца с мо- либденитом	9
39	П-3	Бушучи-2	То же	9
40	П-3	Межуречье Бушу- чи - Иркинран	Литогеохимический ореол	9
42	П-4	Правобережное	Сланцы кварца с мо- либденитом	9
49	III-1	Лихтинское	Сланцы кварца с мо- либденитом	9
58	III-1	р.Мал.Джекдаци	Литогеохимический ореол	9
60	ГУ-2	р.Буричи	То же	9
61	ГУ-1	р.Джекдаци	"	9
62	ГУ-2	"	"	9

1	2	3	4	5
64	IУ-2	Водораздельное денитом	Свальи кварца с молиб- денитом	9
65	IУ-2	р.Джекдачи	Литогеохимический ореол	9
66	IУ-2	Джекчинское	Свали кварца и брек- чированных пород с молибденитом	9
68	IУ-2	р.Джекдачи	Литогеохимический ореол	9
72	IУ-2	р.Найденка	То же	9
73	IУ-2	Найденковское	Свали кварца с молиб- денитом	9
74	IУ-3	Правджекдачин- ское	То же	9
78	IУ-3	Верхнесайбочинское	Флюорит (флюс и химсыре)	9
81	IУ-3	Сайбочинское	Свали катаклизиро- ванных пород с кварц-флюоритовыми прожилками	9
82	IУ-3	Среднесайбочинское	Жили кварца с флюо- ритом	9
86	IУ-4	Сиваглинское	Свали катаклизиро- ванных и брекчиро- ванных пород с флюоритом	9
88	IУ-4	р.Запов	Свали кварца с пи- ритом, молибдени- том, халькопиритом	4,9
92	IУ-4	р.Солокий	То же	9
93	IУ-4	Солокитское	Свали кварца с пи- ритом, молибдени- том, халькопиритом	20
		Тантал и ниобий		13
II	I-2	р.Ненку	Цандукольское	1-1
I2	I-3	"	Свали гранитов с кварц-флюоритовыми прожилками	25
3	I-I	р.Тундак	Свали кварца с флюо- ритом	31
		Висмут	То же	8
		Шлиховой ореол. Выс-		9

1	2	3	4	5
			МУТОВЫЕ МИНЕРАЛЫ – В ЗНАКАХ	
			ШЛИХОВОЙ ОРЕОЛ. ВЫС- ЗНАКАХ	
			МУТОВЫЕ МИНЕРАЛЫ – В ЗНАКАХ	
			Свали кварцевых жил с выступами, гале- нитом, пиритом	
			НЕМЕТАЛЛИЧЕСКИЕ ИСКОПАЕМЫЕ ХИМИЧЕСКОЕ СЫРЬЕ	
			Флюорит (флюс и химсыре)	
			Свали катаклизиро- ванных пород с кварц-флюоритовыми прожилками	
			Жили кварца с флюо- ритом	
			Свали катаклизиро- ванных и брекчиро- ванных пород с флюоритом	
			Свали гранитов с кварц-флюоритовыми прожилками	
			Свали кварца с флюо- ритом	
			То же	
			Шлиховой ореол. Выс-	

1	2	3	4	5
37	П-3	Иркиранское	Жилы кварца с флюо-ритом	9
41	П-3	р.Джаловун	Шлиховой ореол	9
63	ГУ-2	Верхнеджекдачин-ское	Сланцы кварца с флюоритом	9

В брошюре пронумеровано III стр.

Редактор И.С.Лудорова  
Технический редактор С.К.Леонова  
Корректор Л.П.Трензелева

Сдано в печать 27.05.81.      Подписано к печати 23.03.84.

Тираж 198 экз.      Формат 60x90/16      Печ.л.7,0      Заказ 845с

Центральное специализированное  
производственное хосрасчетное предприятие  
объединения "Союзгеодфонд"